

第312回
地震防災対策強化地域判定会

記者レクチャー資料



平成24年4月23日

気象庁

この資料は、独立行政法人防災科学技術研究所、北海道大学、弘前大学、東北大学、東京大学、名古屋大学、京都大学、高知大学、九州大学、鹿児島大学、気象庁、独立行政法人産業技術総合研究所、国土地理院、青森県、東京都、静岡県、神奈川県温泉地学研究所、横浜市及び独立行政法人海洋研究開発機構のデータを基に作成しています。

以下の資料は暫定であり、後日の調査で変更されることがあります。

目次

定例資料

1. 地震活動概況	P. 1-6
2. 注目すべき地震活動	P. 7-10
3. 活動指數	P. 11-15
4. 静穏化・活発化領域の抽出	P. 16-17
5. 領域別地震活動	P. 18-29
6. ひずみ計による地殻変動観測	P. 30-55
7. GNSS による面的地殻変動監視	P. 56-62

平成 24 年 3 月～4 月 18 日の主な地震活動

○ 想定震源域およびその周辺 ; $M \geq 3.0$ または震度 1 以上を観測した地震

月/日	時:分	震央地名	深さ (km)	M	最大 震度	発震機構
4/5	20:56	駿河湾	21	3.6	1	北東一南西に圧力軸を持つ逆断層型

発震機構は初動発震機構解による。

※ 深部低周波地震活動

3 月 24 日から 28 日にかけて、愛知県で深部低周波地震活動が観測された。

○ 南関東 ; $M \geq 4.0$

(平成 23 年(2011 年)東北地方太平洋沖地震の余震域で発生した地震については $M \geq 5.0$ のみ記述)

月/日	時:分	震央地名	深さ (km)	M	参考		最大 震度	発震機構
					Mj	Mw		
3/14	21:05	千葉県東方沖	15	6.1	6.1	5.9	5強	東西に張力軸を持つ正断層型
3/16	4:20	埼玉県南部	94	5.3	5.3	5.5	3	東北東一西南西に圧力軸を持つ逆断層型
3/17	11:55	埼玉県南部	90	4.0	4.0	—	2	東西に圧力軸を持つ逆断層型
4/3	12:12	埼玉県南部	90	4.1	4.1	—	2	北東一南西に圧力軸を持つ逆断層型

発震機構は、千葉県東方沖の地震は CMT 解、それ以外は初動発震機構解による。

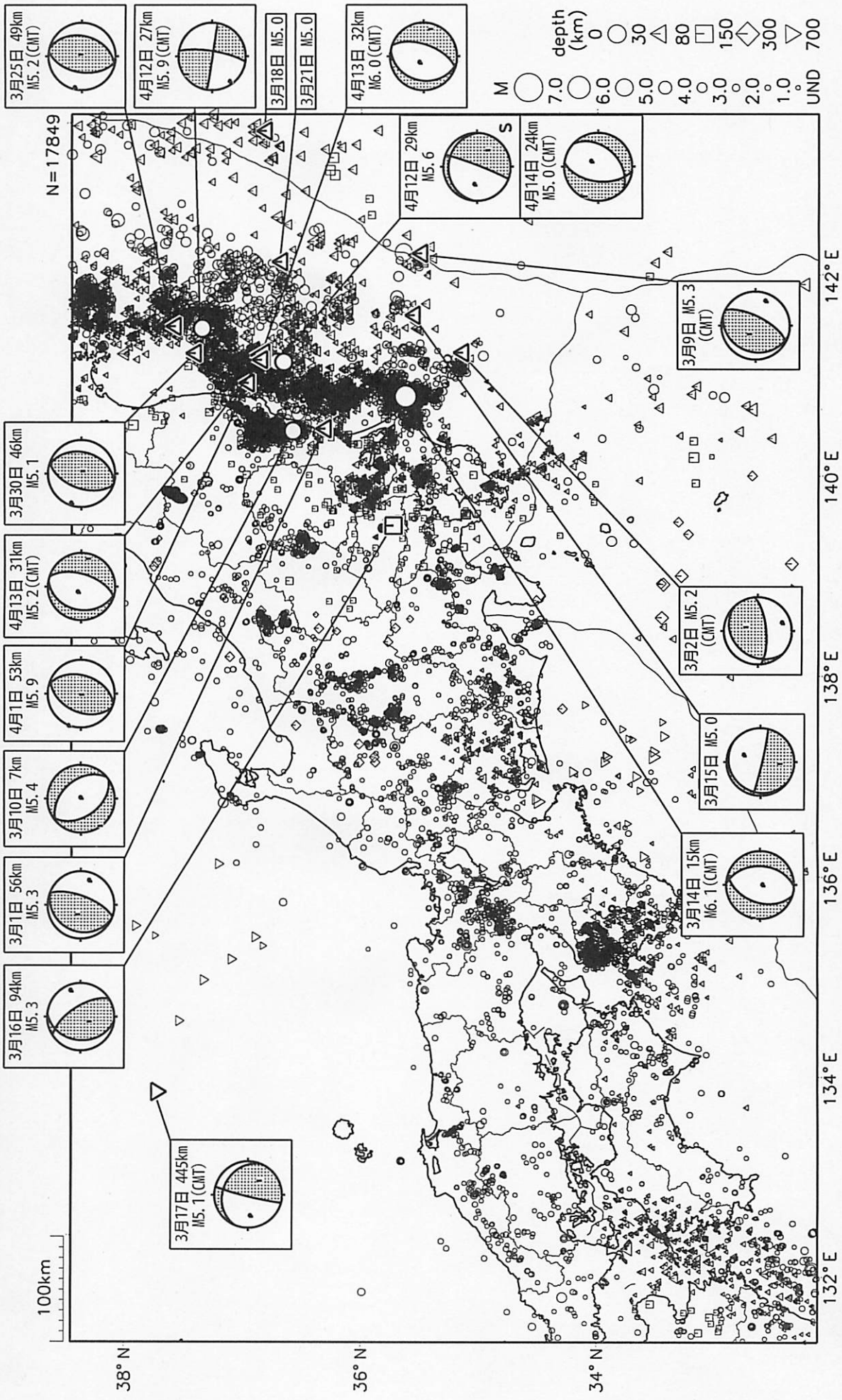
○ その他の地域 ; $M \geq 6.0$

月/日	時:分	震央地名	深さ (km)	M	参考		最大 震度	発震機構
					Mj	Mw		
3/14	18:08	三陸沖	—	6.9	6.9	6.9	4	南北に張力軸を持つ正断層型
3/14	19:49	三陸沖	—	6.0	6.0	6.0	3	西北西一東南東に張力軸を持つ正断層型
3/27	20:00	岩手県沖	20	6.6	6.6	6.0	5弱	北東一南西に圧力軸を持つ逆断層型
4/13	19:10	福島県沖	31	6.0	6.0	5.8	4	西北西一東南東に張力軸を持つ正断層型

発震機構は CMT 解による。

M_j は従来から用いられている気象庁マグニチュード。 M_w はモーメントマグニチュード。

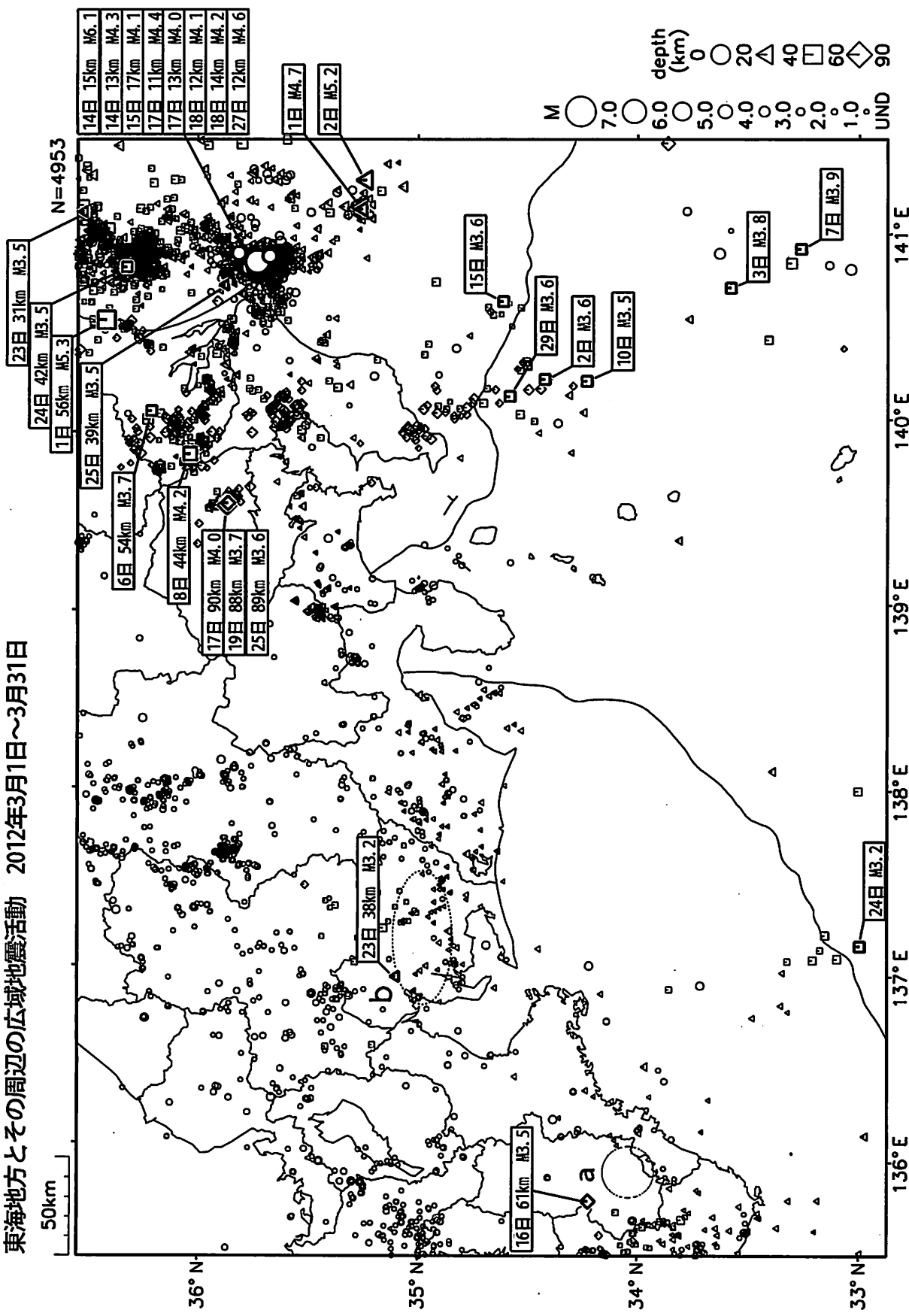
東海地方とその周辺の広域地震活動 2012年3月1日～4月18日



図中の吹き出しへは、陸域 $M_4.5$ 以上・海域 $M_5.0$ 以上とその他の主な地震

気象庁作成

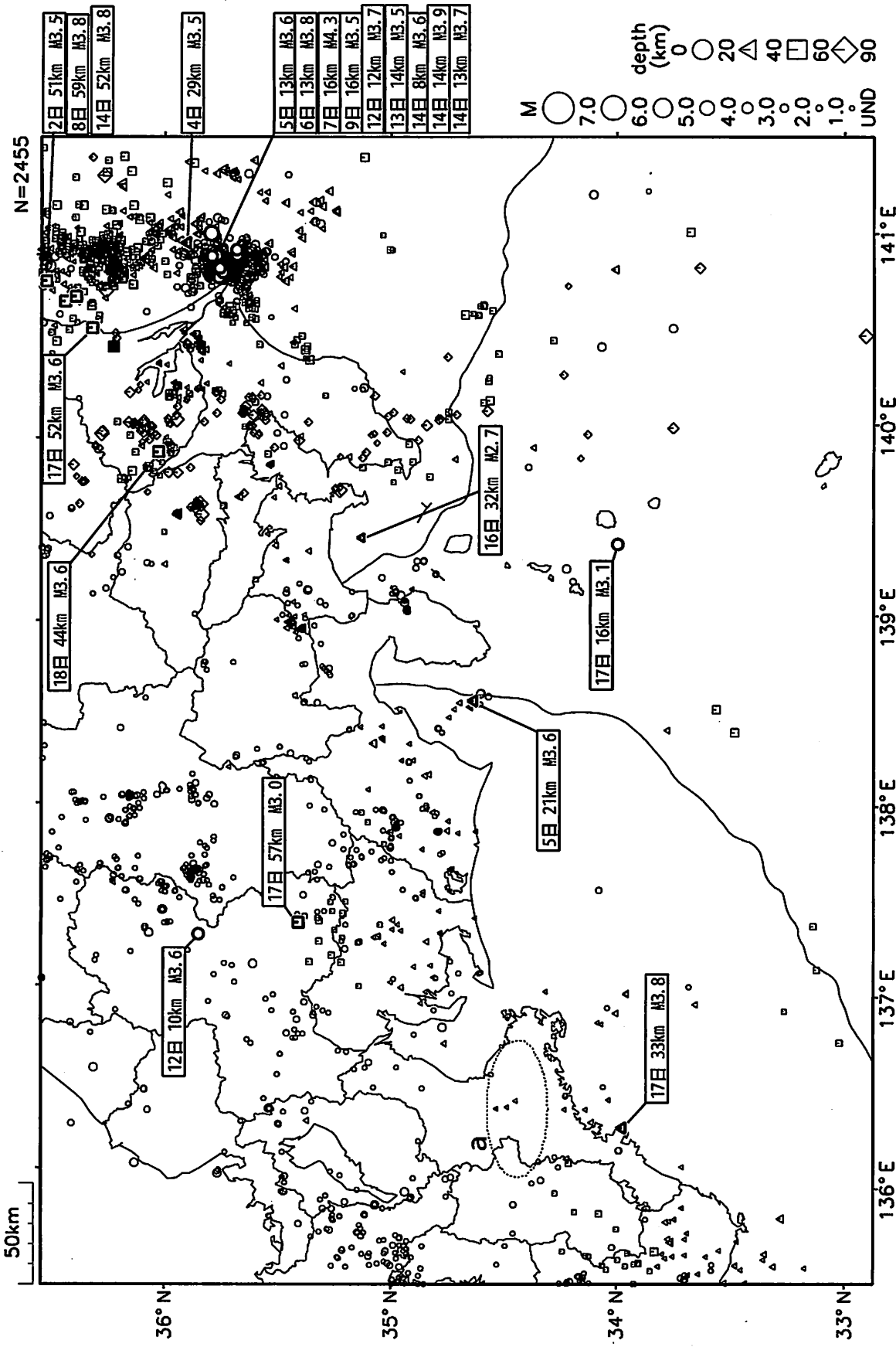
東海地方とその周辺の広域地震活動 2012年3月1日～3月31日



気象庁作成

精緻良く震源決定された地震のみを表示している。
奈良県(破壊的震度a)で3月2日から3日まで深部低周波地震が観測された。
愛知県(破壊的震度b)で3月24日、25日、26日及び28日に深部低周波地震が観測された。

東海・南関東地域の地震活動 2012年4月（1日～18日）

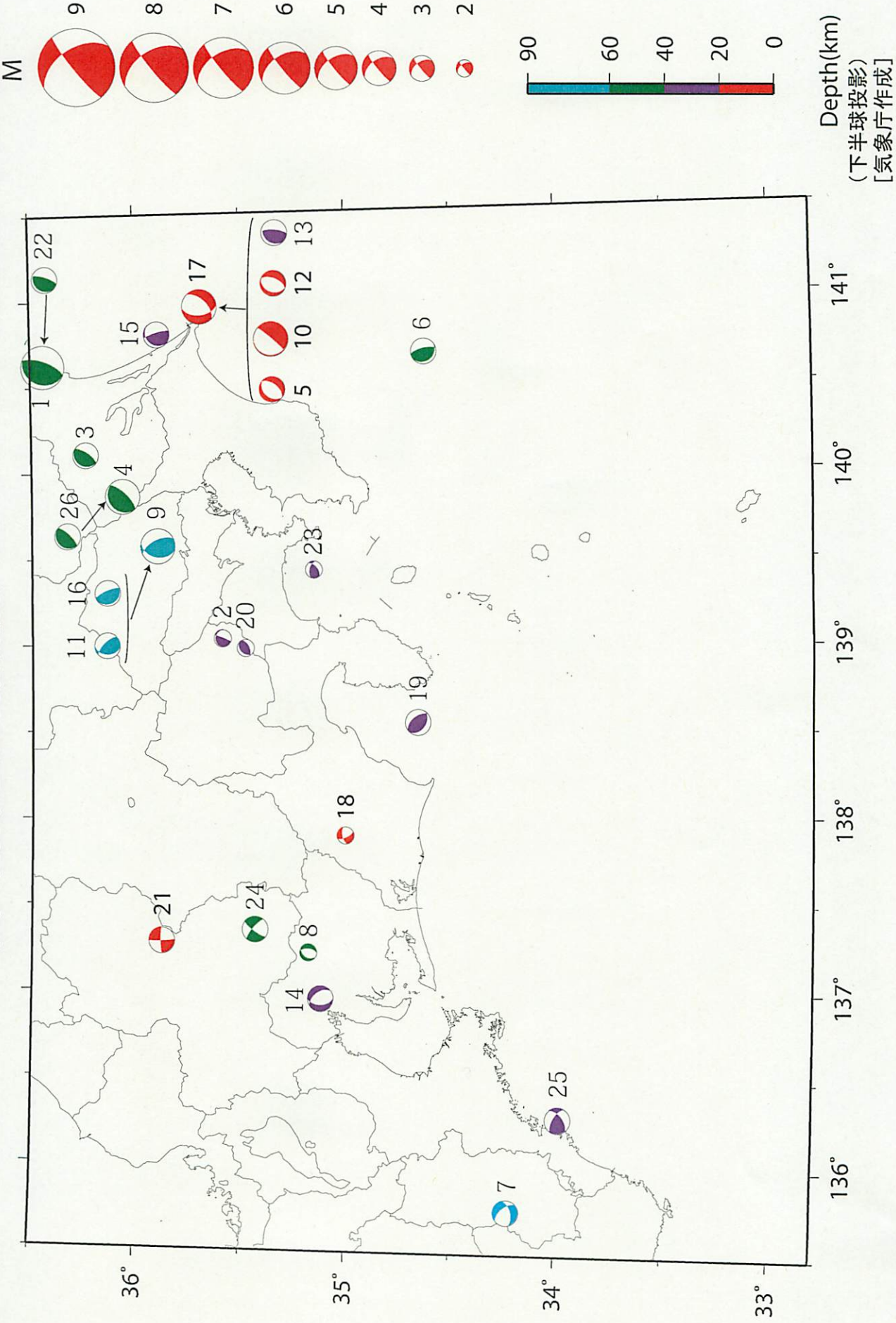


精度良く震源が決定された地震のみを表示している。
三重県(破線の領域 a)で4月14日から16日まで深部低周波地震が観測された。

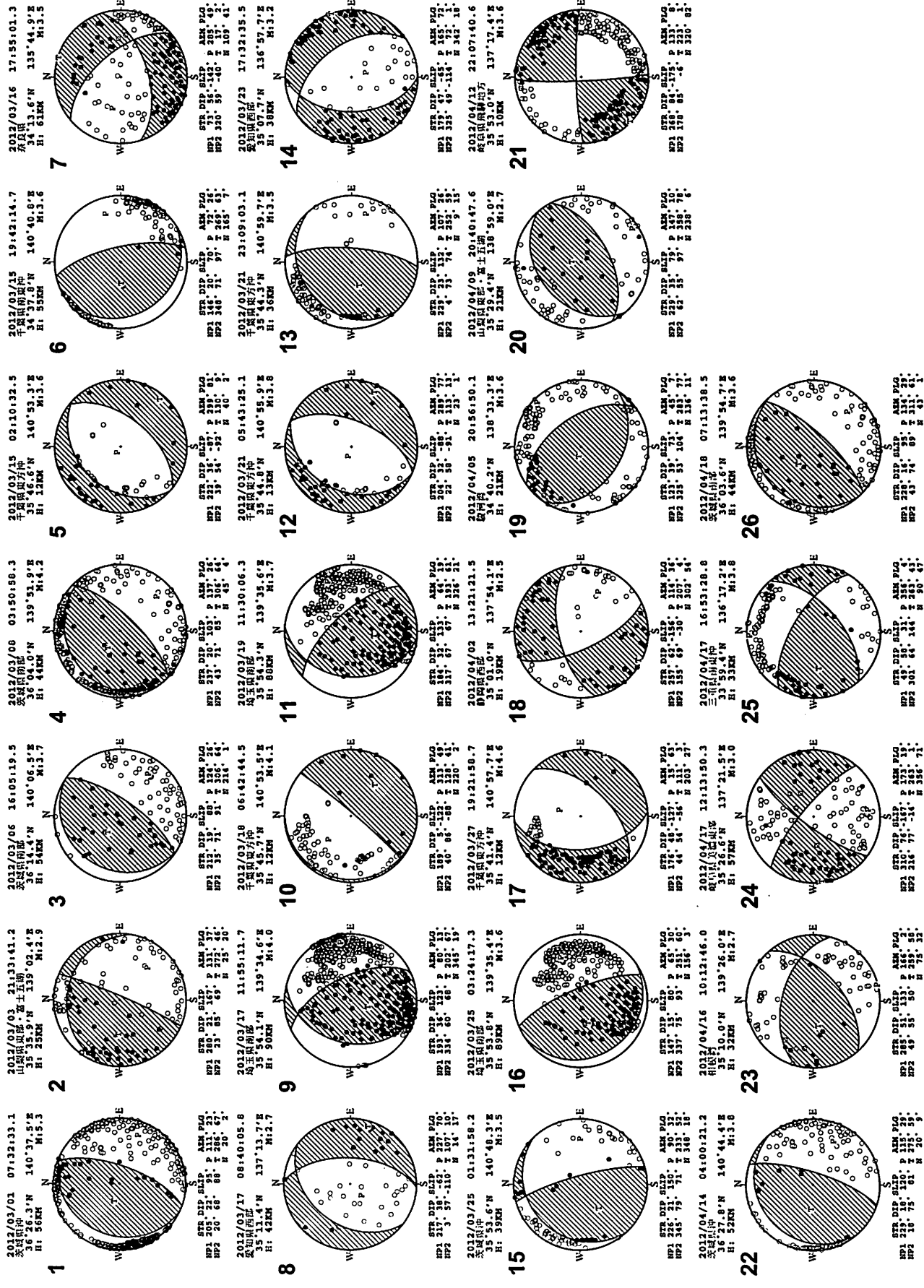
気象庁作成

東海・南関東地域の発震機構構解 (1)

Period:2012/03/01 00:00---2012/04/18 24:00



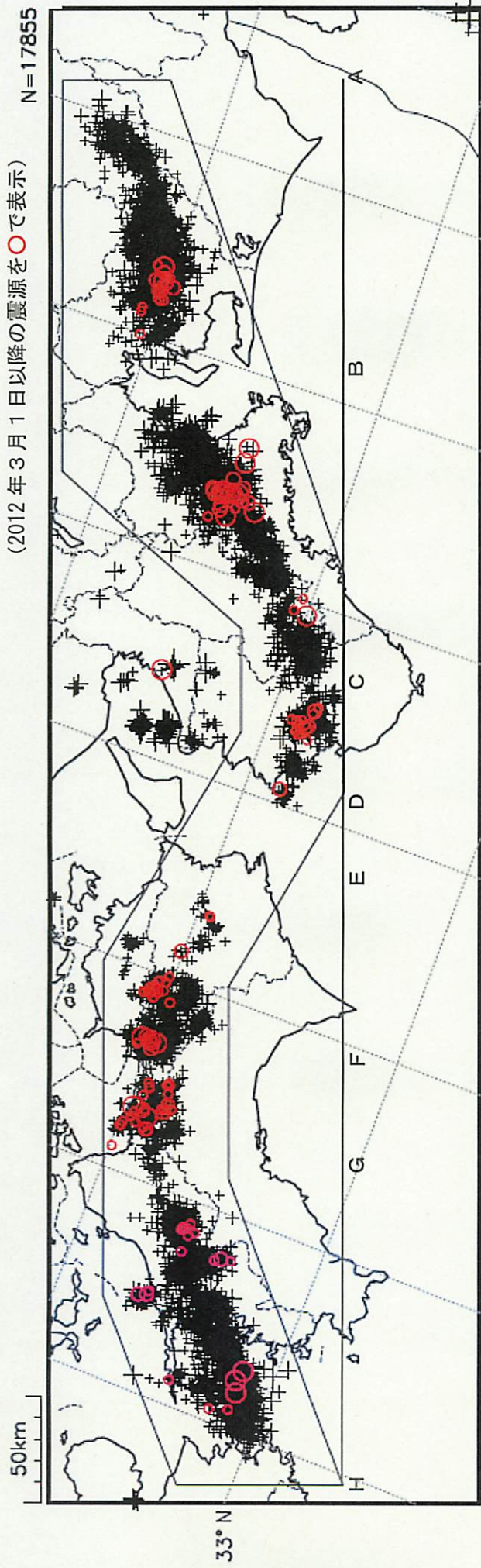
東海・南関東地域の発震機構構解 (2)



※東海地域のM2.4以上の地震及び南関東地域のM3.5以上の地震の発震機構を表示している。
各震源球の上部には震源要素、下部には発震機構の断層パラメータが併記されている。

〔象厅作影半球下〕

深部低周波地震活動 (2000年1月1日～2012年4月18日)

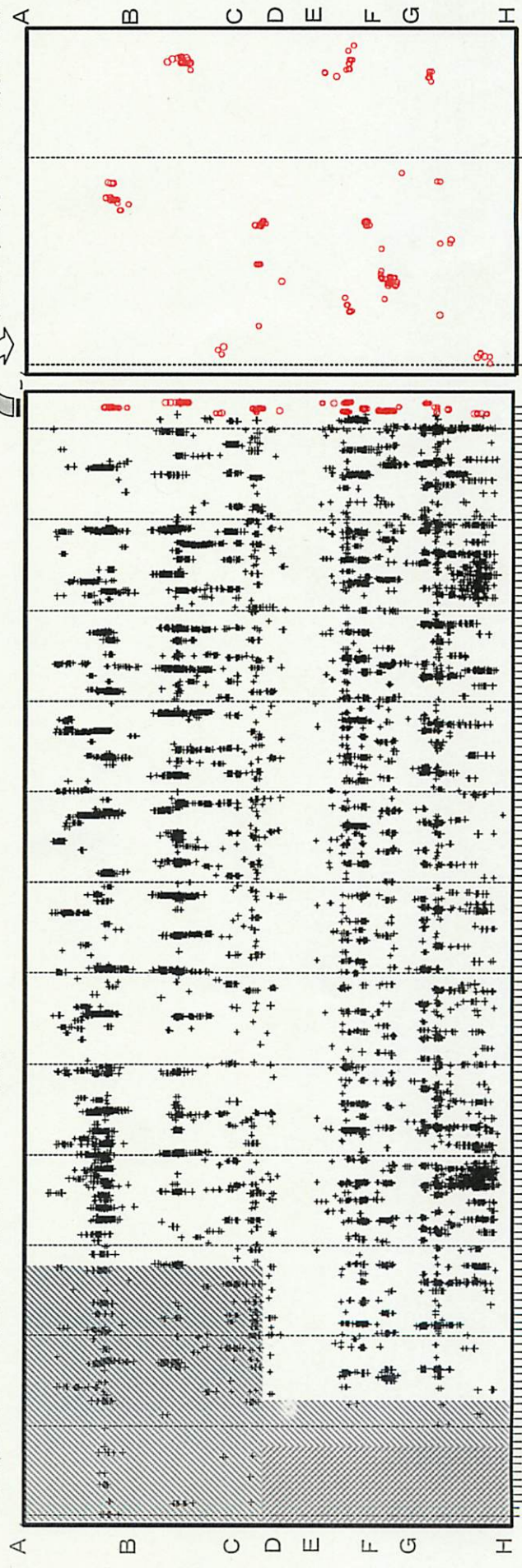


(2012年3月1日以降の震源を○で表示)

N=17855

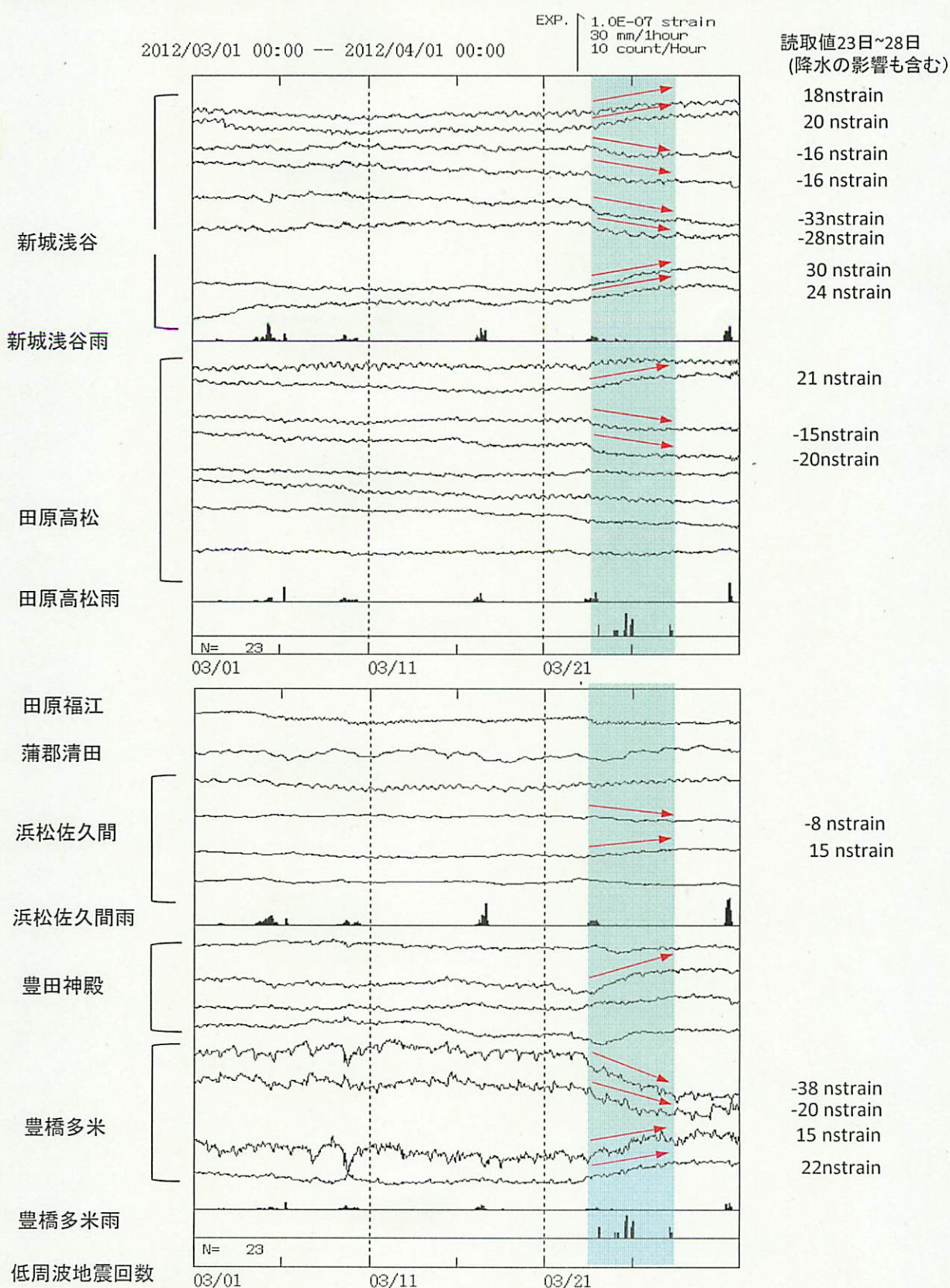
6

上図矩形内の時空間分布図 (A-H投影)



*時空間分布図中、網掛けした期間は現在と比較して十分な検知能力がなかったことを示す。

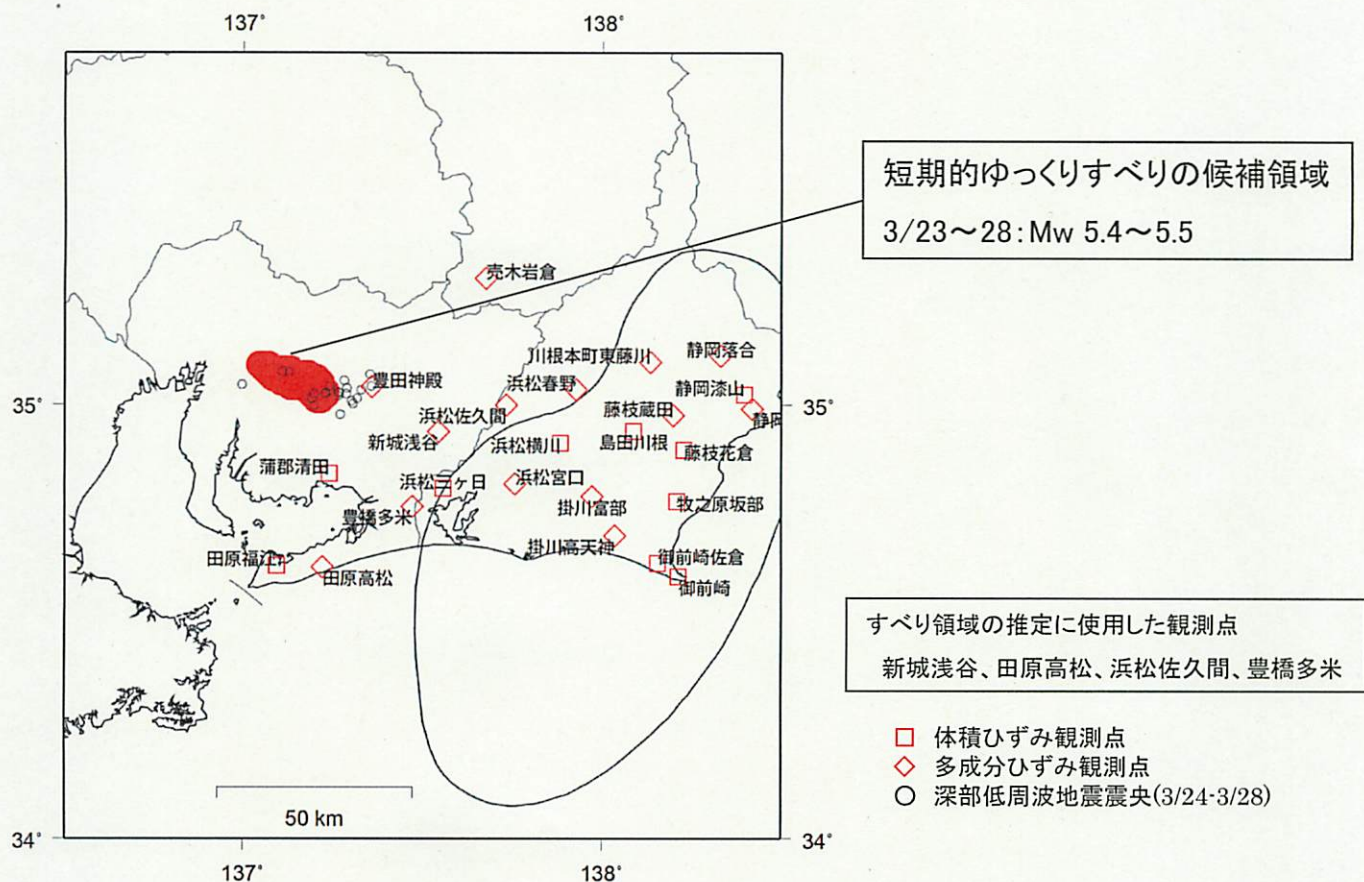
愛知県における深部低周波地震活動(3月24日～28日頃)に伴うひずみ変化



※ 豊田神殿、豊橋多米は産業技術総合研究所整備

気象庁作成

3月23日～28日頃のひずみ変化から推定されるすべり領域



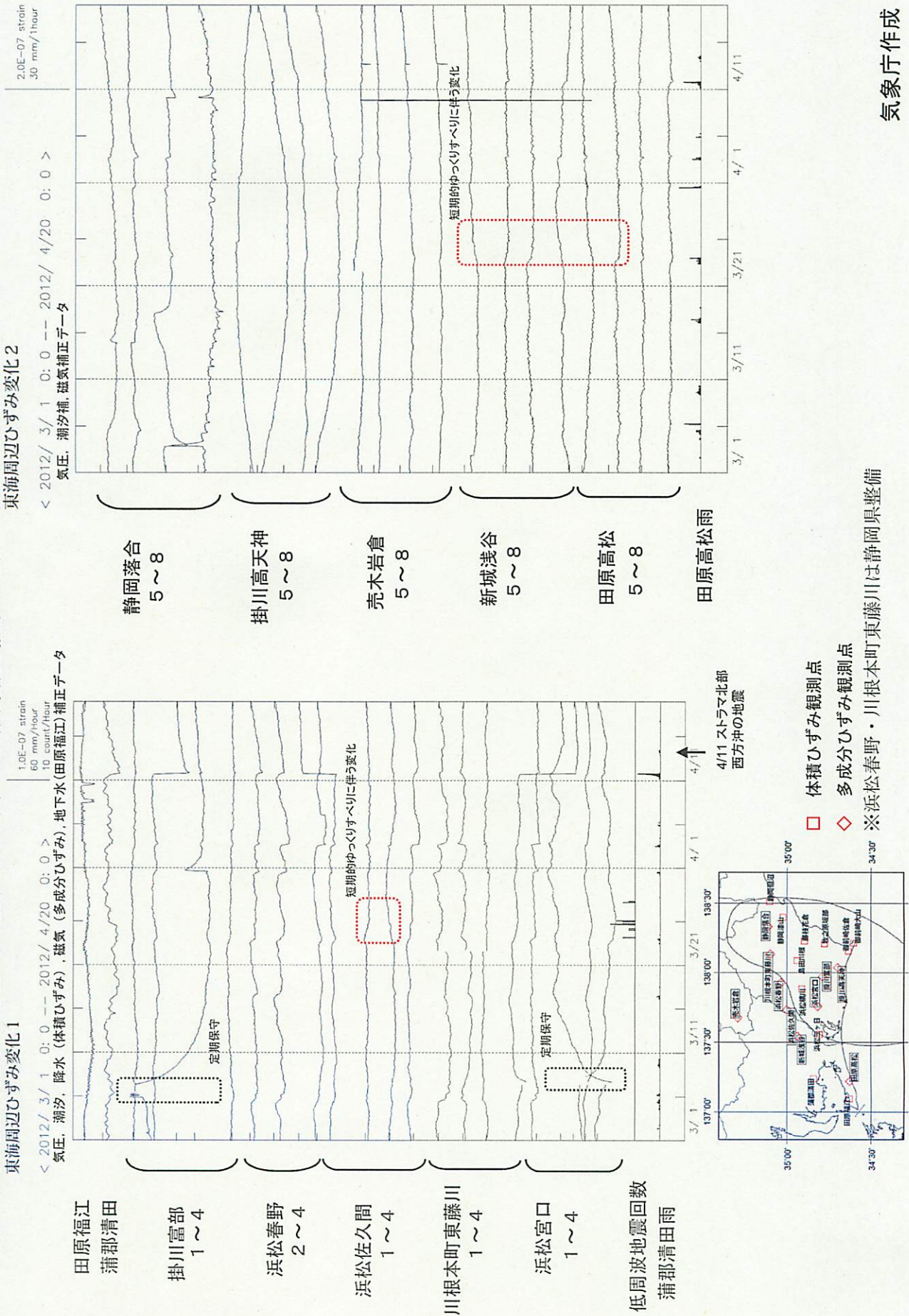
すべり候補領域は、HITEQにより求めた。プレート境界と断層面の形状はHirose et al. (2008)による。(なお、HITEQとは、すべり候補領域の位置とその規模(Mw)を、すべりがプレート境界面上でプレートの沈み込み方向と反対に発生したと仮定し、グリッドサーチ(考え得る全ての解を前提として得られる理論値と観測値を比較し、合致するものを抽出)で求める数値計算プログラム。)

東海地域の短期的ゆつくりすべりの監視

2012:03, 01~2012:04, 19

3月23日頃～28日頃にかけて、気象庁が監視している東海地方の浜松佐久間、新城浅谷及び変化は低周波地震が発生している愛知県の短期的ゆくつりすべりに伴う変化と推測される。

東海周辺ひずみ変化

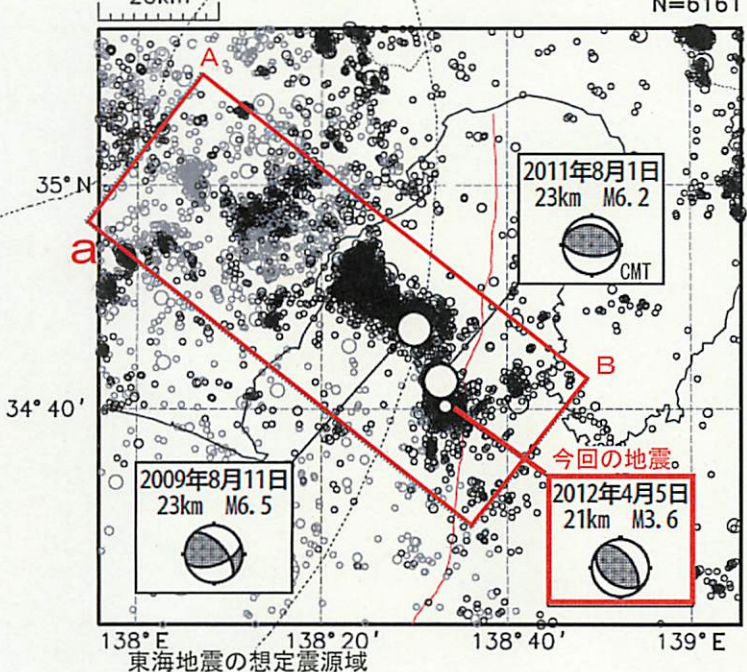


4月5日 駿河湾の地震

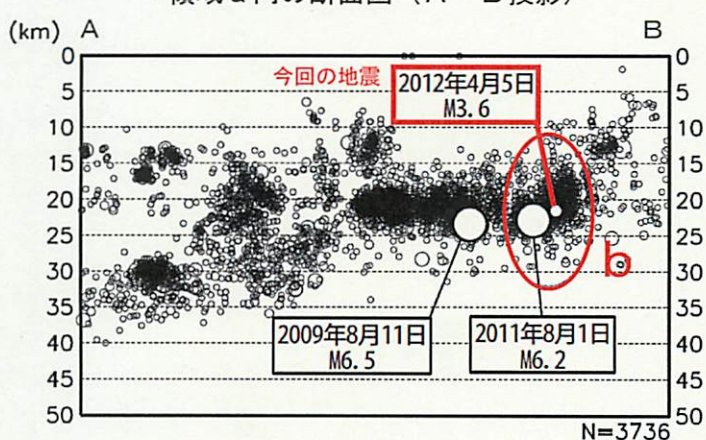
震央分布図 (1997年10月1日～2012年4月18日、 $M \geq 1.0$ 、深さ0～50km)

深さ25km以浅の地震を濃く、それより深い地震を薄く表示。
20km

N=6161



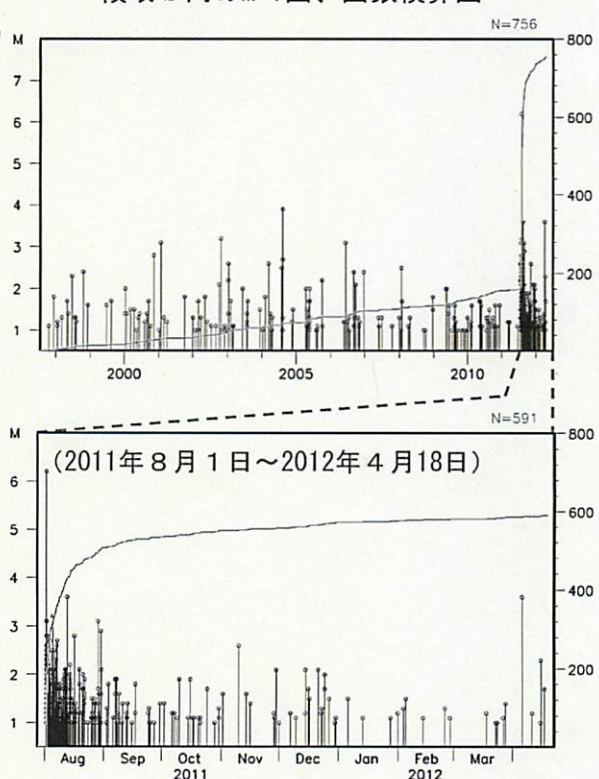
領域a内の断面図 (A-B投影)



2012年4月5日20時56分に駿河湾の深さ21kmでM3.6の地震（最大震度1）が発生した。この地震の発震機構は、北東一南西方に向に圧力軸を持つ逆断層型で、フィリピン海プレート内で発生した地震である。

1997年10月以降の活動を見ると、今回の地震の震源付近（領域b）では、2009年8月11日にM6.5の地震（最大震度6弱）、2011年8月1日にM6.2の地震（最大震度5弱）が発生していた。

領域b内のM-T図、回数積算図



東海地域の地震活動指数 (クラスタを除いた地震回数による)

2012年4月18日 現在

	① 静岡県中西部		② 愛知県		③ 浜名湖周辺			④ 駿河湾
	地殻内	フィリピン海プレート	地殻内	フィリピン海プレート	フィリピン海プレート内		全城	
					全域	西側		
短期活動指数	8	5	1	4	2	2	3	7
短期地震回数 (平均)	11 (5.29)	9 (7.00)	7 (13.16)	14 (14.15)	2 (6.16)	0 (2.46)	2 (3.70)	11 (6.06)
中期活動指数	8	5	2	2	0	1	2	8
中期地震回数 (平均)	30 (15.87)	24 (21.00)	31 (39.48)	33 (42.44)	4 (12.32)	1 (4.93)	3 (7.39)	24 (12.12)

* Mしきい値： 静岡県中西部、愛知県、浜名湖周辺：M≥1.1、駿河湾：M≥1.4

* クラスタ除去：震央距離が Δr 以内、発生時間差が Δt 以内の地震をグループ化し、最大地震で代表させる。

静岡県中西部、愛知県、浜名湖周辺： $\Delta r=3\text{km}$ 、 $\Delta t=7\text{日}$

駿河湾： $\Delta r=10\text{km}$ 、 $\Delta t=10\text{日}$

* 対象期間： 静岡県中西部、愛知県：短期30日間、中期90日間

浜名湖周辺、駿河湾：短期90日間、中期180日間

* 基準期間： おおむね長期的スロースリップ（ゆっくり滑り）発生前の地震活動を基準とする。

静岡県中西部、愛知県：1997年—2001年（5年間）、

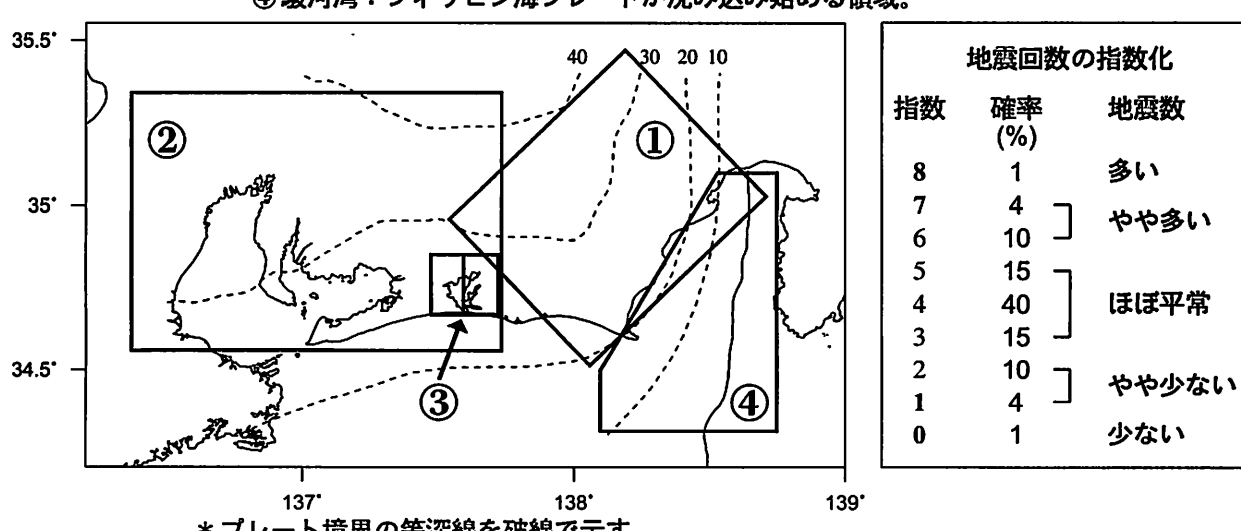
浜名湖周辺：1998年—2000年（3年間）、駿河湾：1991年—2000年（10年間）

[各領域の説明] ①静岡県中西部：プレート間が強く「くっついている」と考えられている領域（固着域）。

②愛知県：フィリピン海プレートが沈み込んでいく先の領域。

③浜名湖周辺：固着域の縁。長期的スロースリップ（ゆっくり滑り）が発生する場所
であり、同期して地震活動が変化すると考えられている領域。

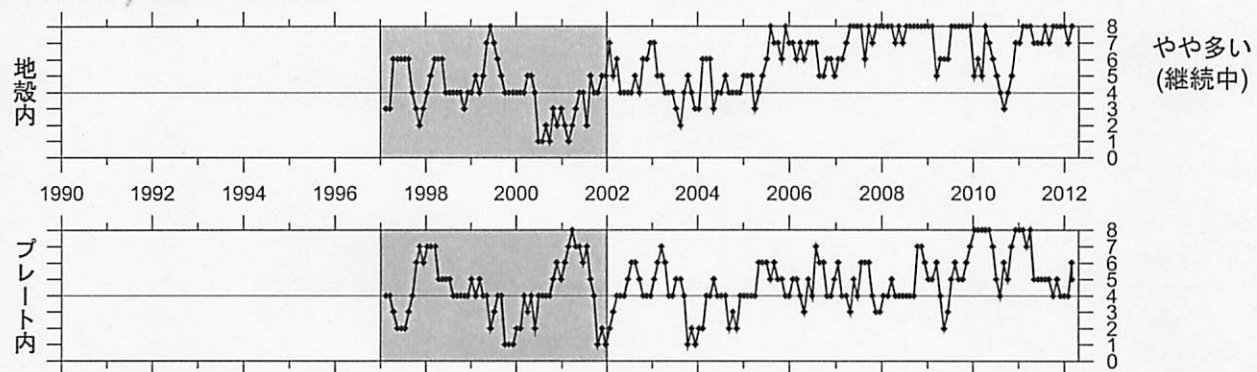
④駿河湾：フィリピン海プレートが沈み込み始める領域。



地震活動指數の推移（中期活動指數）

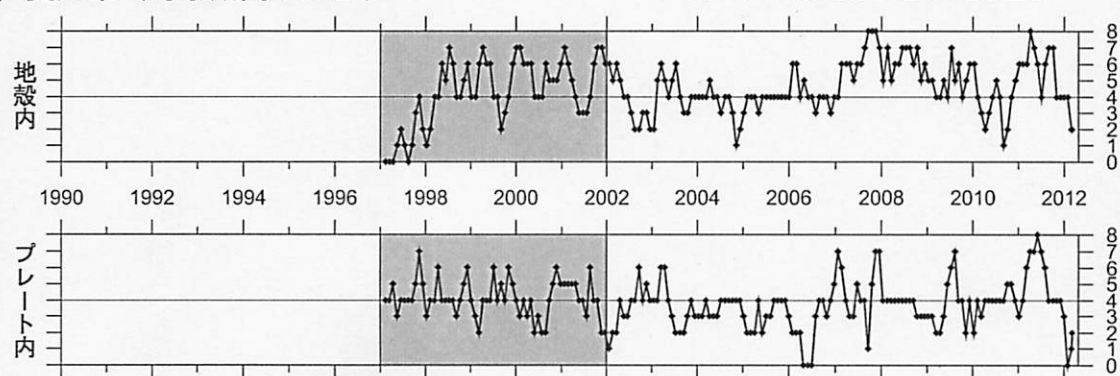
① 静岡県中西部（対象期間：90日）

1997/1/1~2012/4/18 M ≥ 1.1



② 愛知県（対象期間：90日）

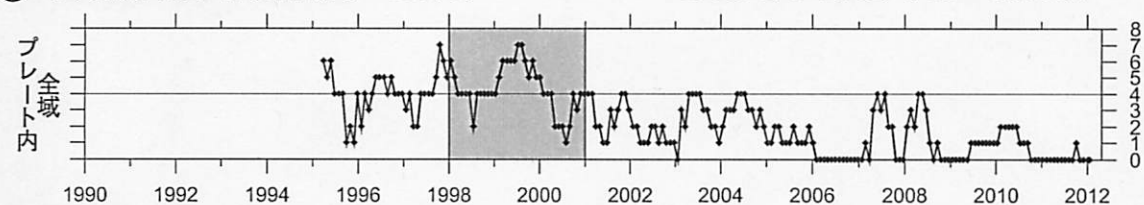
1997/1/1~2012/4/18 M ≥ 1.1



③ 浜名湖周辺（対象期間：180日）

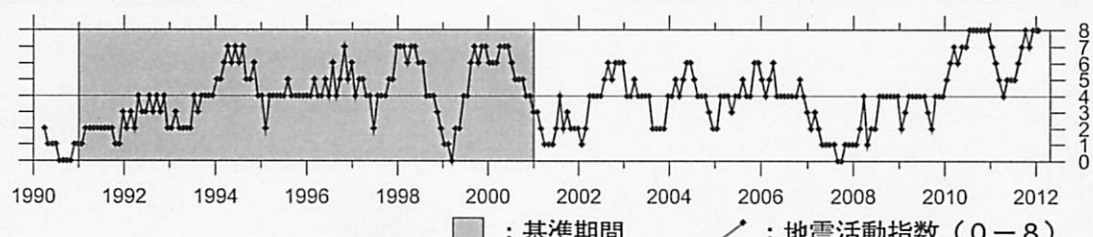
1995/1/1~2012/4/18 M ≥ 1.1

やや少ない
(継続中)



④ 駿河湾（対象期間：180日）

1990/1/1~2012/4/18 M ≥ 1.4



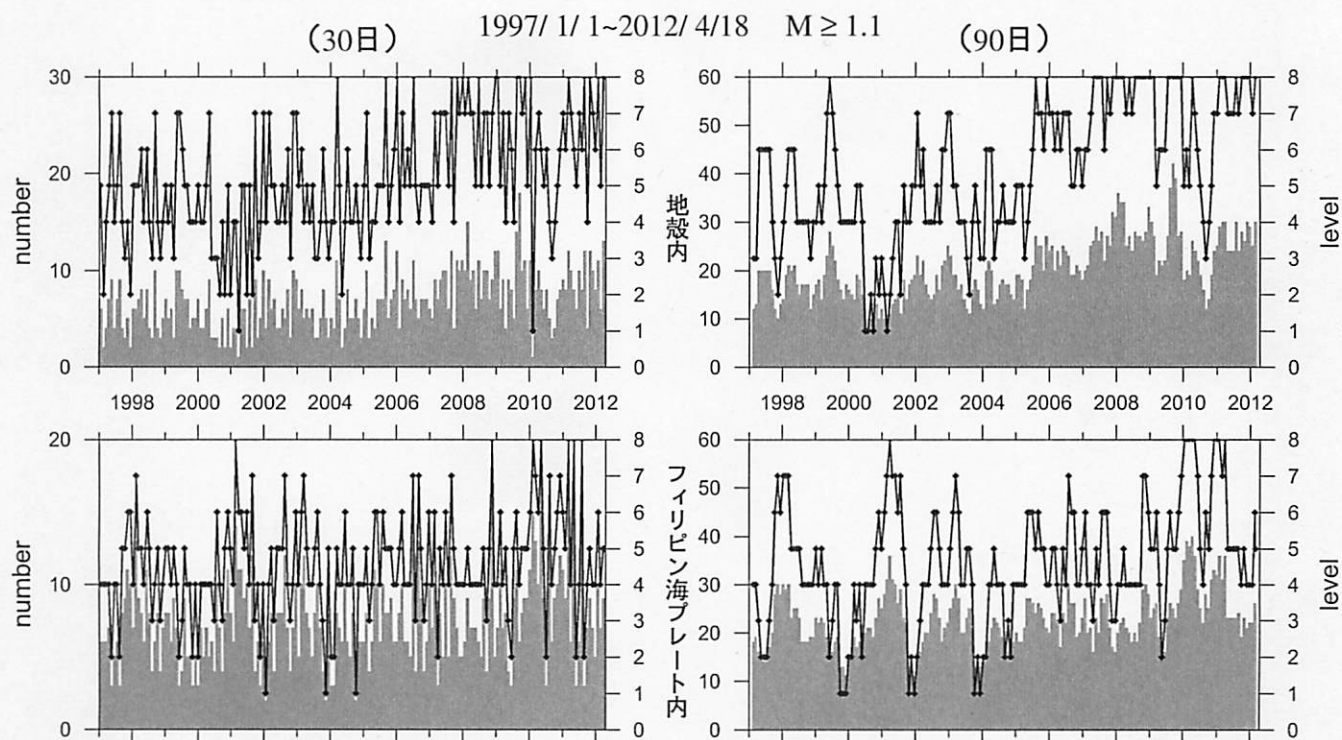
■ : 基準期間

◇ : 地震活動指數 (0 - 8)

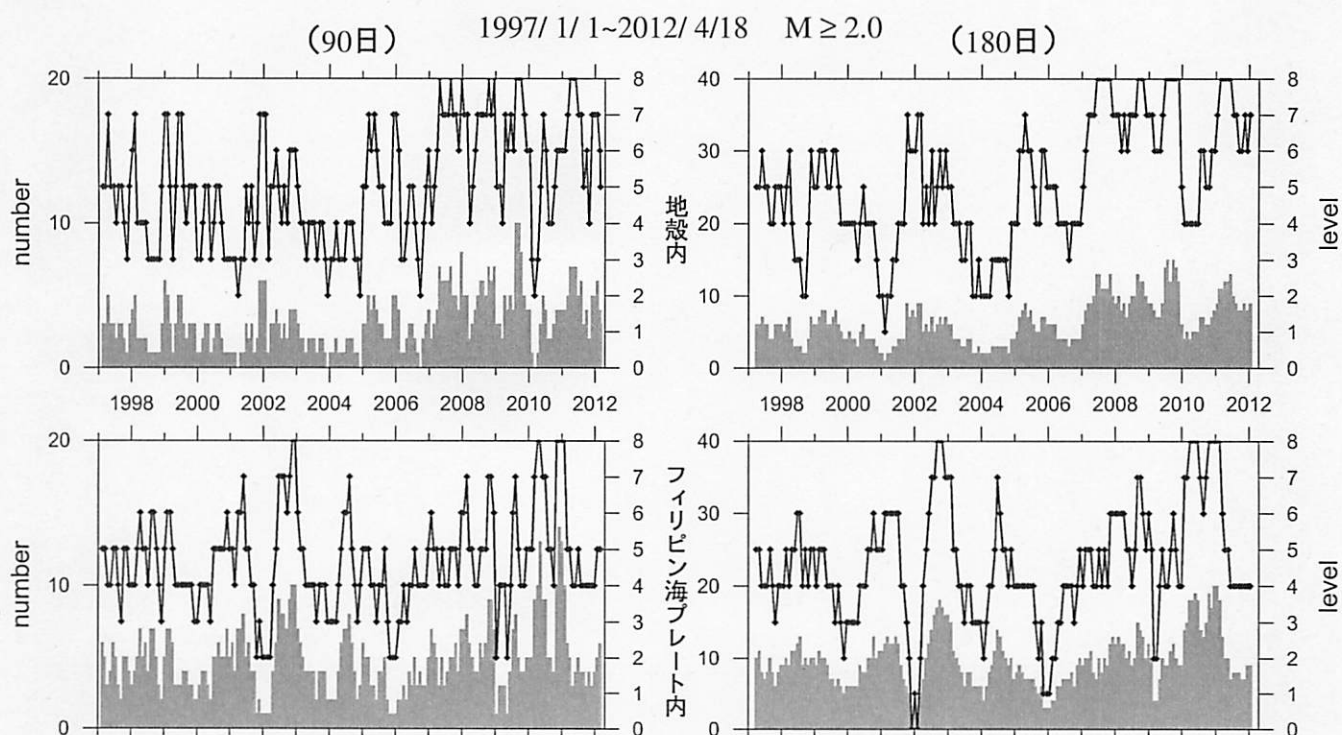
気象庁作成

地震活動指標の推移

① 静岡県中西部



地殻内は高い(8)。フィリピン海プレート内はほぼ平常(5)。



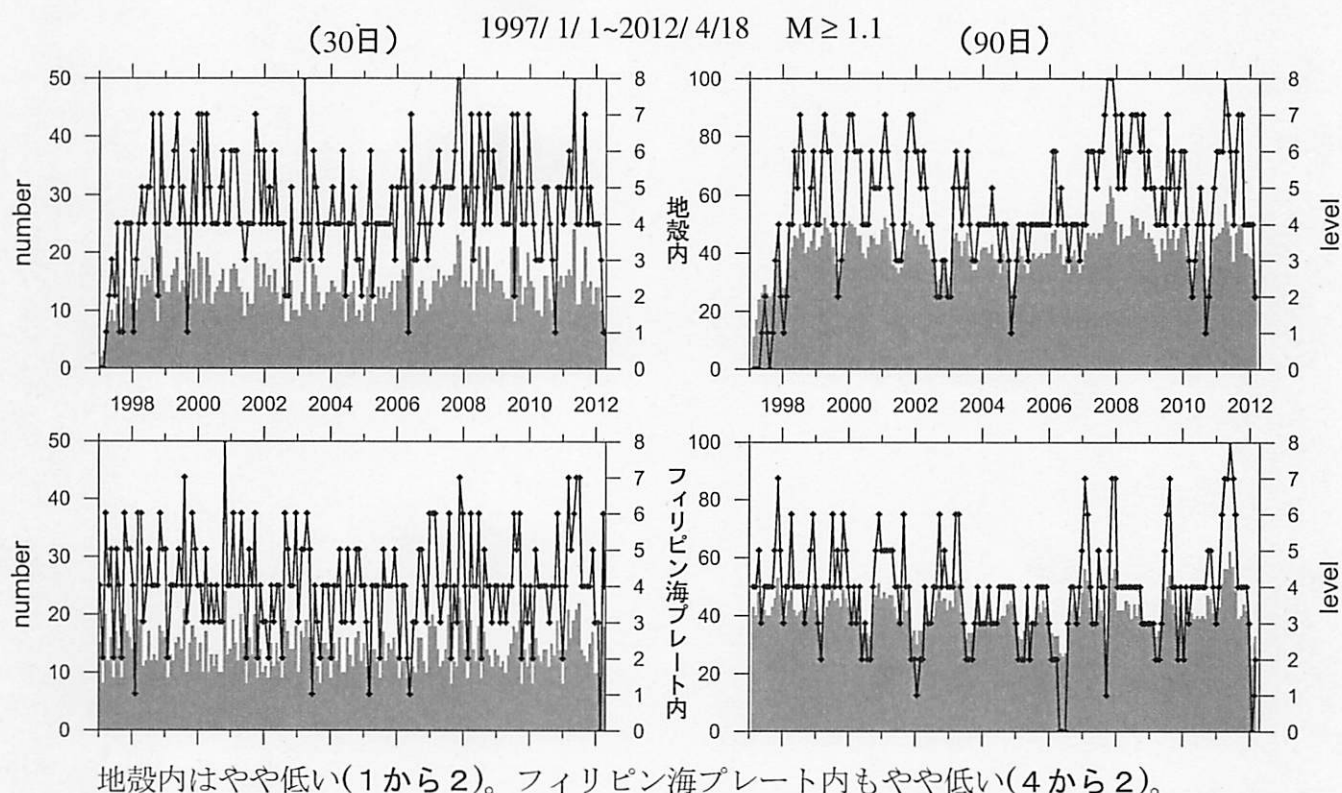
地殻内はやや高い(5から7)。

フィリピン海プレート内はほぼ平常(5から4)。

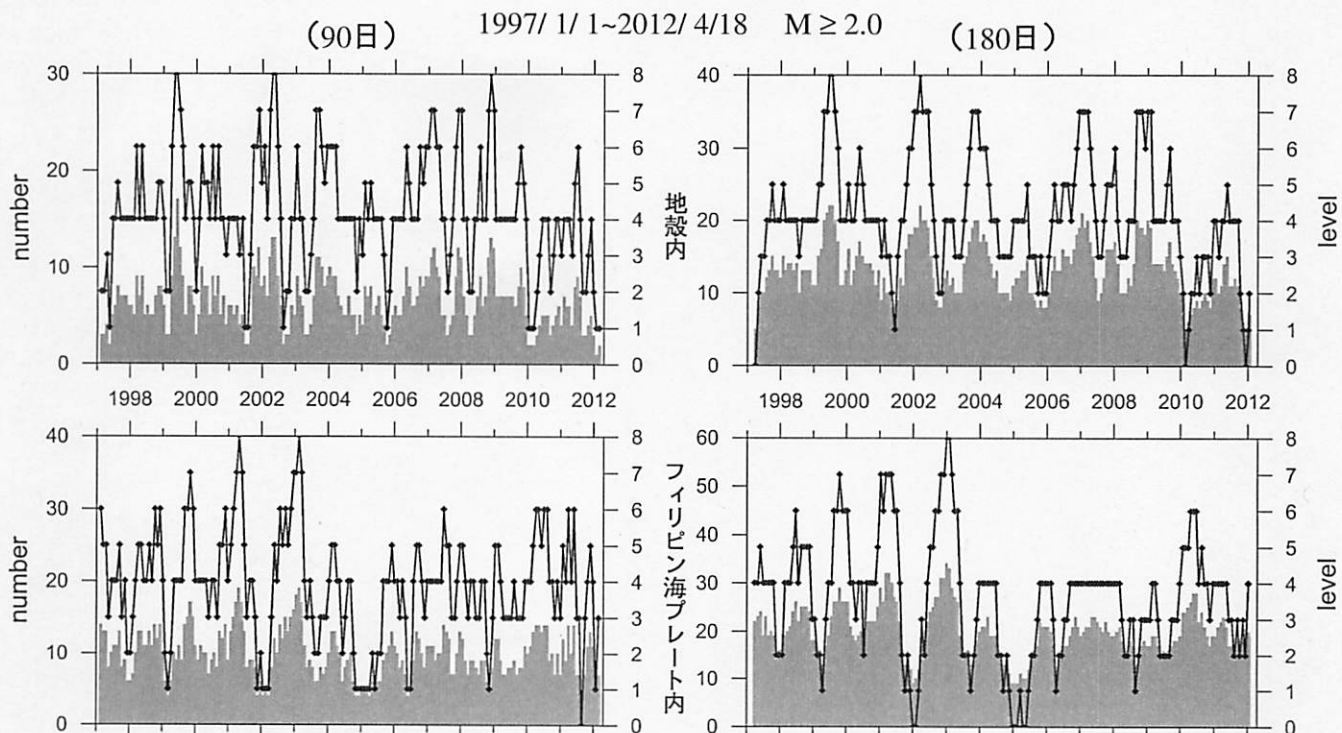
：地震活動指標 (0-8)
■：地震回数 (クラスタを除く)

地震活動指標の推移

② 愛知県



地殻内はやや低い(1から2)。フィリピン海プレート内もやや低い(4から2)。



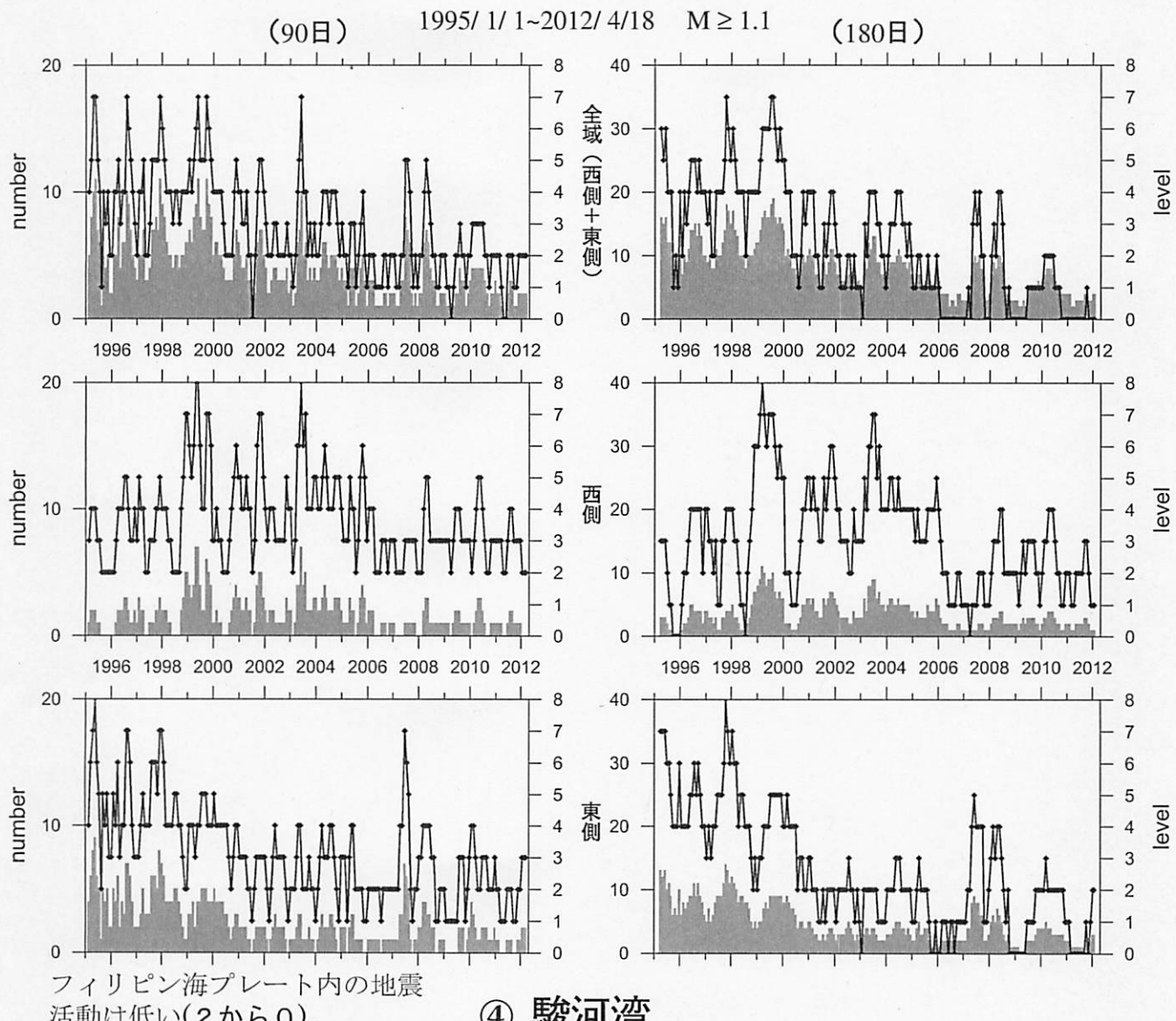
地殻内はやや低い(1から2)。

フィリピン海プレート内はほぼ平常(3から4)。

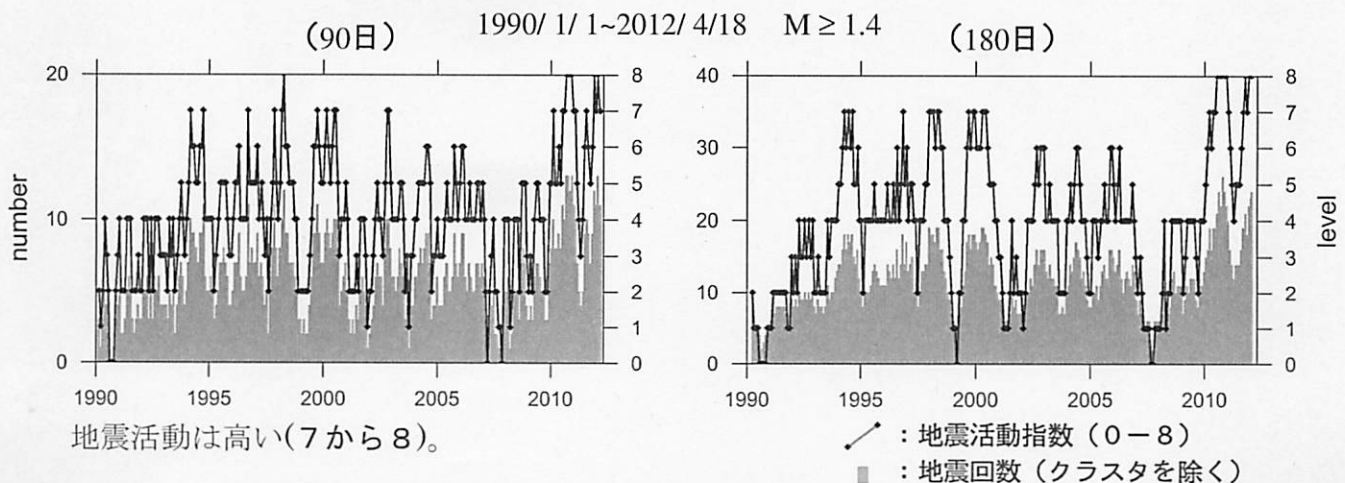
：地震活動指標 (0~8)
■：地震回数 (クラスタを除く)

地震活動指標の推移

③ 浜名湖周辺（フィリピン海プレート内）

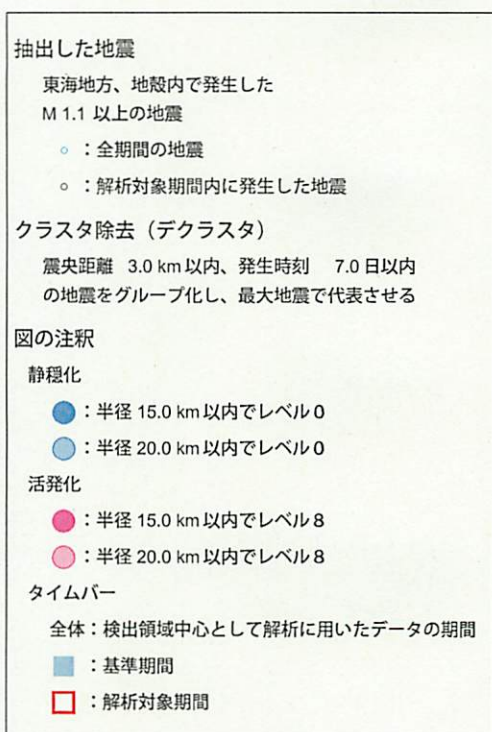


④ 駿河湾

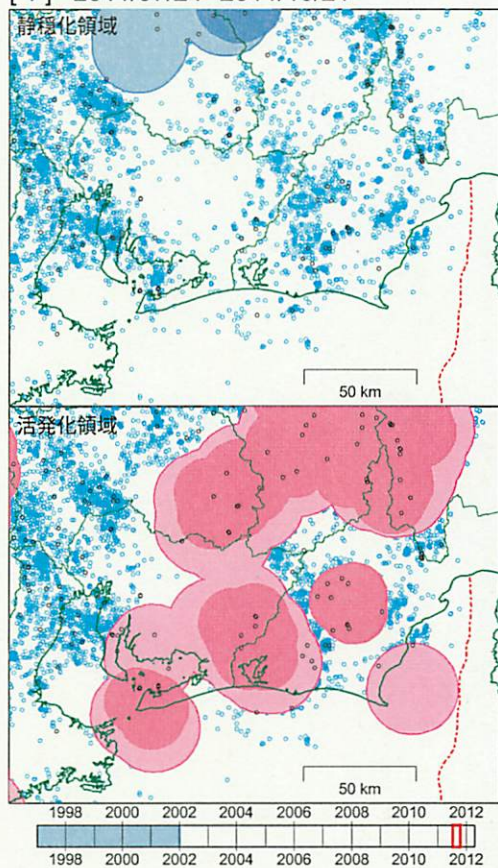


気象庁作成

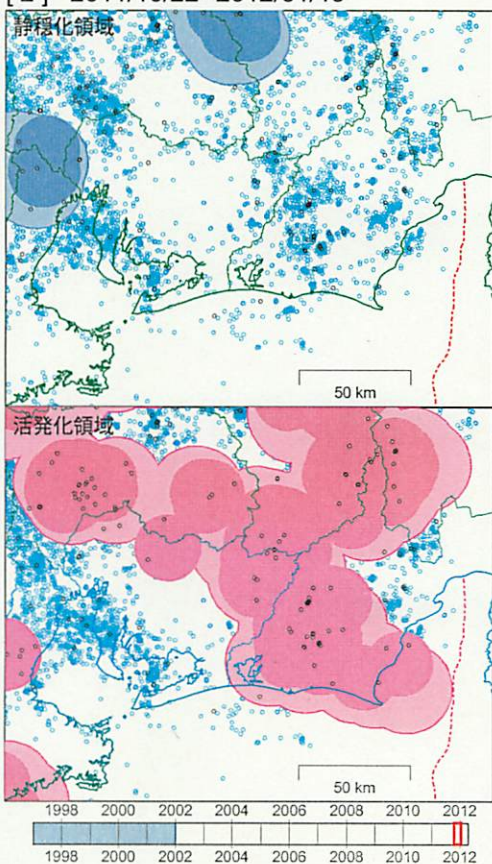
静穏化・活発化領域の検出（東海地方、地殻内）



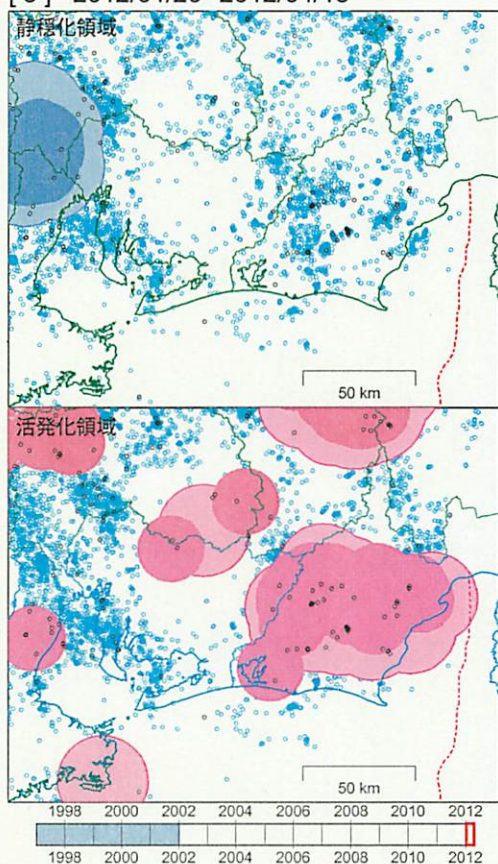
[1] 2011/07/24--2011/10/21



[2] 2011/10/22--2012/01/19



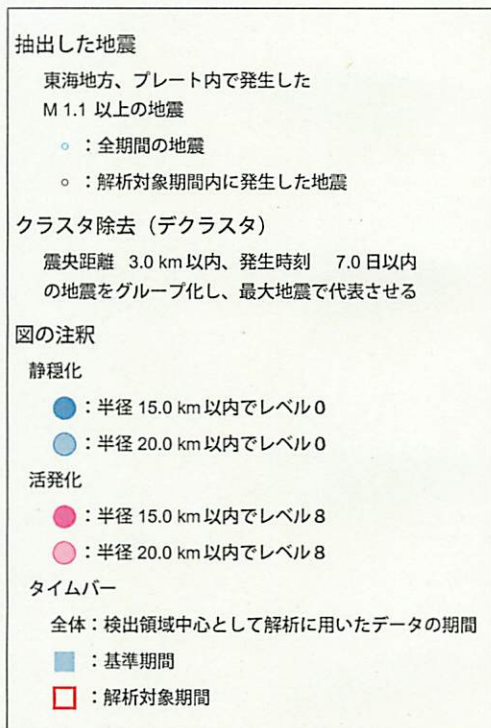
[3] 2012/01/20--2012/04/18



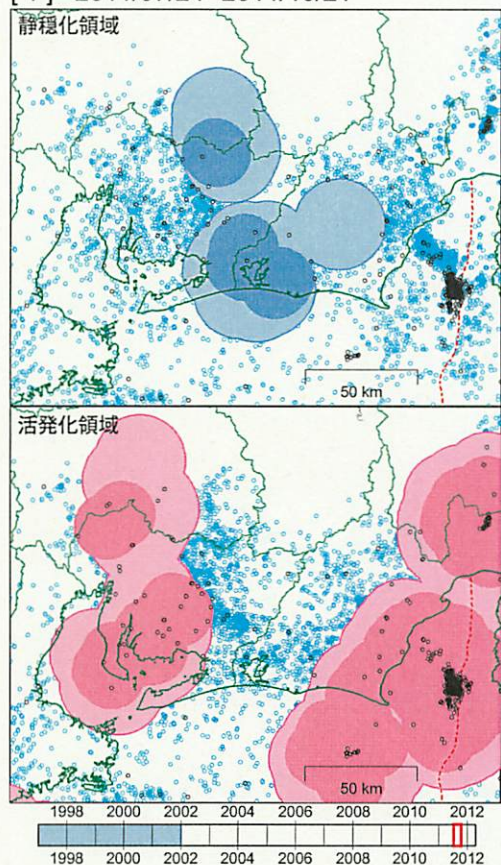
想定震源域周辺では、今期(最新の[3])は静岡県中西部で活発化領域が検出されている。静穏化領域は検出されていない。

気象庁作成

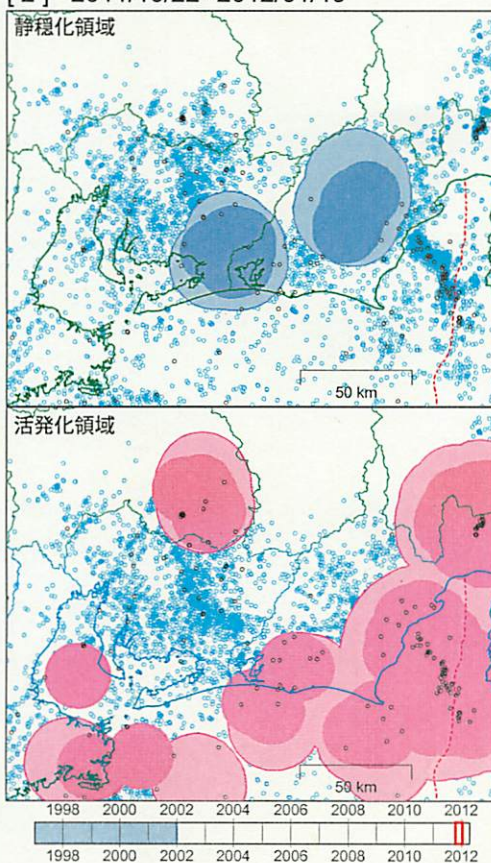
静穏化・活発化領域の検出（東海地方、プレート内）



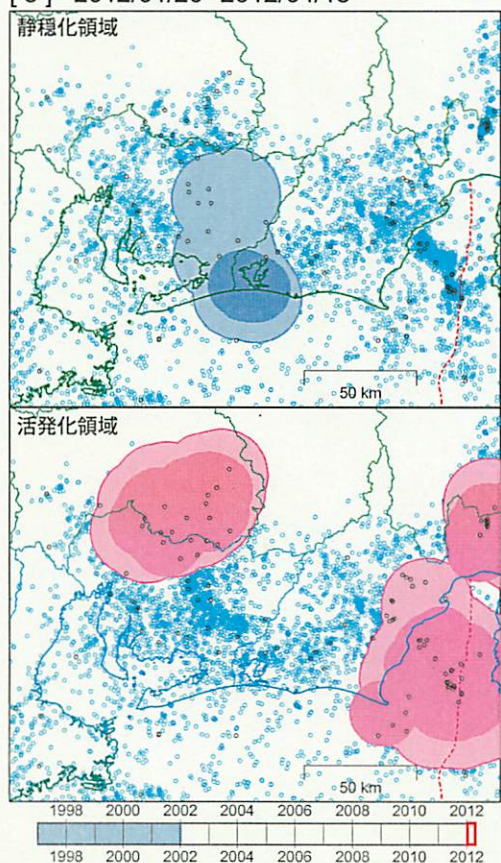
[1] 2011/07/24--2011/10/21



[2] 2011/10/22--2012/01/19

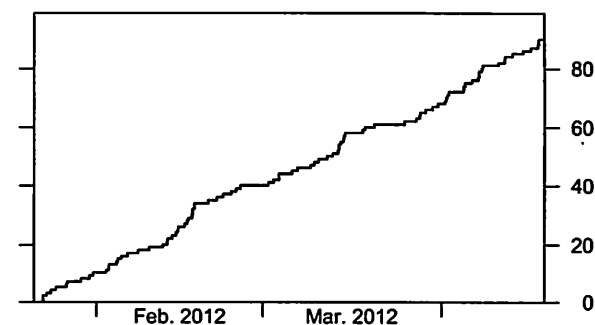
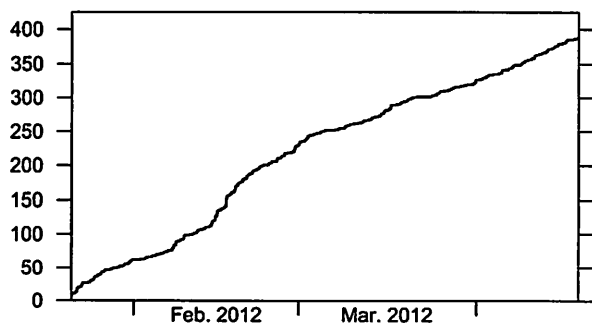
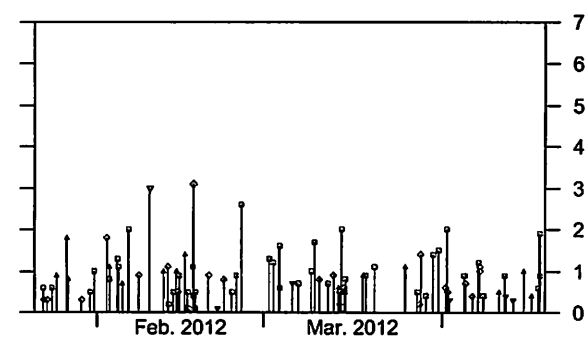
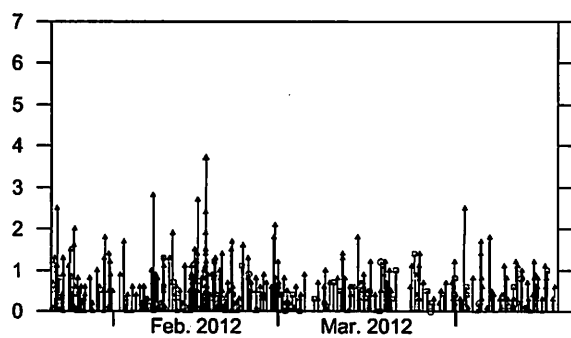
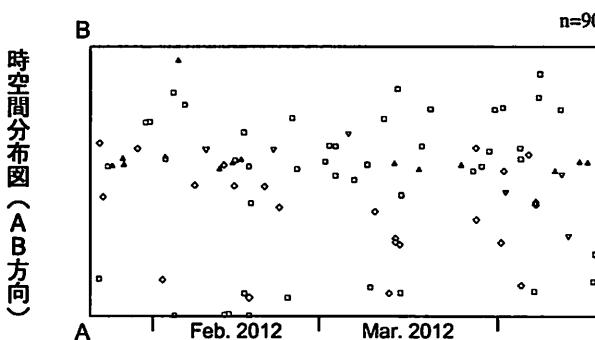
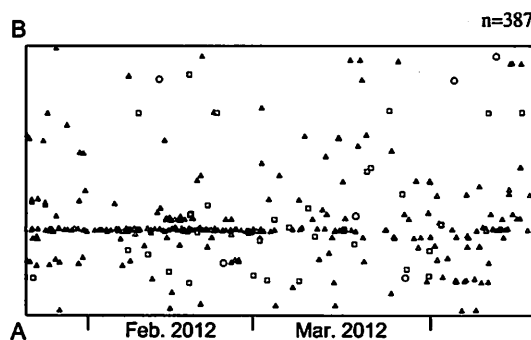
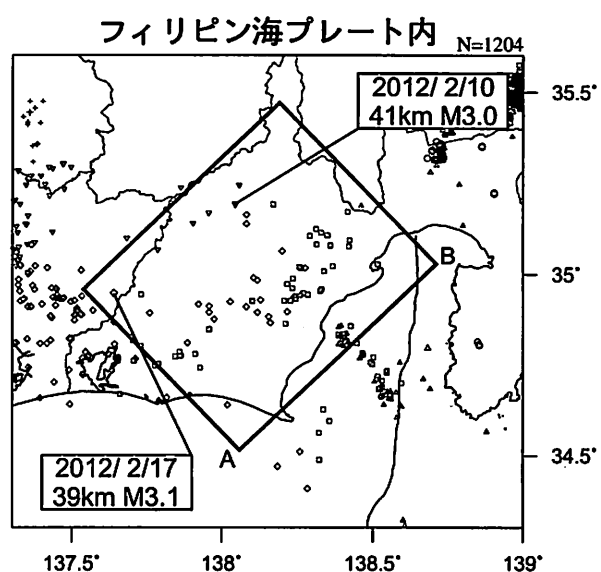
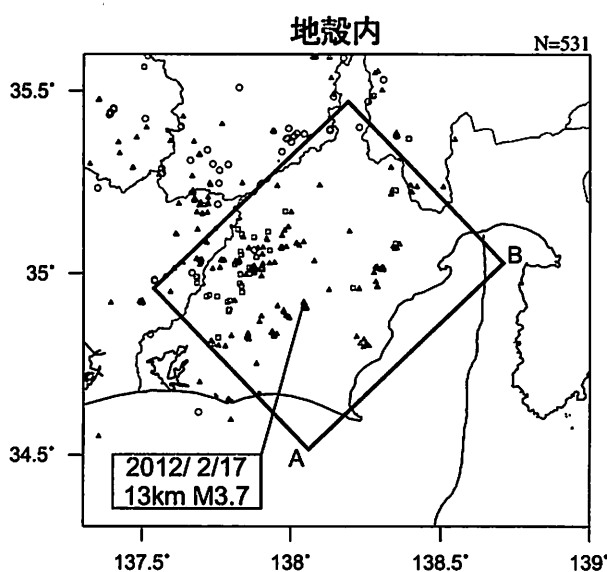


[3] 2012/01/20--2012/04/18



想定震源域周辺では、今期(最新の[3])は駿河湾で活発化領域が検出されて 気象庁作成
いる。静岡県西部、愛知県東部で静穏化領域が検出されている。

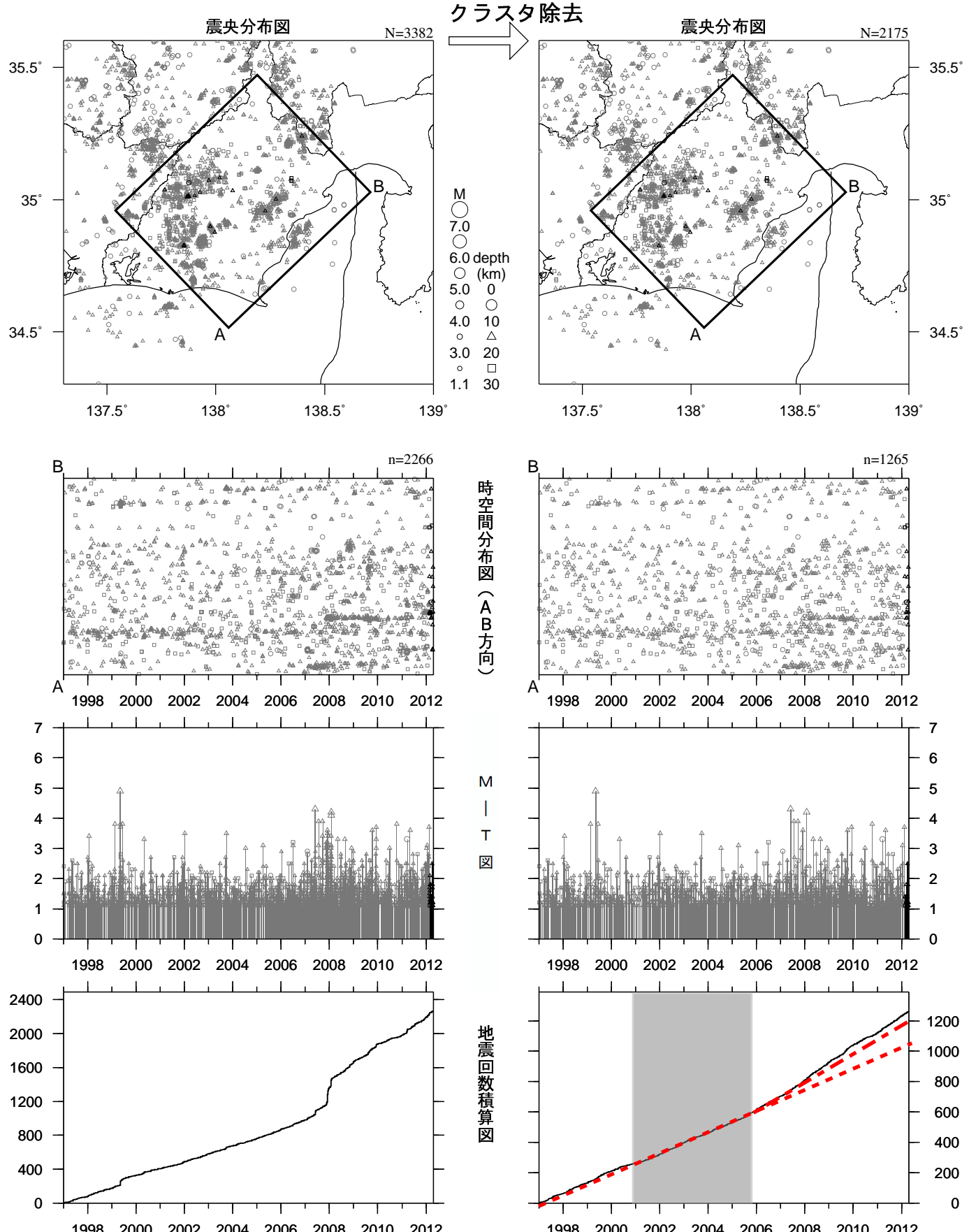
静岡県中西部（最近90日）
2012/1/20~2012/4/18 M≥0.0 0≤深さ(km)≤60



*吹き出しへはM≥3.0

静岡県中西部（地殻内）

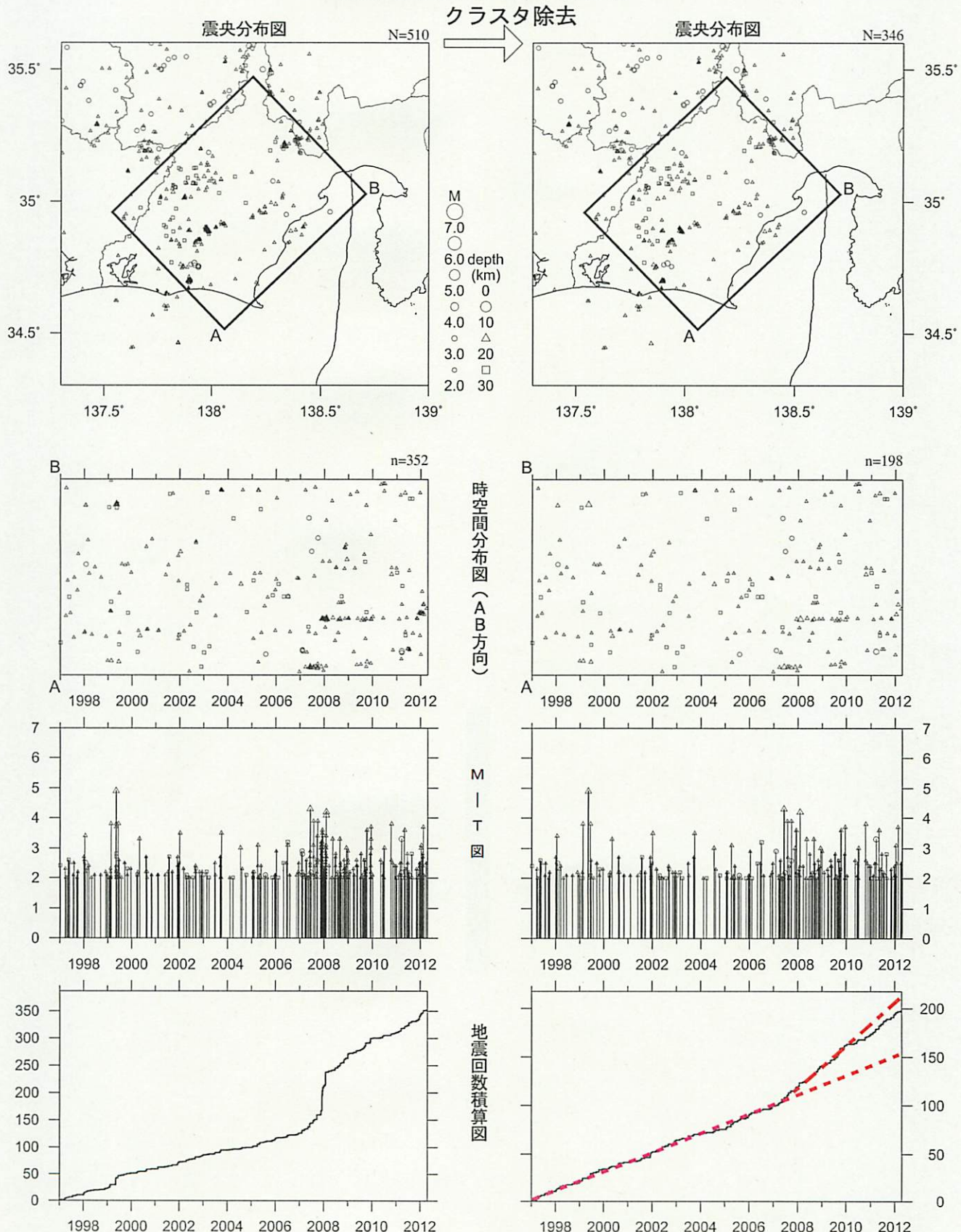
1997/1/1~2012/4/18 M ≥ 1.1



クラスタ除去後の地震回数積算図（右下図）を見ると、2000年半ばまでは傾きが急でやや活発、その後2005年半ばまでは傾きが緩やかでやや低調、2005年半ば以降はやや活発、という傾向が見られる。この地震活動変化は、概ね長期的スロースリップの進行(右下図網掛け領域)・停滞の時期に対応している。2007年後半以降はさらに活発な傾向が見られている。

静岡県中西部（地殻内）

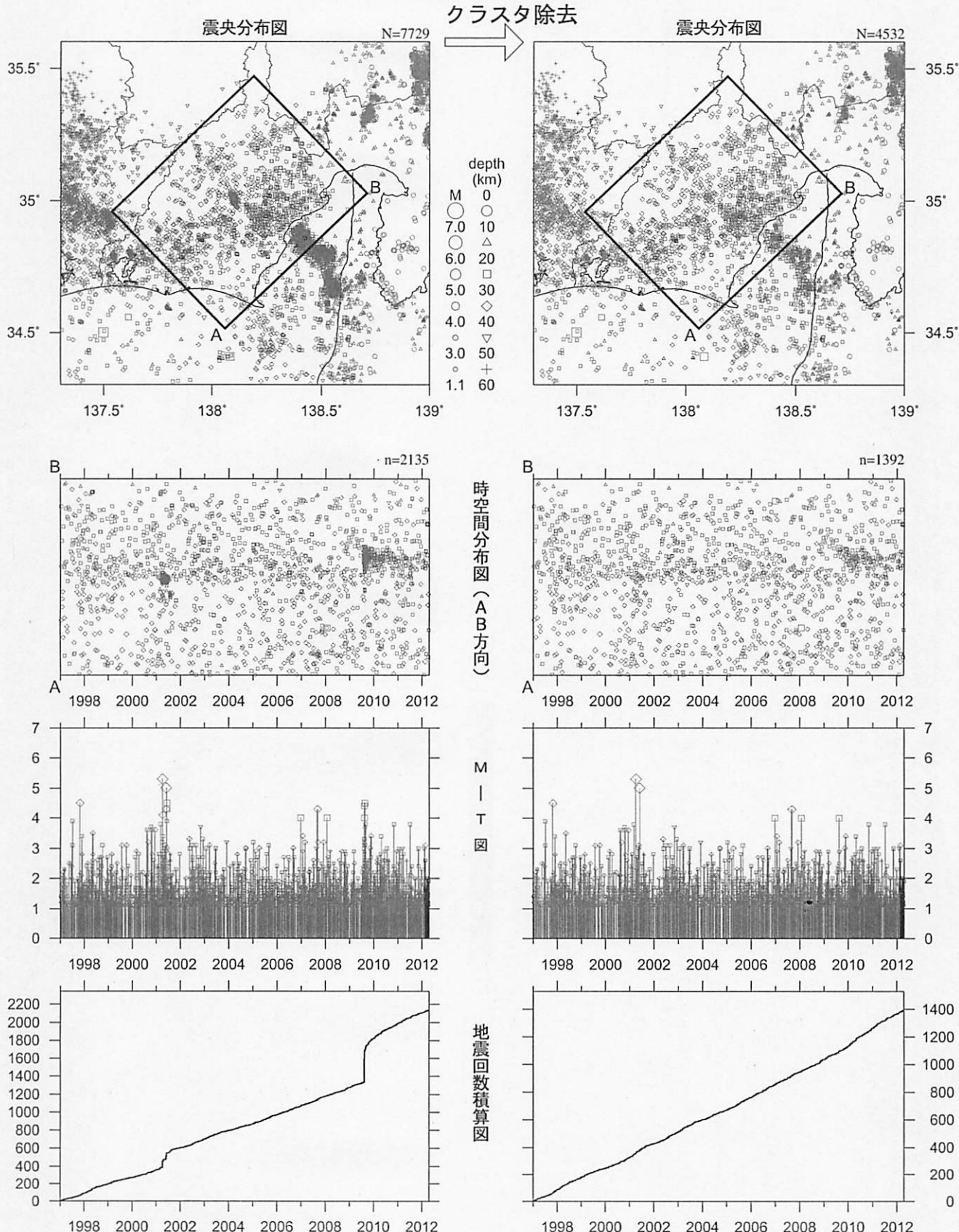
1997/1/1~2012/4/18 M ≥ 2.0



クラスタ除去後の地震回数積算図（右下図）を見ると、2007年に入ってから傾きが急でやや活発な状態を示している。

静岡県中西部（フィリピン海プレート内）

1997/1/1~2012/4/18 M ≥ 1.1

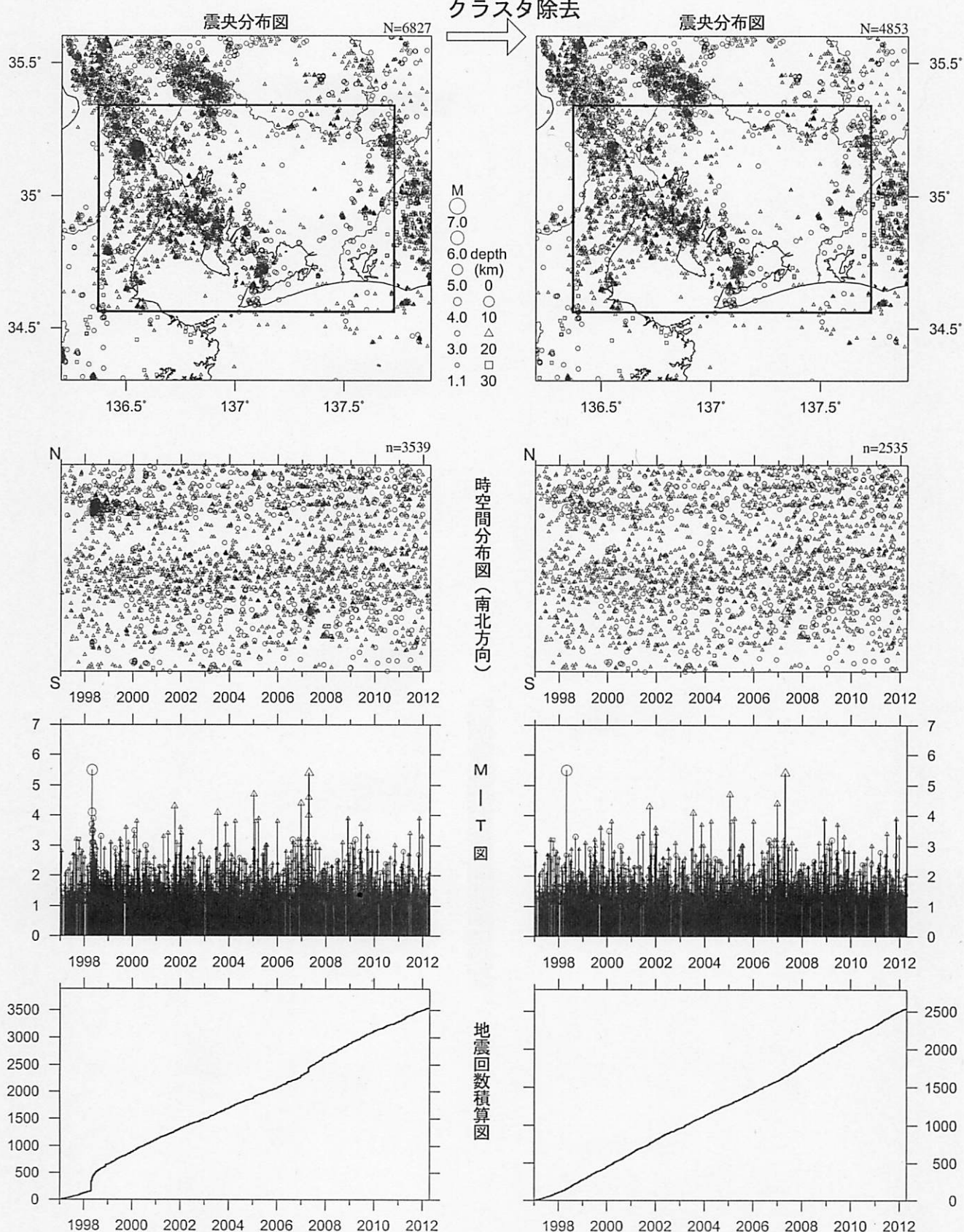


最近60日以内の地震を濃く表示

2009年末から2011年始めまで、地震活動指数はやや高い状態を示しており、クラスタ除去後の地震回数積算図(右下図)からも同様の傾向が見られていた。これは、2009年8月11日に発生した駿河湾の地震(M6.5)の余震活動が適切にデクラスタされていなかったためである。現在の地震活動指数はほぼ平常に戻っており、クラスタ除去後の地震回数積算図(右下図)にも顕著な変化は見られない。

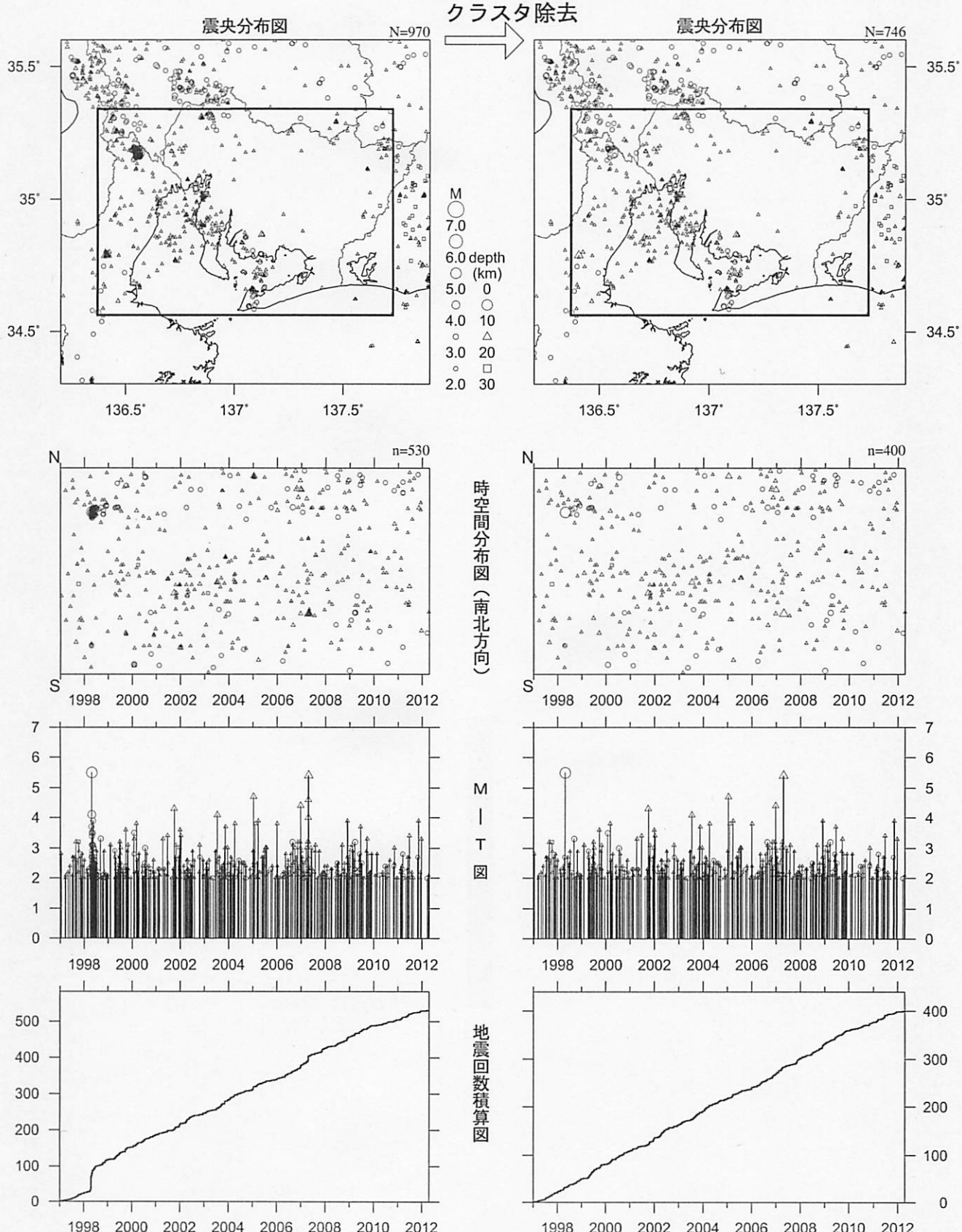
気象庁作成

愛知県（地殻内）
1997/1/1~2012/4/18 M ≥ 1.1



地震活動指数はやや低い状態を示しているが、クラスタ除去後の地震回数積算図(右下図)からは顕著な変化は見られない。

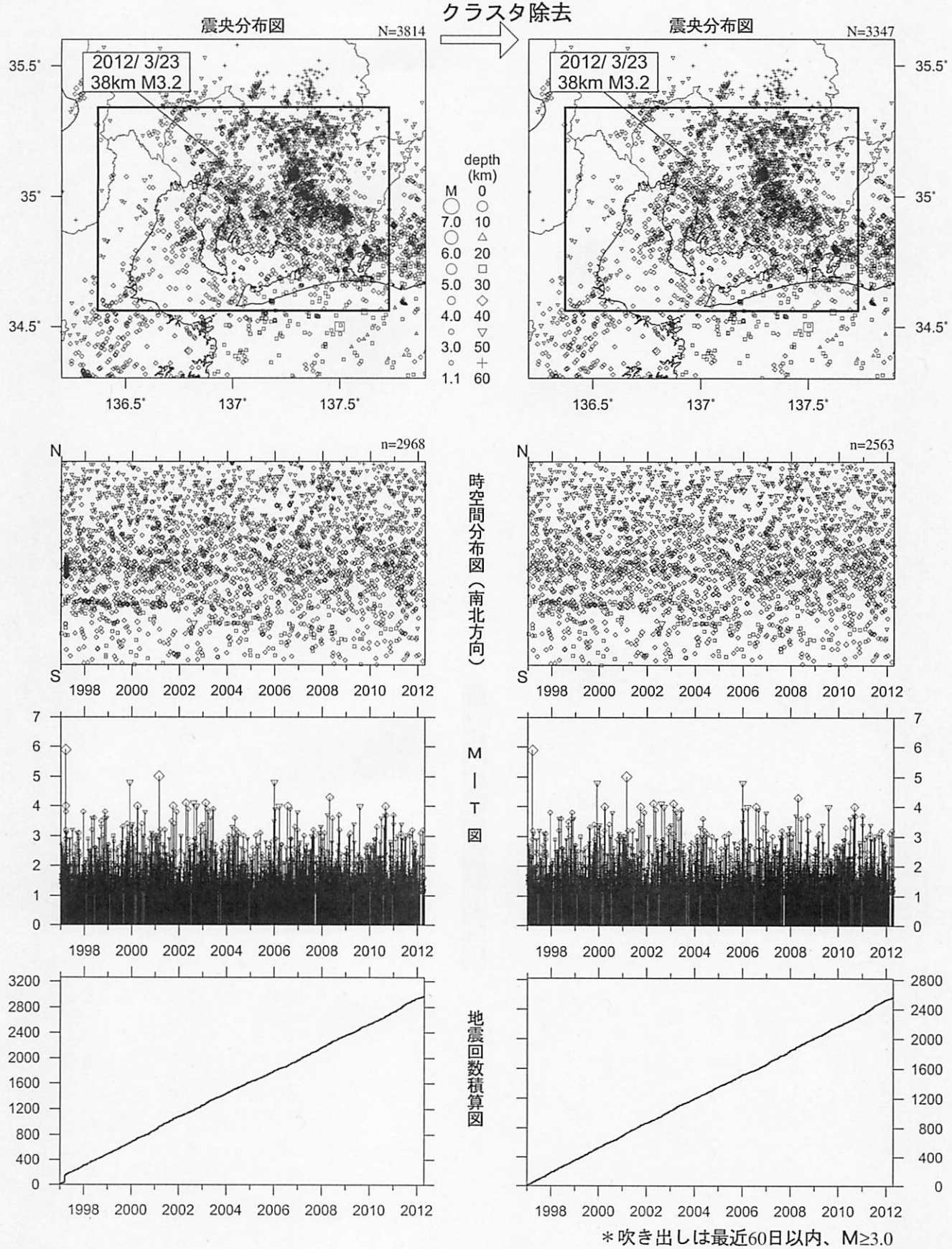
愛知県（地殻内）
1997/1/1~2012/4/18 M ≥ 2.0



地震活動指標はやや低い状態を示しているが、クラスタ除去後の地震回数積算図(右下図)からも2009年終わり頃から地震活動がやや静穏な状態になっているように見える。

愛知県（フィリピン海プレート内）

1997/1/1~2012/4/18 M \geq 1.1

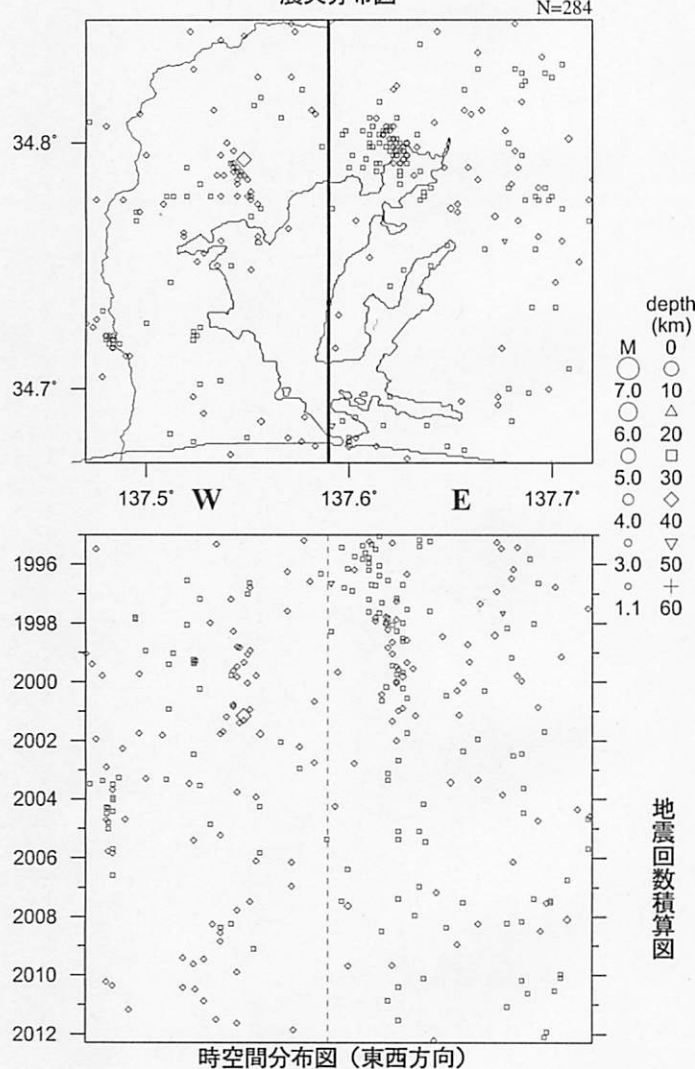


地震活動指数はやや低い状態を示しているが、クラスタ除去後の地震回数積算図(右下)からは顕著な変化は見られない。

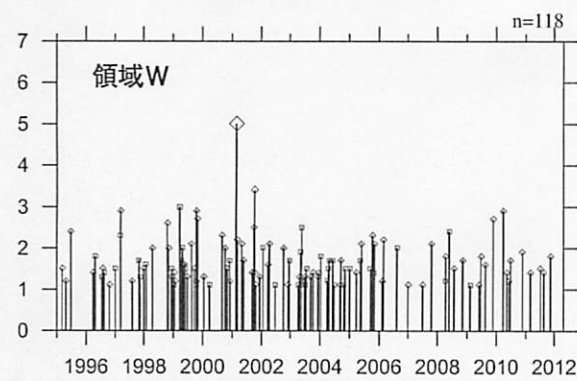
浜名湖周辺（フィリピン海プレート内）

1995/1/1~2012/4/18 M ≥ 1.1 *クラスタ除去したデータ

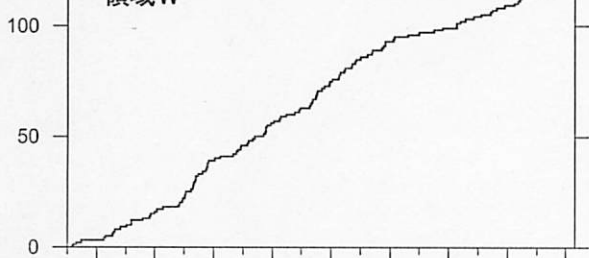
震央分布図



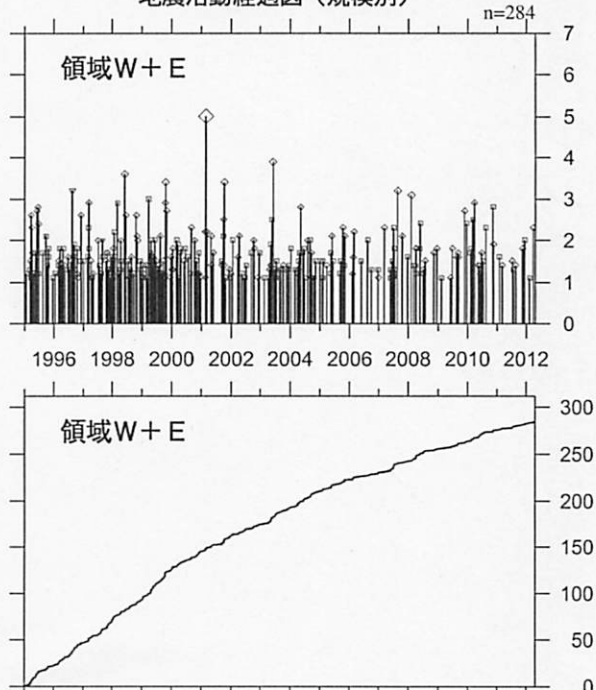
時空間分布図（東西方向）



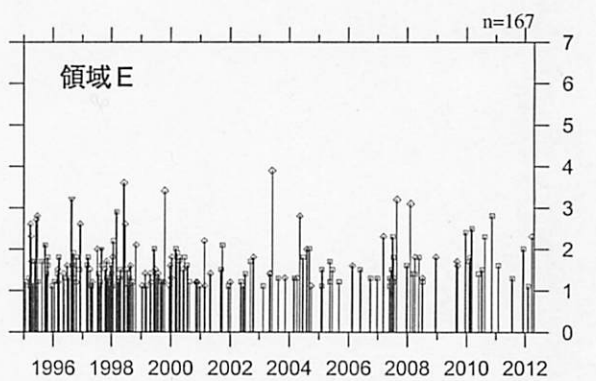
領域W



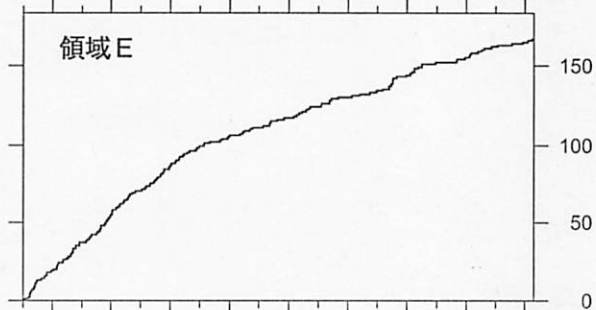
地震活動経過図（規模別）



領域W+E



領域E



[東側] 地震回数積算図（右下図）を見ると、地震活動は2000年以降やや低調。

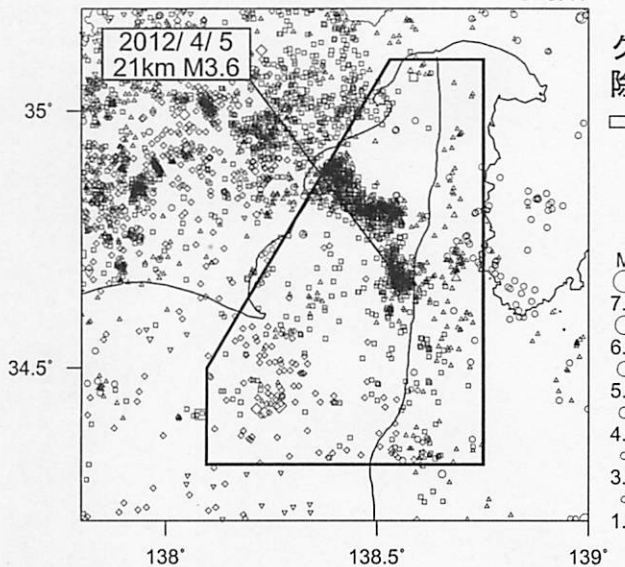
[西側] 地震回数積算図（左下図）を見ると、2006年以降やや低調。

駿河湾

1990/1/1~2012/4/18 $M \geq 1.4$

震央分布図

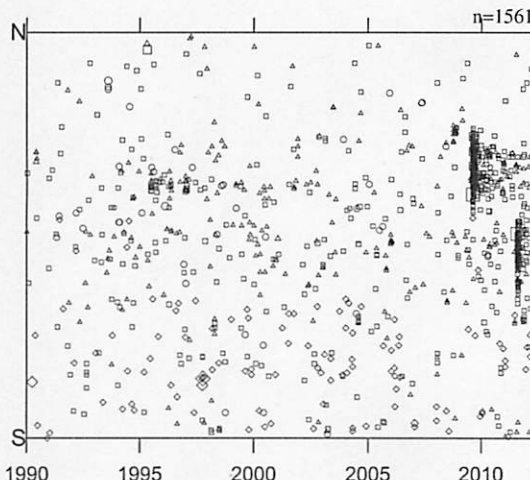
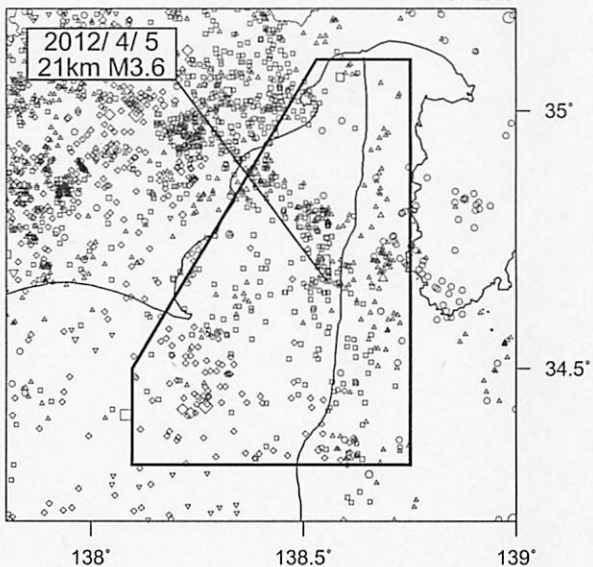
N=3977



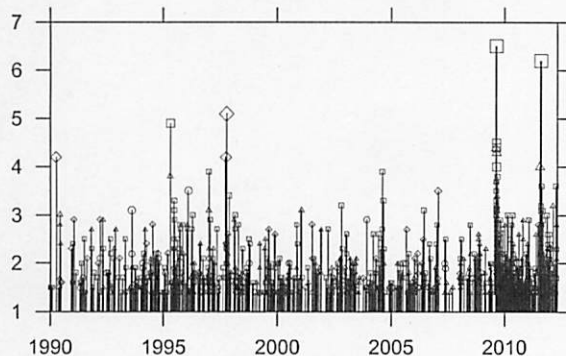
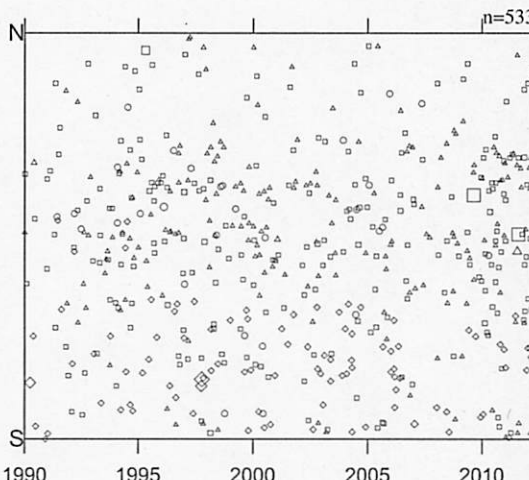
クラスタ
除去

震央分布図

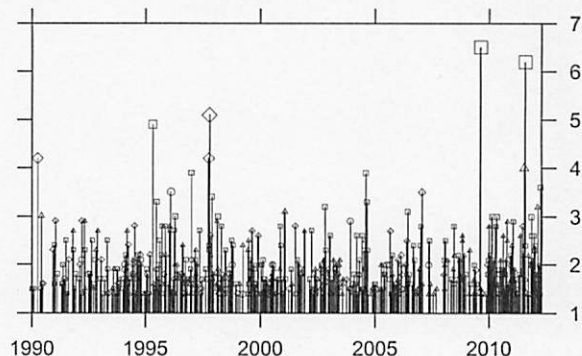
N=1929



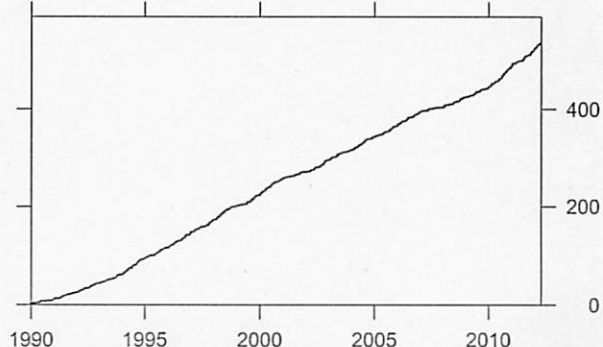
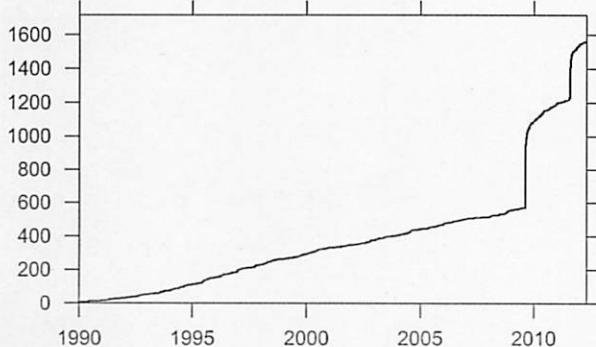
時空分布図（南北方向）



M-T図



地震回数積算図



*吹き出しへは最近60日以内、 $M \geq 3.0$

2010年頃地震活動指数はやや高い状態を示しており、クラスタ除去後の地震回数積算図(右下図)からも同様の傾向が見られていた。これは、2009年8月11日に発生した駿河湾の地震(M6.5)の余震活動が適切にデクラスターされていないためである。現在の地震活動指数は再び高い状態を示しているが、クラスタ除去後の地震回数積算図(右下図)からも同様の傾向が見られている。

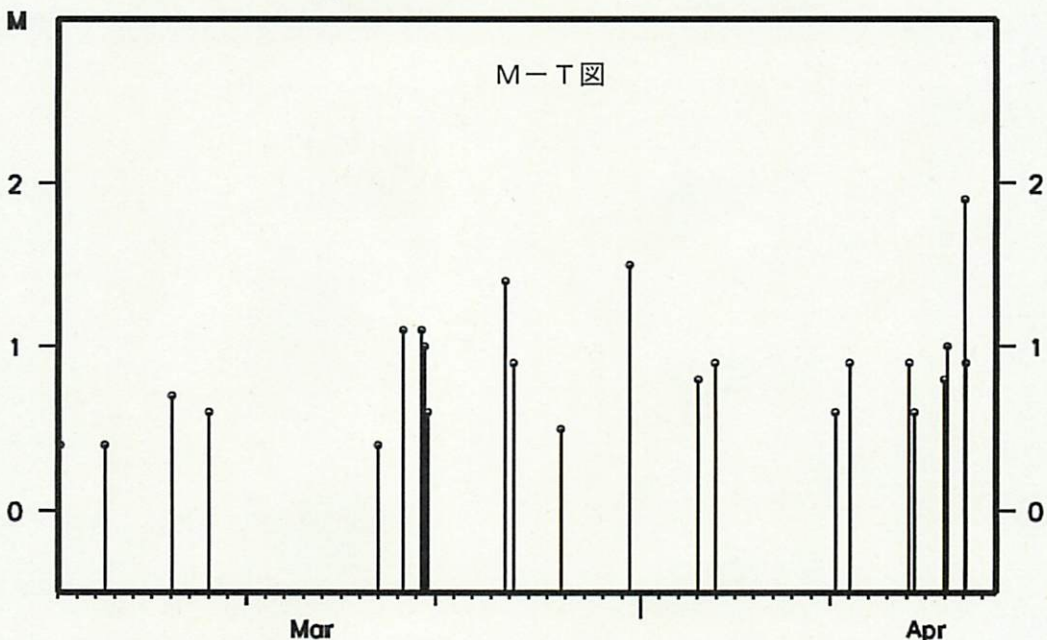
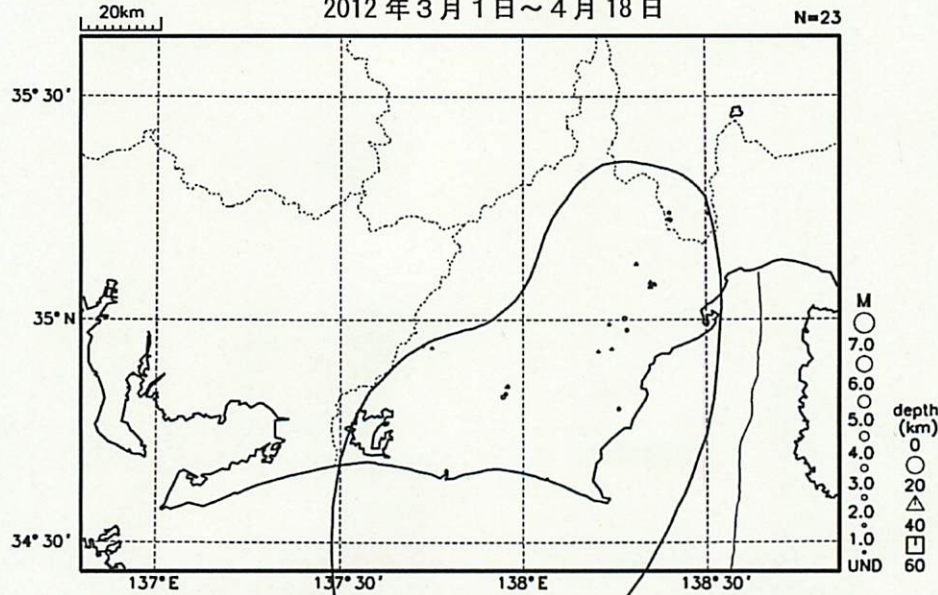
気象庁作成

プレート境界とその周辺の地震活動(最近の活動状況)
(Hirose et al. (2008)によるフィリピン海スラブ上面深さの±3kmの地震を抽出)

プレート境界とその周辺の地震の震央分布(最近約1ヶ月半、Mすべて)

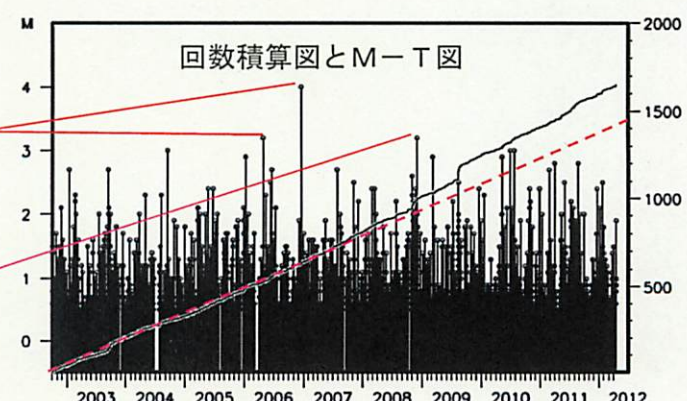
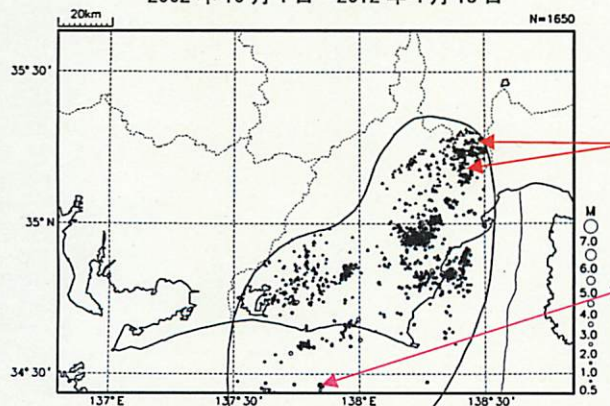
2012年3月1日～4月18日

N=23



プレート境界とその周辺の地震の震央分布(2002年10月以降、M≥0.5)

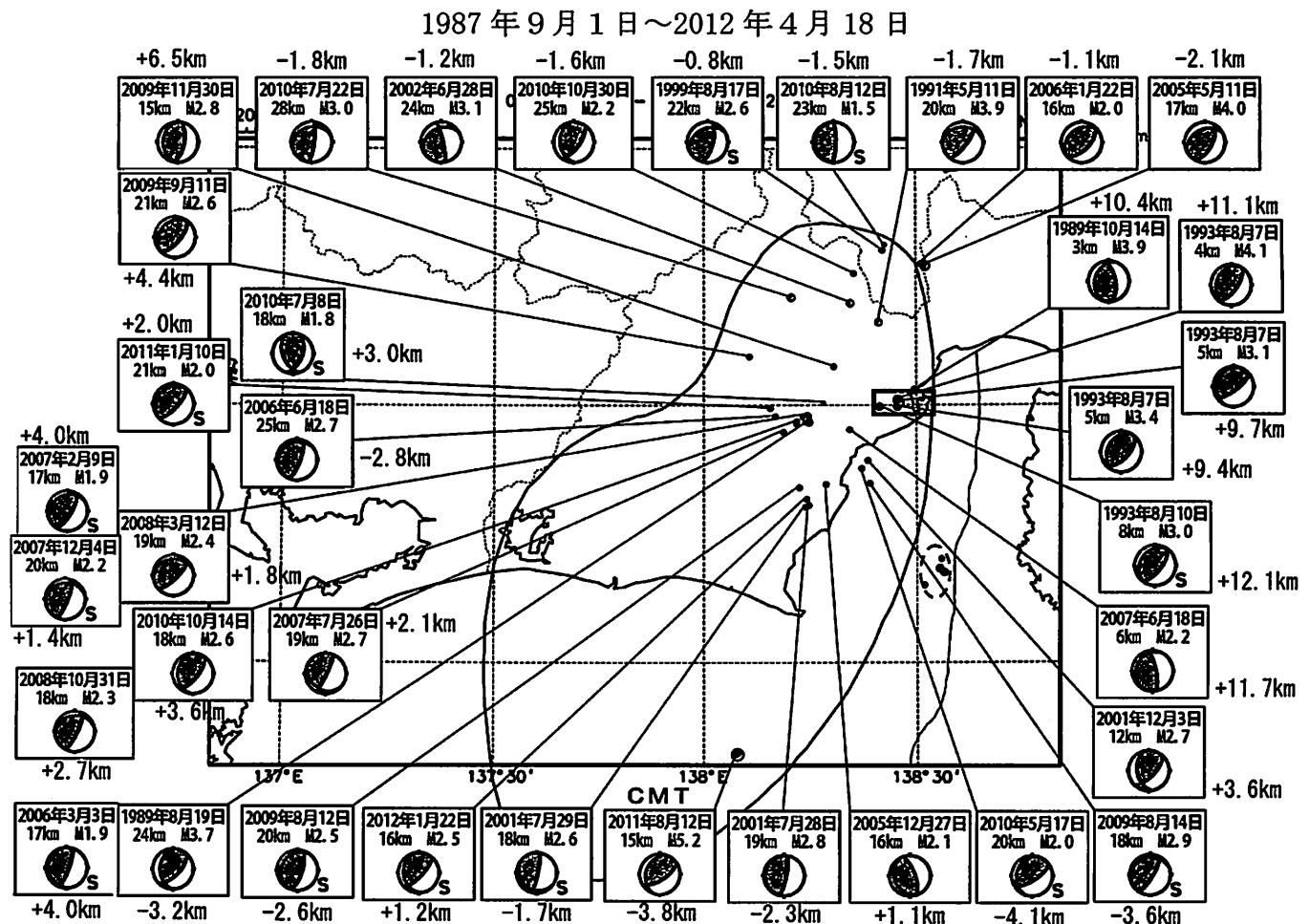
2002年10月1日～2012年4月18日



2002年10月以降(M≥0.5)で見ると、東海地域のプレート境界とその周辺の地震活動は、2007年中頃あたりからやや活発に見える。なお、2009年8月11日以降は、駿河湾の地震(M6.5)の余震活動の一部を抽出している。M3を超える地震については、その震央を矢印で示しているが、これらの地震の発震機構解は想定東海地震のものとは類似の型ではない。

気象庁作成

想定東海地震の発震機構解と類似の型の地震

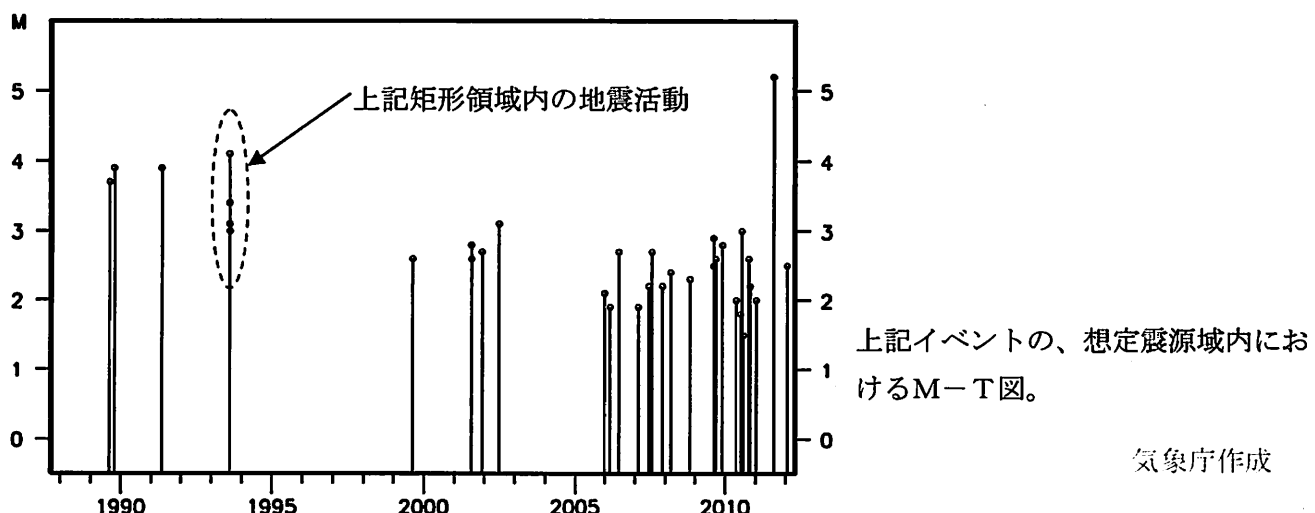


吹き出しの傍に書かれた値は、Hirose et al. (2008)によるプレート境界からの鉛直方向の距離。+はプレート境界より浅く、-は深いことを示す。

想定東海地震の発震機構解と類似の型の地震を抽出した。抽出条件は、P軸の傾斜角が45度以下、かつP軸の方位角が65度以上145度以下、かつT軸の傾斜角が45度以上、かつN軸の傾斜角が30度以下とした。

プレート境界で発生したと疑われる地震の他、明らかに地殻内またはスラブ内で発生したと推定される地震も含まれている。また、2009年までに発生した地震については、Nakamura et al. (2008)の3次元速度構造で震源とメカニズム解を再精査し、いくつかの地震は候補から削除されている。点線楕円で囲まれた地震は、2011年8月1日に発生したM6.2の地震の余震で、フィリピン海プレート内の地震である。

なお、吹き出し図中、震源球右下隣りにSの表示があるものは、発震機構解に十分な精度がない。



気象庁作成

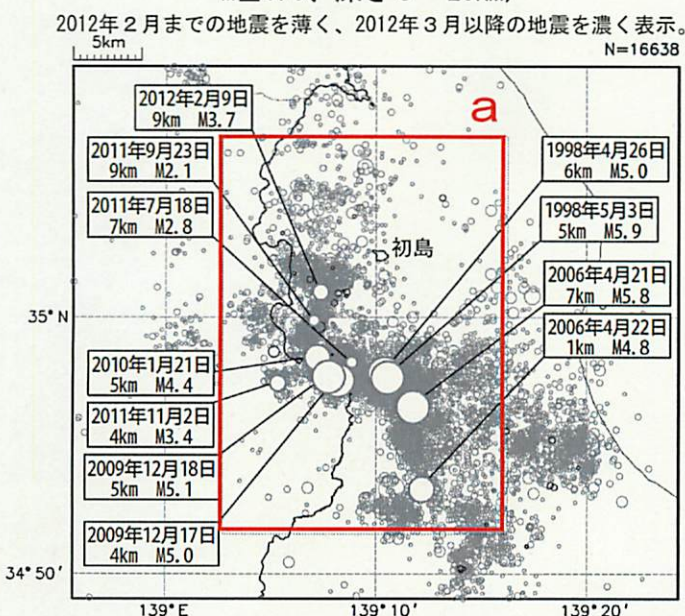
3月～4月 伊豆東部※の活動

※ 「伊豆東部の地震活動に関する情報」で対象としている領域

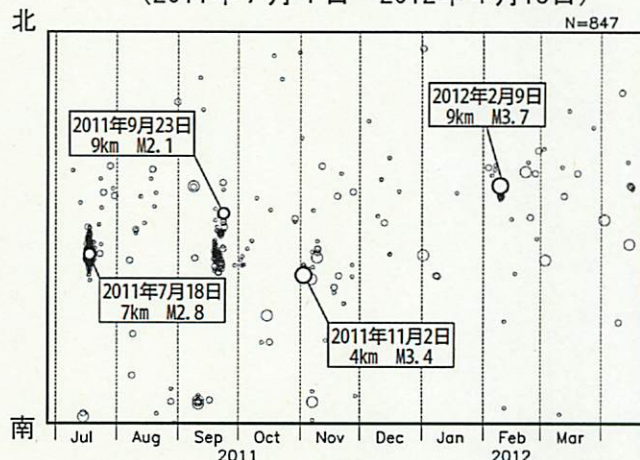
2012年3月以降、特に目立った地震活動はなかった。

3月下旬～4月下旬にかけて、伊豆東部の体積ひずみ計（東伊豆奈良本）及び傾斜計（伊東猪山、岡、徳永、吉田）では、東伊豆奈良本で雨による変化が見られる以外に、目立った変化は観測されていない。

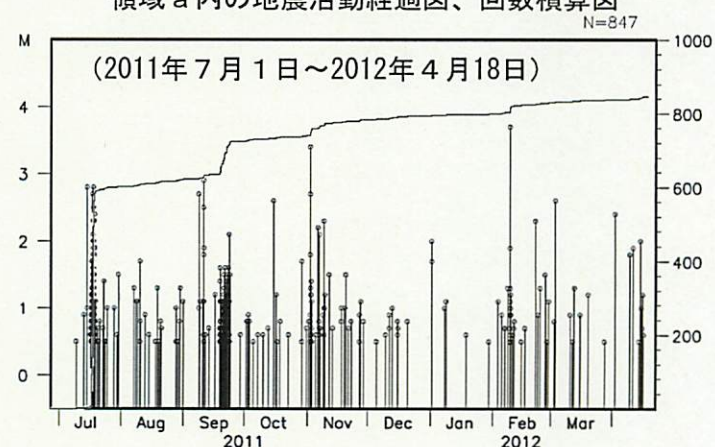
震央分布図（1997年10月1日～2012年4月18日、 $M \geq 0.5$ 、深さ0～20km）



領域a内の時空間分布図（南北投影）
(2011年7月1日～2012年4月18日)

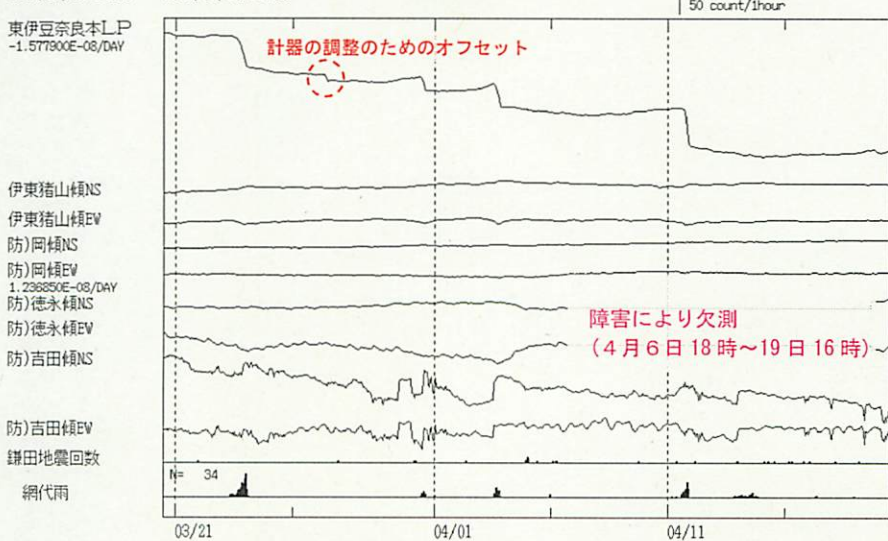


領域a内の地震活動経過図、回数積算図



東伊豆地域の体積ひずみ計・傾斜計の記録
(2012年3月20日11時～4月20日11時)

体積ひずみ・傾斜（気圧・潮汐補正；時間値）伊豆東部
2012/03/20 11:00 — 2012/04/20 11:00



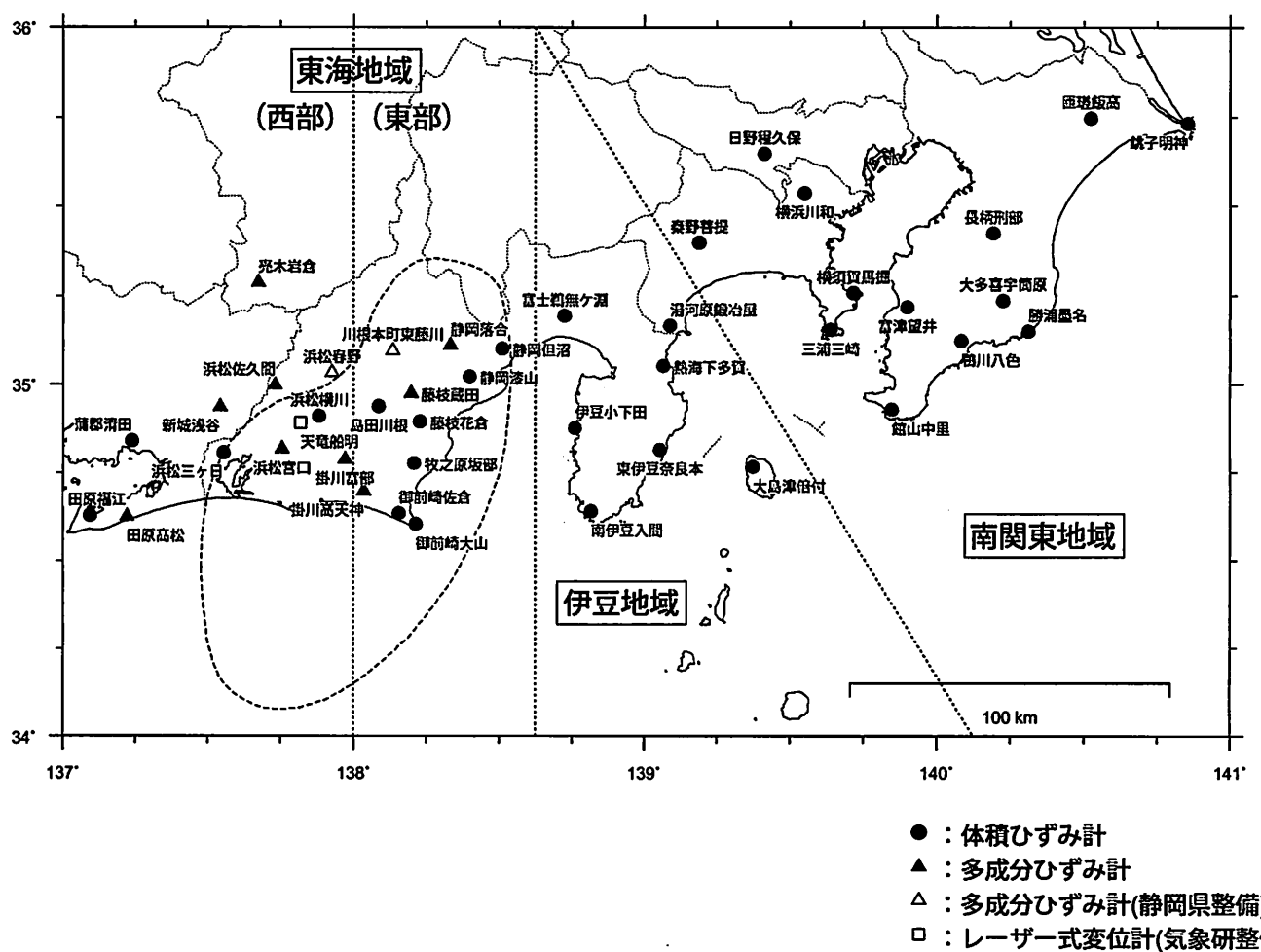
防)は独立行政法人防災科学技術研究所の観測点である。

ひずみ計による観測結果(2011年10月1日～2012年4月19日)

短期的ゆっくり滑りに起因すると見られる次の地殻変動がひずみ計観測網で観測された。

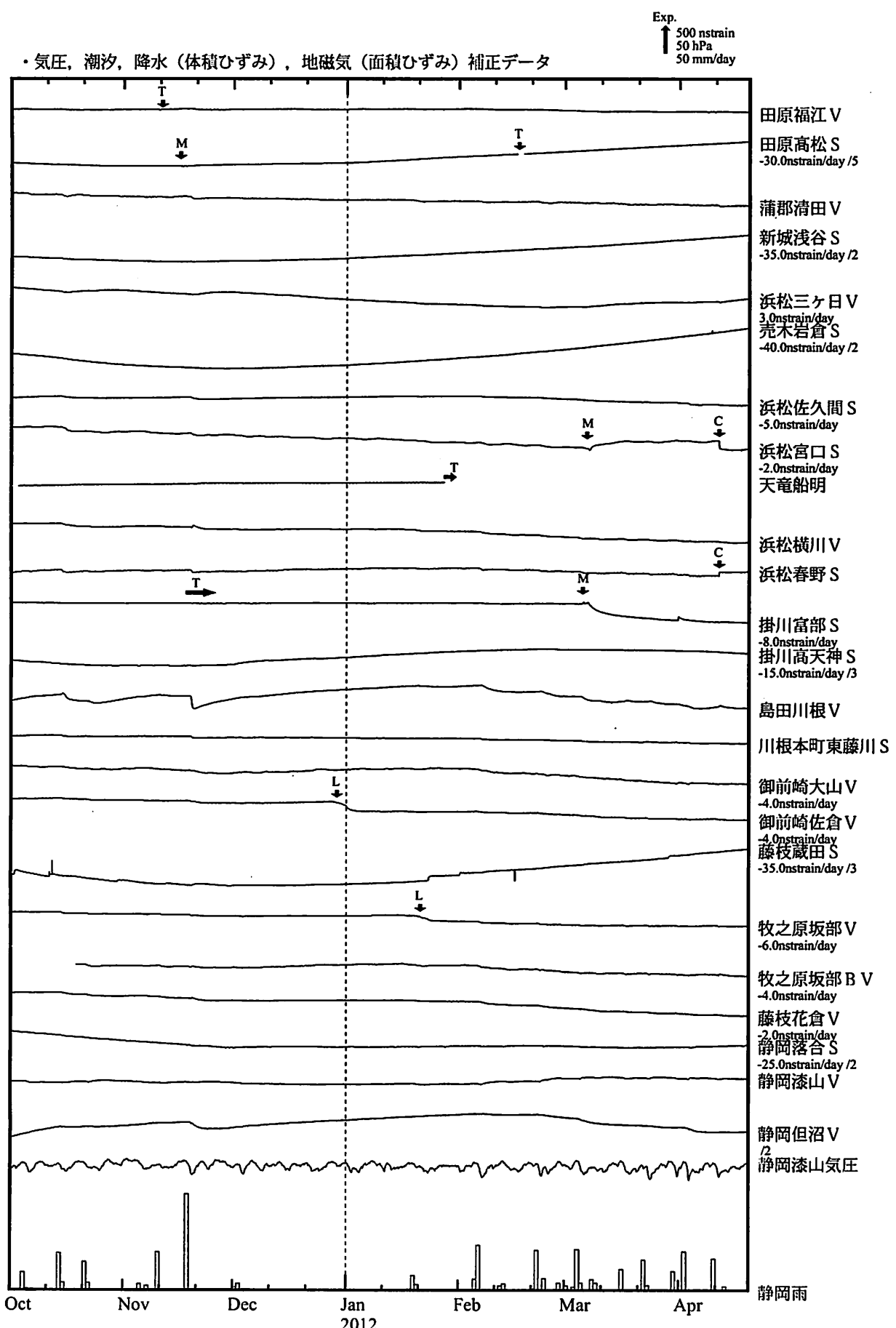
SSE1 : 2012年3月23日頃から28日頃にかけて観測された。(第311回地震防災対策強化地域判定会資料参照)

ひずみ計の配置図



気象庁作成

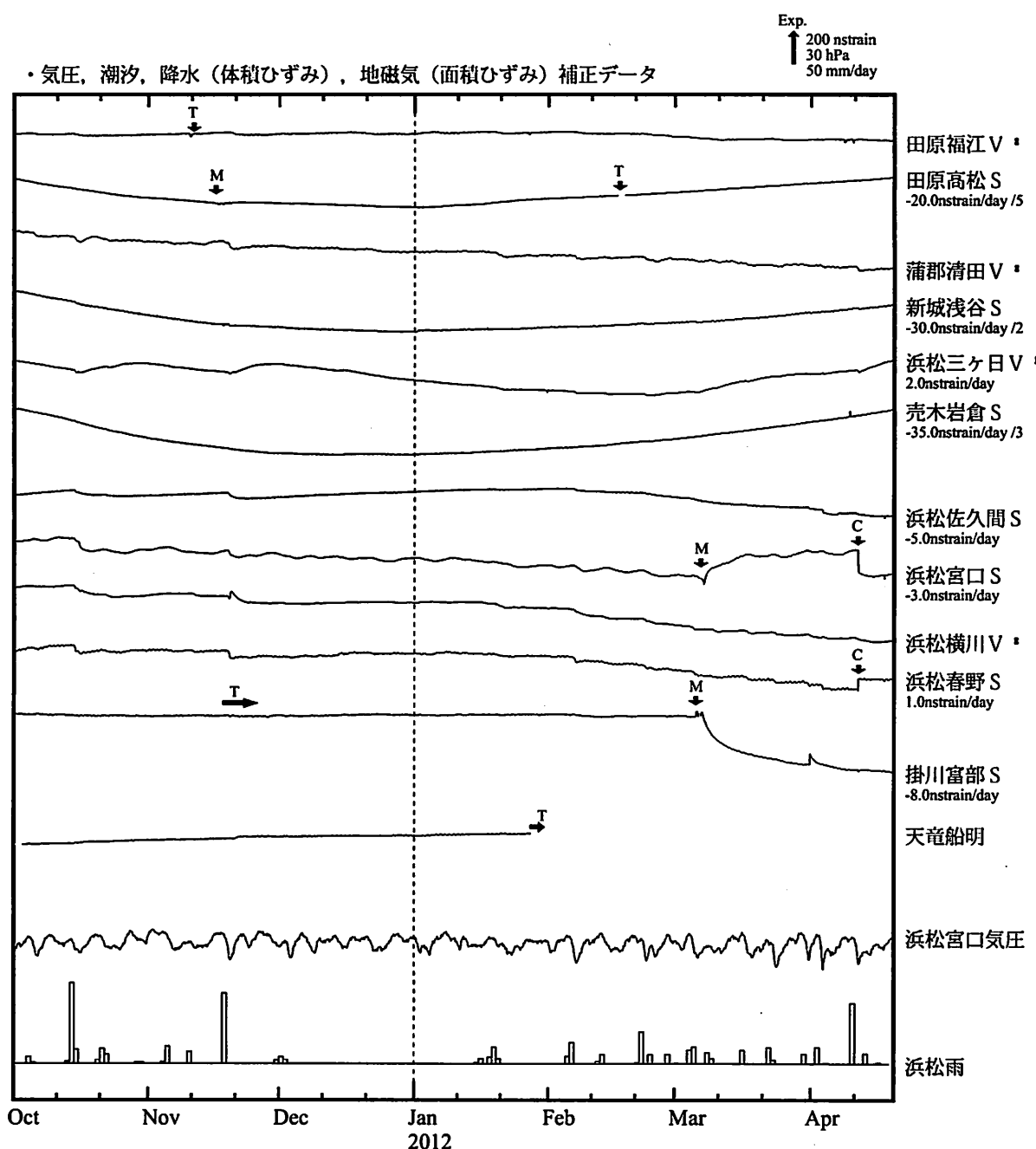
ひずみ変化 時間値（東海地域）



※ C: 地震に伴うコサイスミックなステップ状の変化,L: 局所的な変化,S: 例年見られる変化,M: 調整,T: 障害

気象庁作成

ひずみ変化 時間値（東海地域（西部））



※観測点名の右側のスケールは、平常時に1日間で変動し得る最大の変化の幅(ノイズレベル)を示す。

※記号Vは体積ひずみを、Sは多成分ひずみ計で観測した線ひずみより計算した面積ひずみを示す。

※天竜船明（気象研究所整備）は、レーザー式変位計におけるひずみ変化を示す。

※田原福江は、地下水の汲み上げに伴うひずみ変化を補正している。

・特記事項なし。

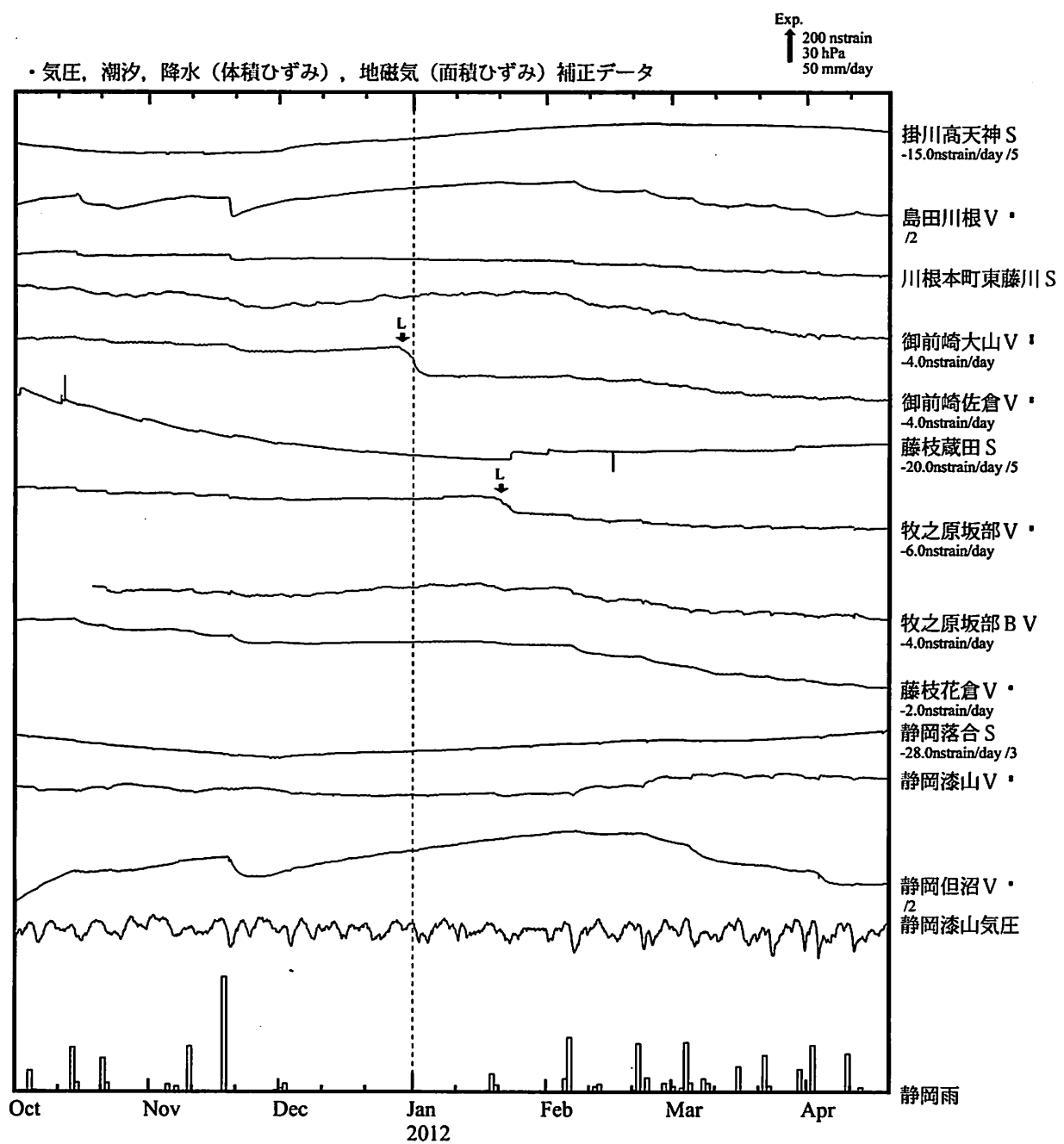
表示観測点の名称

- C : 地震に伴うコサイスマイクなステップ状の変化
- L : 局所的な変化
- S : 例年見られる変化
- M : 調整
- T : 障害

田原福江	たはらふくえ
田原高松	たはらたかまつ
蒲郡清田	がまごおりせいだ
新城浅谷	しんしろあさや
浜松三ヶ日	はままつみっかび
壹木岩倉	うるぎいわくら
浜松佐久間	はままつさくま
浜松宮口	はままつみやぐち
浜松横川	はままつよこかわ
浜松春野	はままつはるの
掛川富部	かけがわとんべ
天竜船明	てんりゅうふなぎら

気象庁作成

ひずみ変化 時間値（東海地域（東部））



※観測点名の右側のスケールは、平常時に1日間で変動し得る最大の変化の幅(ノイズレベル)を示す。

※記号Vは体積ひずみを、Sは多成分ひずみ計で観測した線ひずみより計算した面積ひずみを示す。

・特記事項なし。

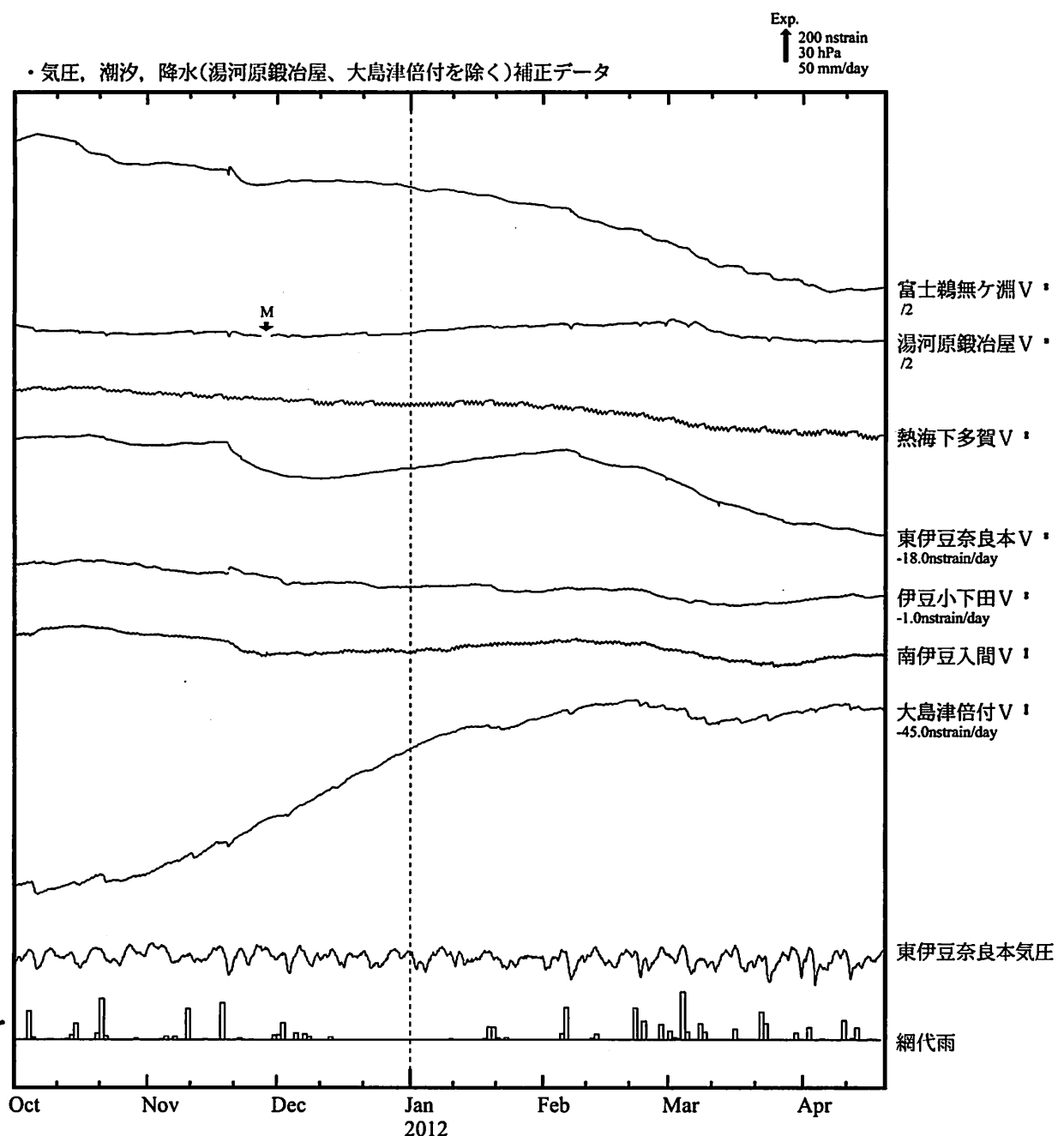
- C : 地震に伴うコサイスマイクなステップ状の変化
- L : 局所的な変化
- S : 例年見られる変化
- M : 調整
- T : 障害

表示観測点の名称

掛川高天神	かけがわたかてんじん
島田川根	しまだかわね
川根本町東藤川	かわねほんちょう ひがしふじかわ
御前崎大山	おまえざきおおやま
御前崎佐倉	おまえざきさくら
藤枝蔵田	ふじえだくらた
牧之原坂部	まきのはらさかべ
藤枝花倉	ふじえだはなくら
静岡落合	しづおかおちあい
静岡漆山	しづおかうるしやま
静岡但沼	しづおかただぬま

気象庁作成

ひずみ変化 時間値（伊豆地域）



※観測点名の右側のスケールは、平常時に1日間で変動し得る最大の変化の幅(ノイズレベル)を示す。

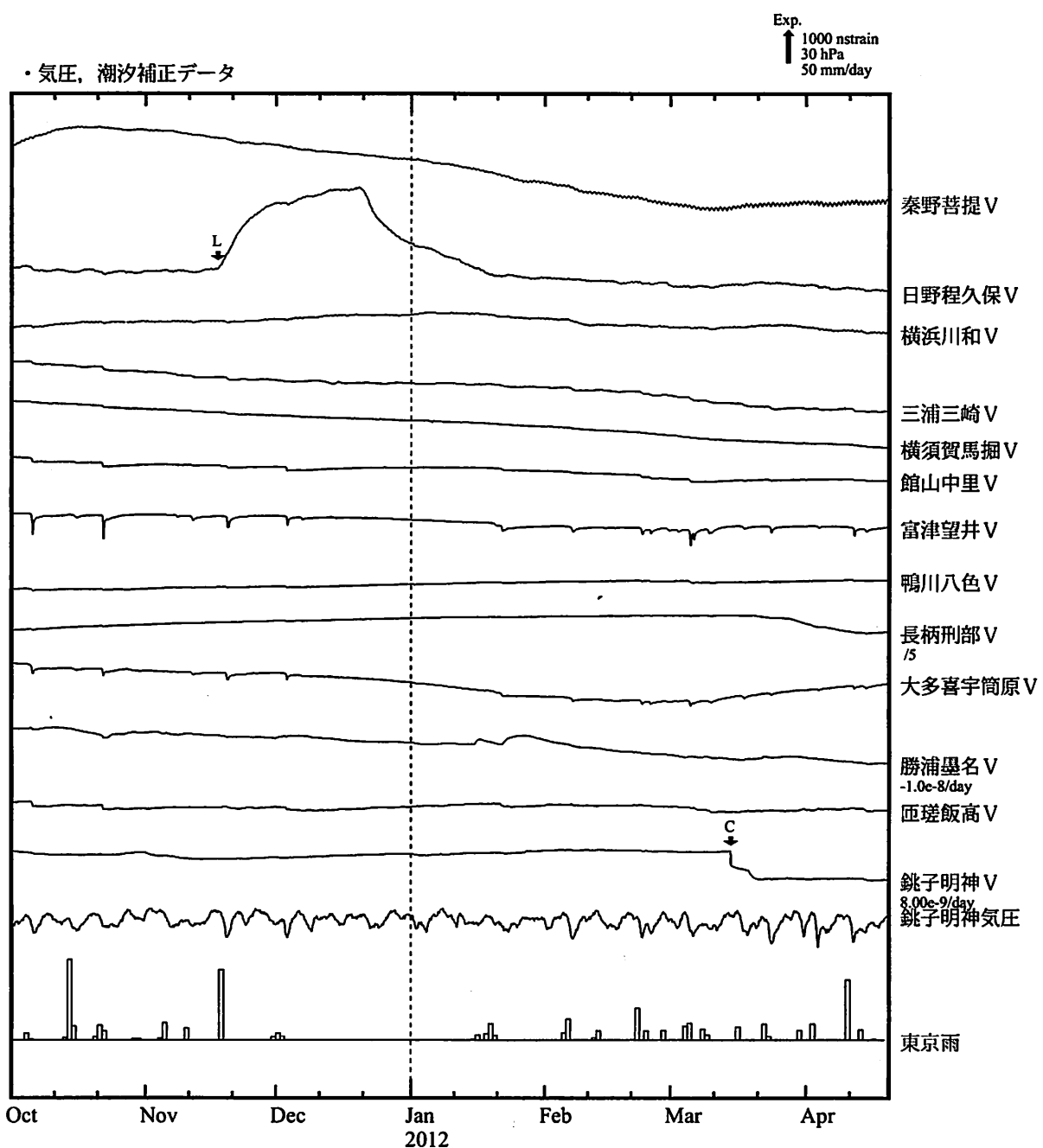
・特記事項なし。

表示観測点の名称

- C : 地震に伴うコサイスマイクなステップ状の変化
- L : 局所的な変化
- S : 例年見られる変化
- M : 調整
- T : 障害

富士鶴無ヶ淵	ふじうないがふち
湯河原鍛冶屋	ゆがわらかじや
热海下多賀	あたみしもたが
東伊豆奈良本	ひがしいずならもと
伊豆小下田	いづこしもだ
南伊豆入間	みなみいづいるま
大島津倍付	おおしまつばいつき

ひずみ変化 時間値（南関東地域）



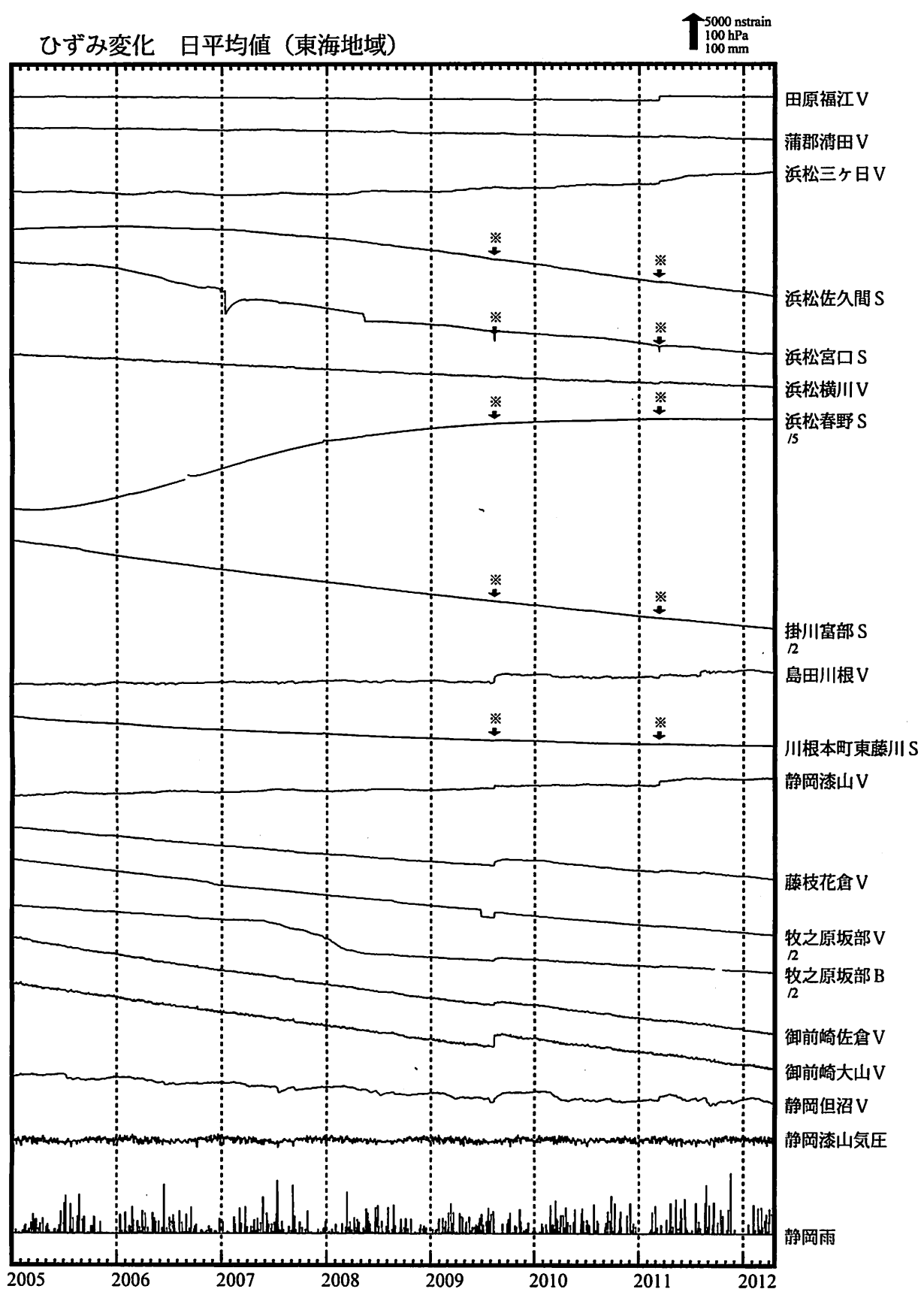
※観測点名の右側のスケールは、平常時に1日間で変動し得る最大の変化の幅(ノイズレベル)を示す。

表示観測点の名称

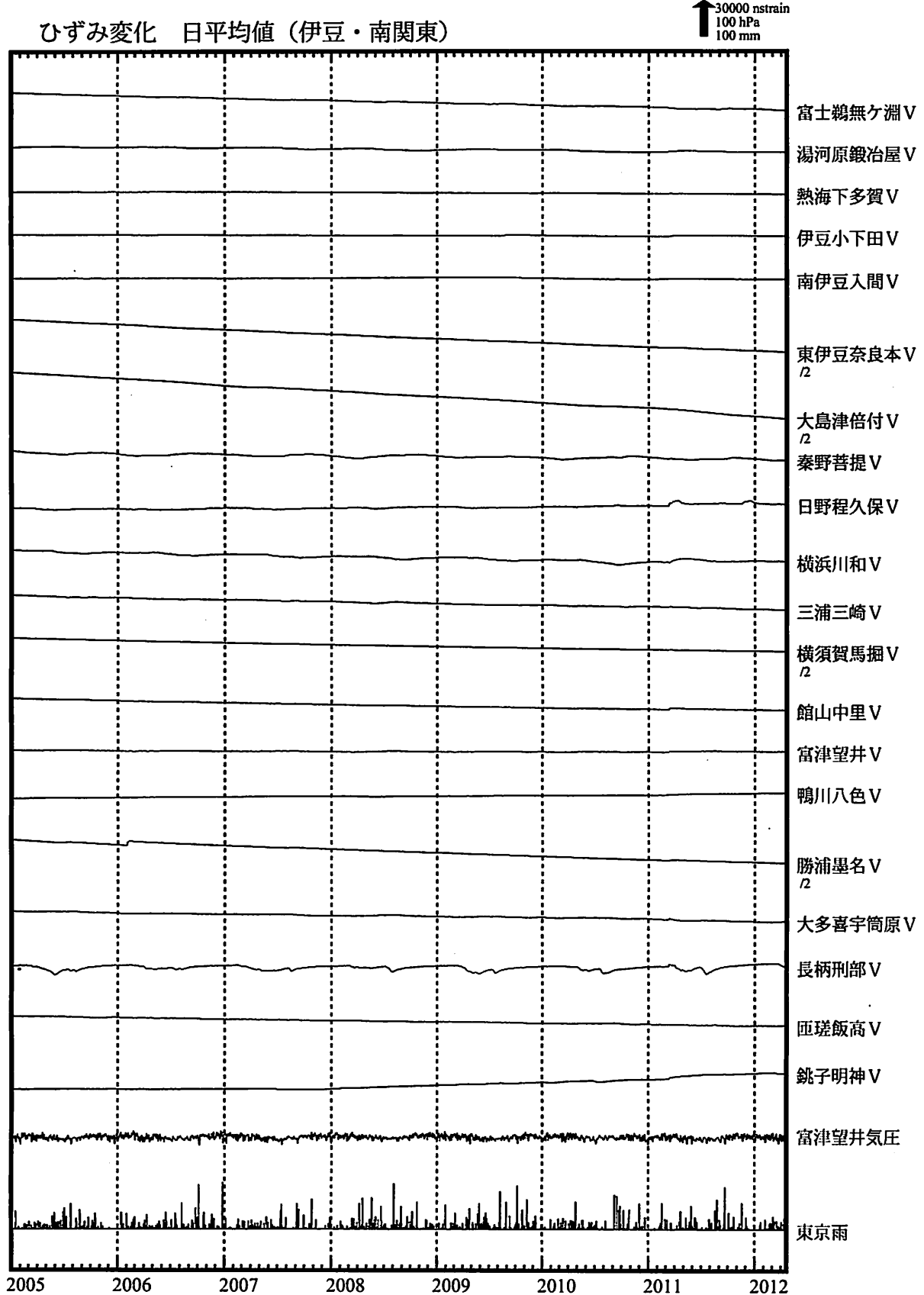
・特記事項なし。

- C : 地震に伴うコサイスミックなステップ状の変化
- L : 局所的な変化
- S : 例年見られる変化
- M : 調整
- T : 障害

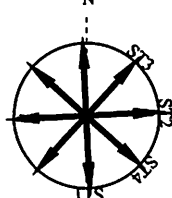
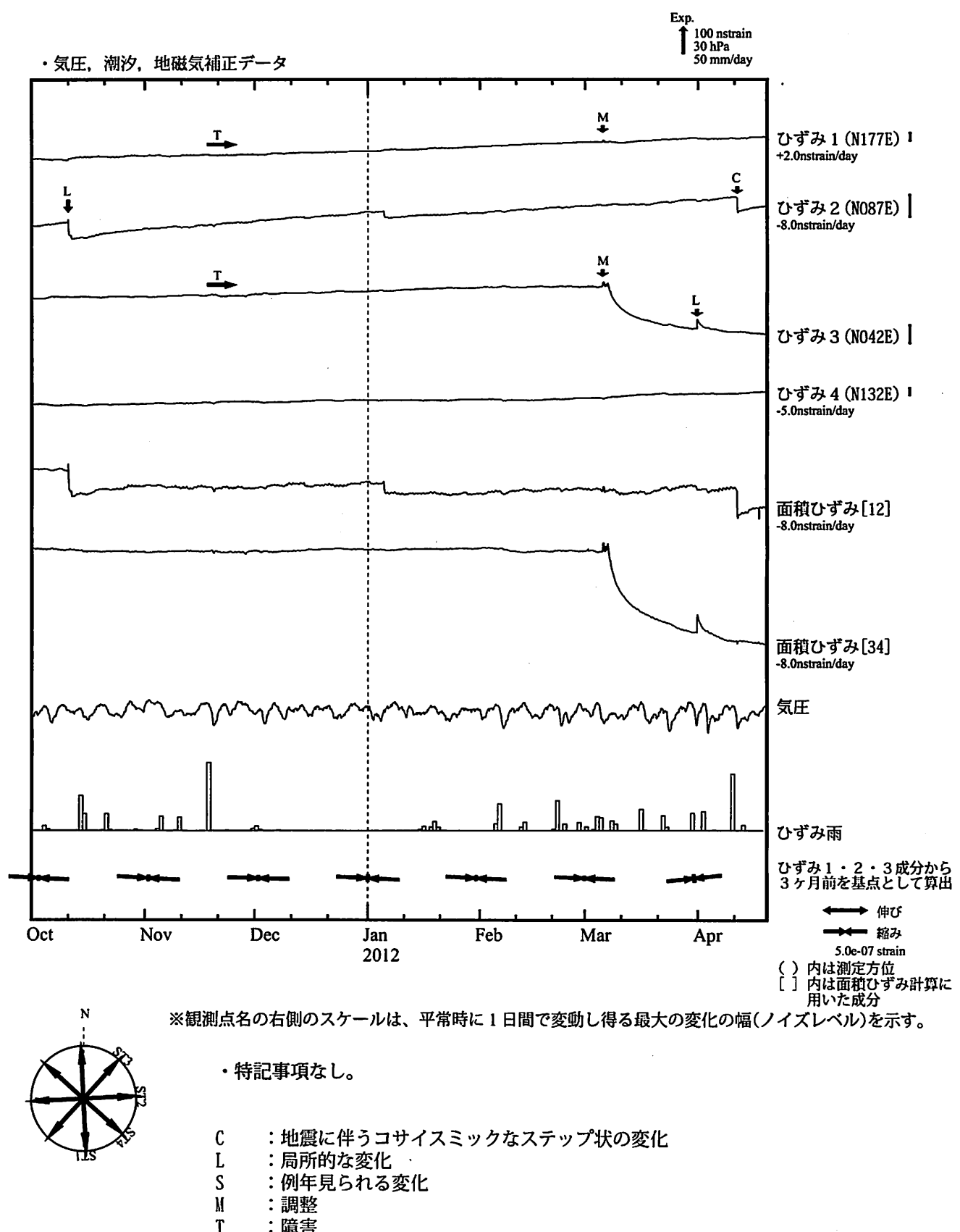
秦野菩提	はだのぼだい
日野程久保	ひのほどくぼ
横浜川和	よこはまかわわ
三浦三崎	みうらみさき
横須賀馬堀	よこすかまほり
館山中里	たてやまなかざと
富津望井	ふつむちい
鴨川八色	かもがわやいろ
長柄刑部	ながらおさかべ
大多喜宇筒原	おおたきうとうばら
勝浦墨名	かつうらとな
匝瑳飯高	そうさいいだか
銚子明神	ちょうしみょうじん



*面積ひずみは、東海道沖（紀伊半島南東沖）の地震、駿河湾の地震および東北地方太平洋沖地震に伴う
コサイスミックなステップを除外して計算している。



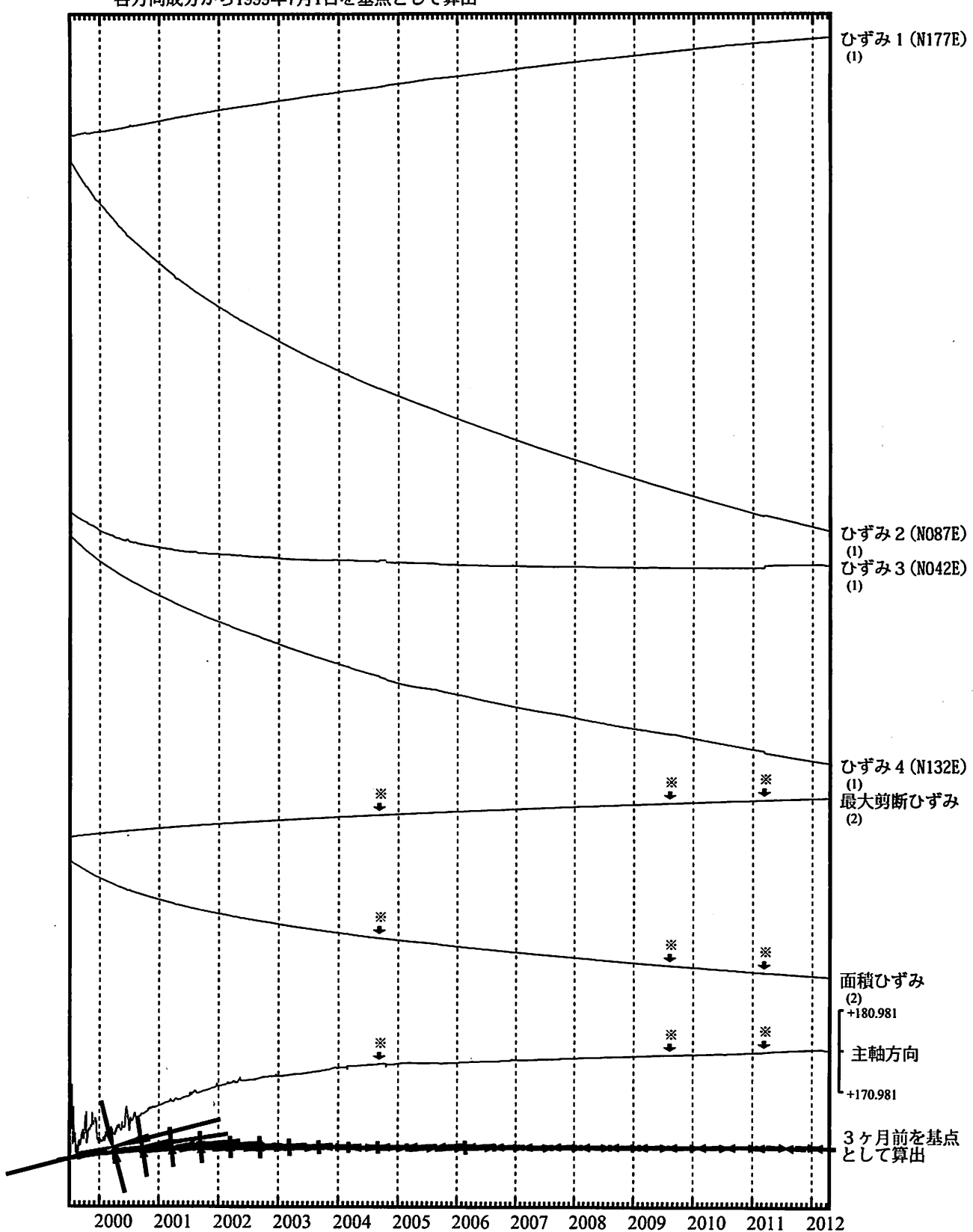
掛川富部（かけがわとんべ）ひずみ変化 時間値



掛川富部ひずみ変化 日値

・最大剪断ひずみ、面積ひずみおよび主軸方向はひずみ1、2、3の各方向成分から1999年7月1日を基点として算出

Exp.
↑ 5000 nstrain (1)
20000 nstrain (2)

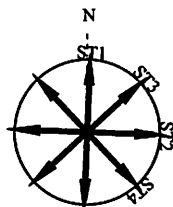
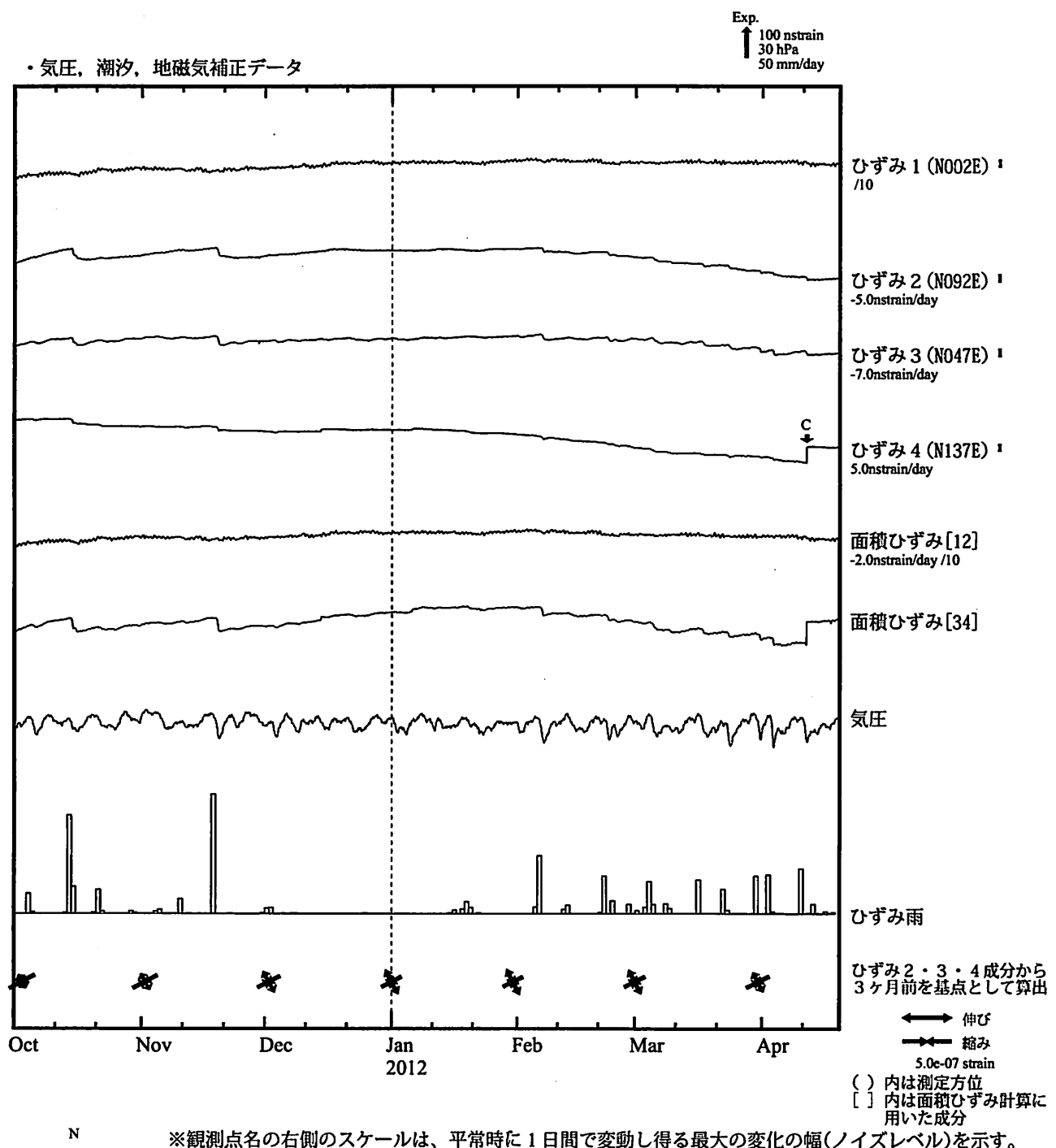


*各成分の括弧付き数字はスケールの番号に対応
※最大剪断ひずみ、面積ひずみおよび主軸方向は、東海道沖（紀伊半島南東沖）の地震、駿河湾の地震および東北地方太平洋沖地震に伴うコサイスミックなステップを除去して計算している。
1.0e-06 strain

← 伸び
→ 縮み

気象庁作成

浜松春野（はままつはるの）ひずみ変化 時間値



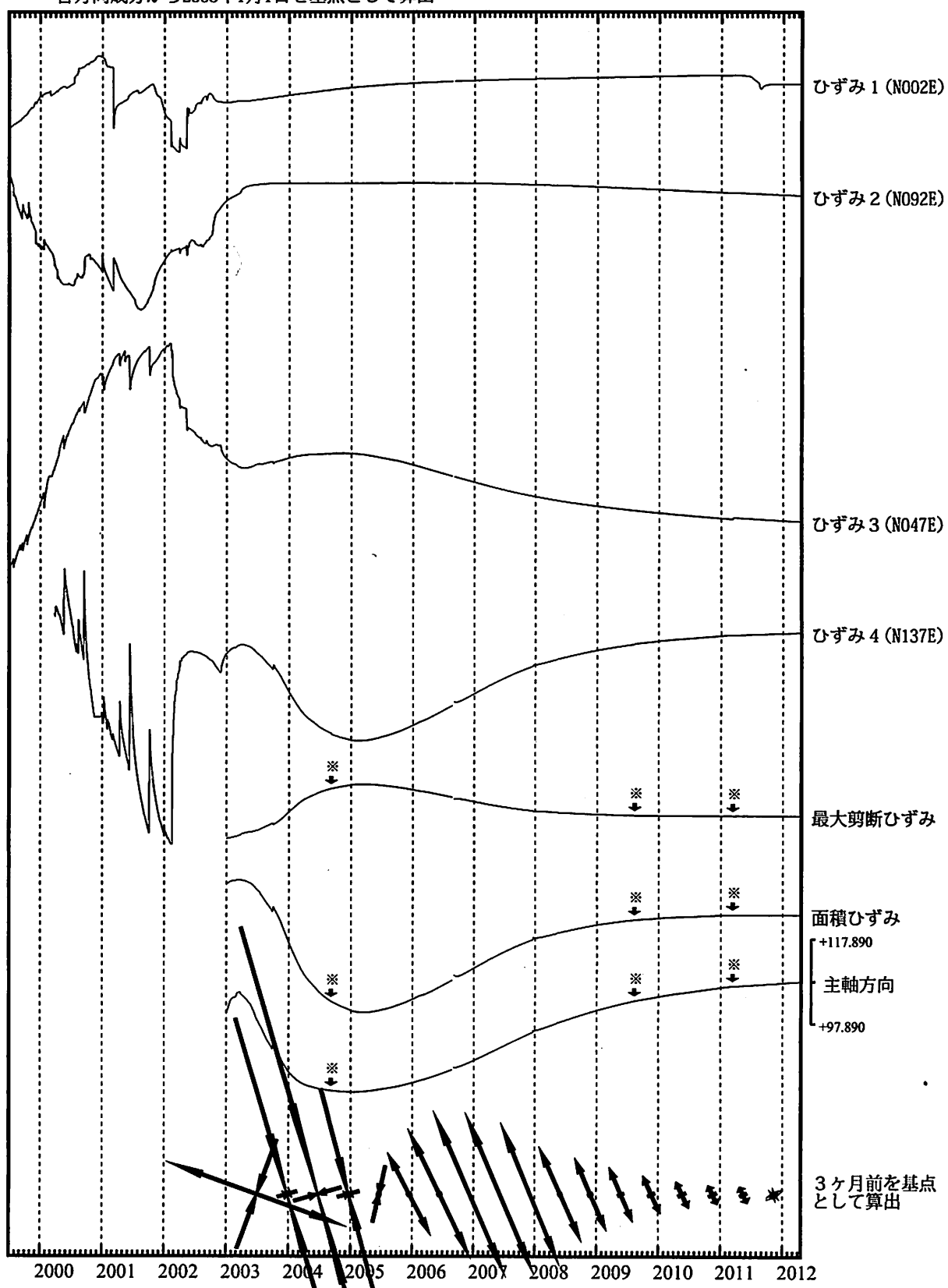
- C : 地震に伴うコサイスマイクなステップ状の変化
- L : 局所的な変化
- S : 例年見られる変化
- M : 調整
- T : 障害

気象庁作成

浜松春野ひずみ変化 日値

・最大剪断ひずみ、面積ひずみおよび主軸方向はひずみ2、3、4の各方向成分から2003年1月1日を基点として算出

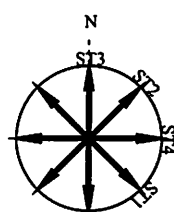
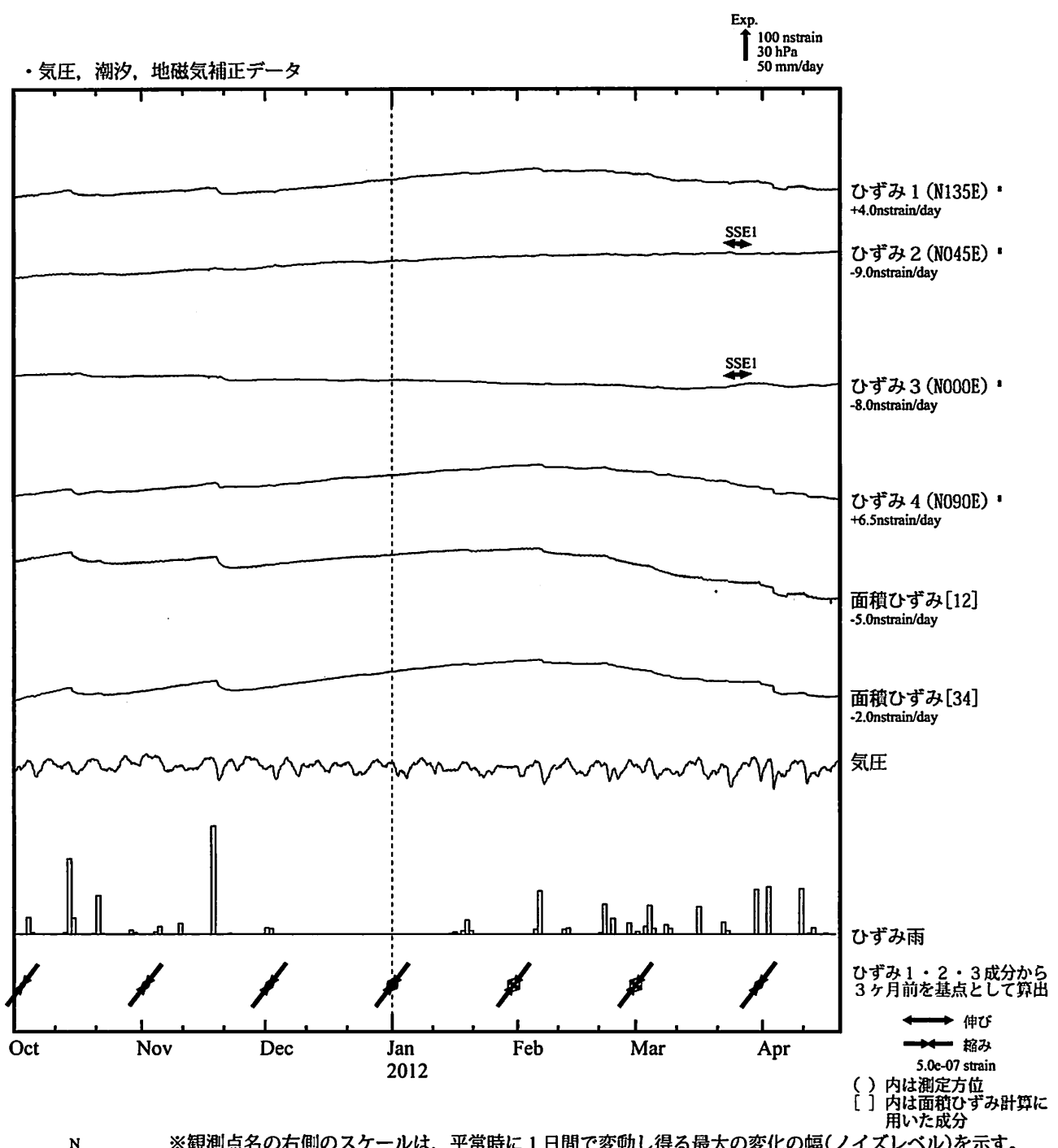
Exp.
↑ 20000 nstrain



※最大剪断ひずみ、面積ひずみおよび主軸方向は、東海道沖（紀伊半島南東沖）の地震、駿河湾の地震および東北地方太平洋沖地震に伴うコサイスミックなステップを除去して計算している。

気象庁作成

浜松佐久間（はままつさくま）ひずみ変化 時間値



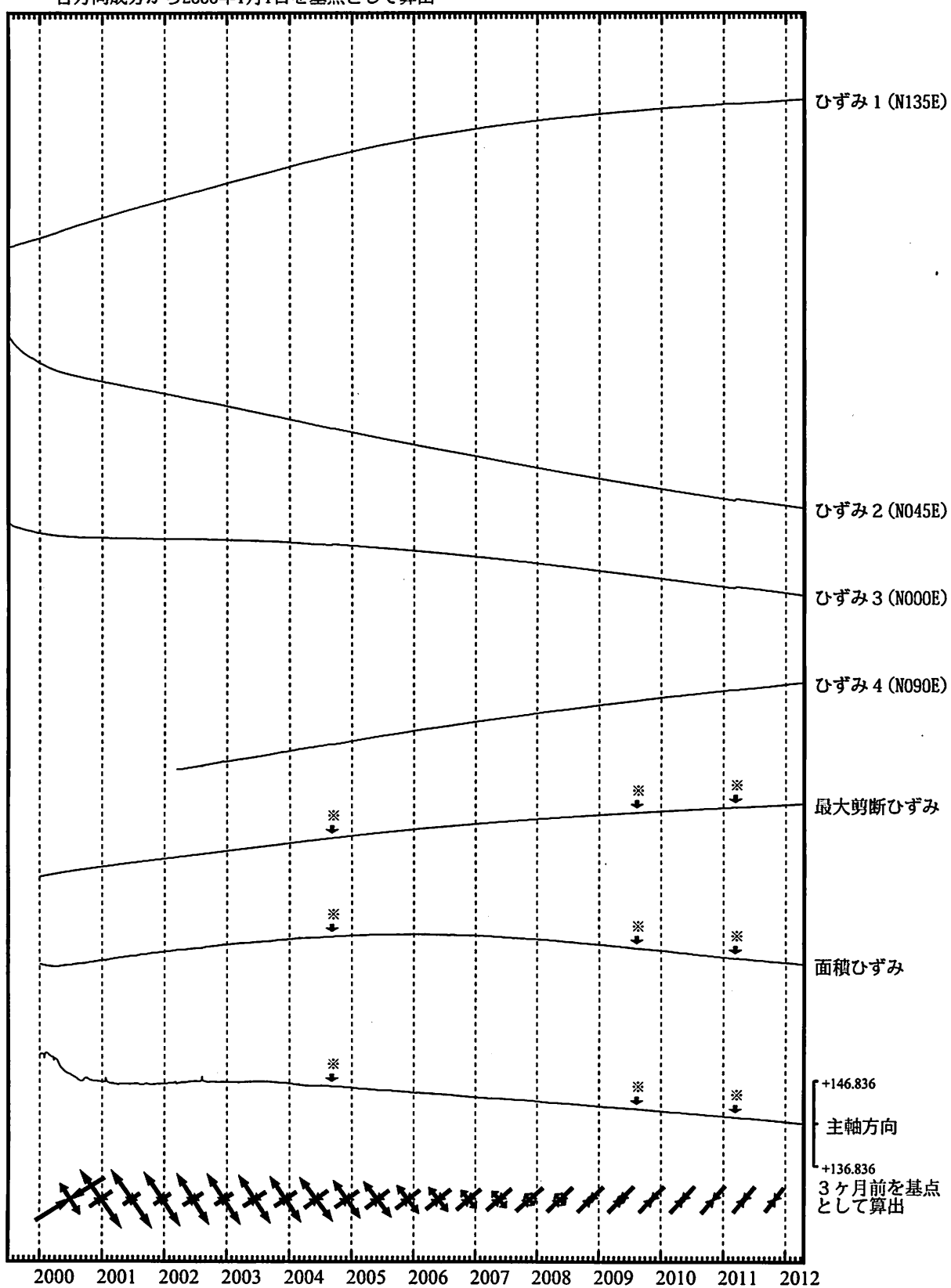
SSE1 : 短期的ゆっくり滑り 2012.03.23-03.28

- C : 地震に伴うコサイスマイクなステップ状の変化
- L : 局所的な変化
- S : 例年見られる変化
- M : 調整
- T : 障害

浜松佐久間ひずみ変化（日値）

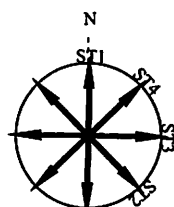
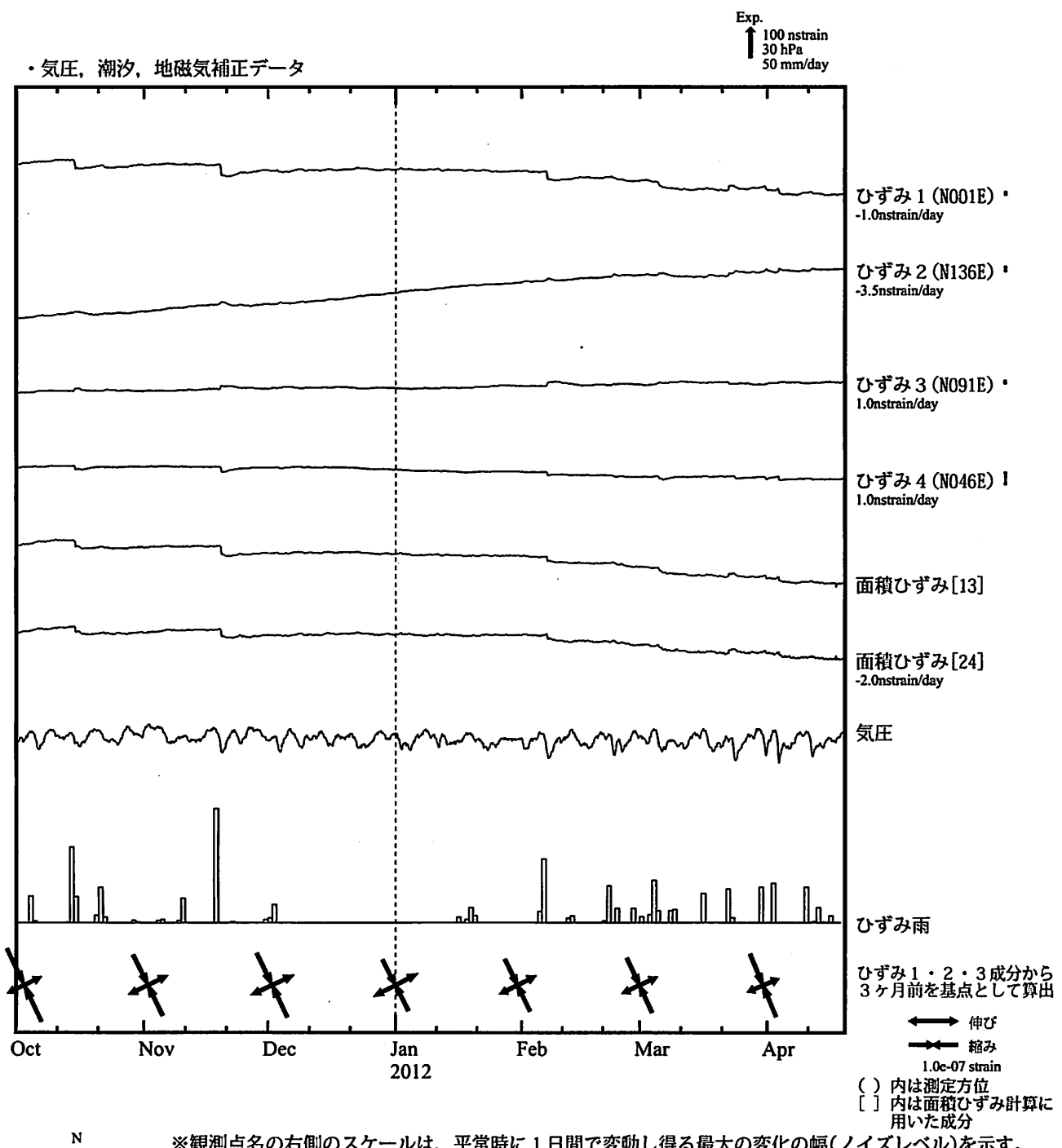
・最大剪断ひずみ、面積ひずみおよび主軸方向はひずみ1、2、3の各方向成分から2000年1月1日を基点として算出

Exp.
↑ 10000 nstrain



※最大剪断ひずみ、面積ひずみおよび主軸方向は、東海道沖（紀伊半島南東沖）の地震、駿河湾の地震および東北地方太平洋沖地震に伴うコサイスマックなステップを除去して計算している。 1.0×10^{-6} strain

川根本町東藤川（かわねほんちょうひがしふじかわ）ひずみ変化 時間値



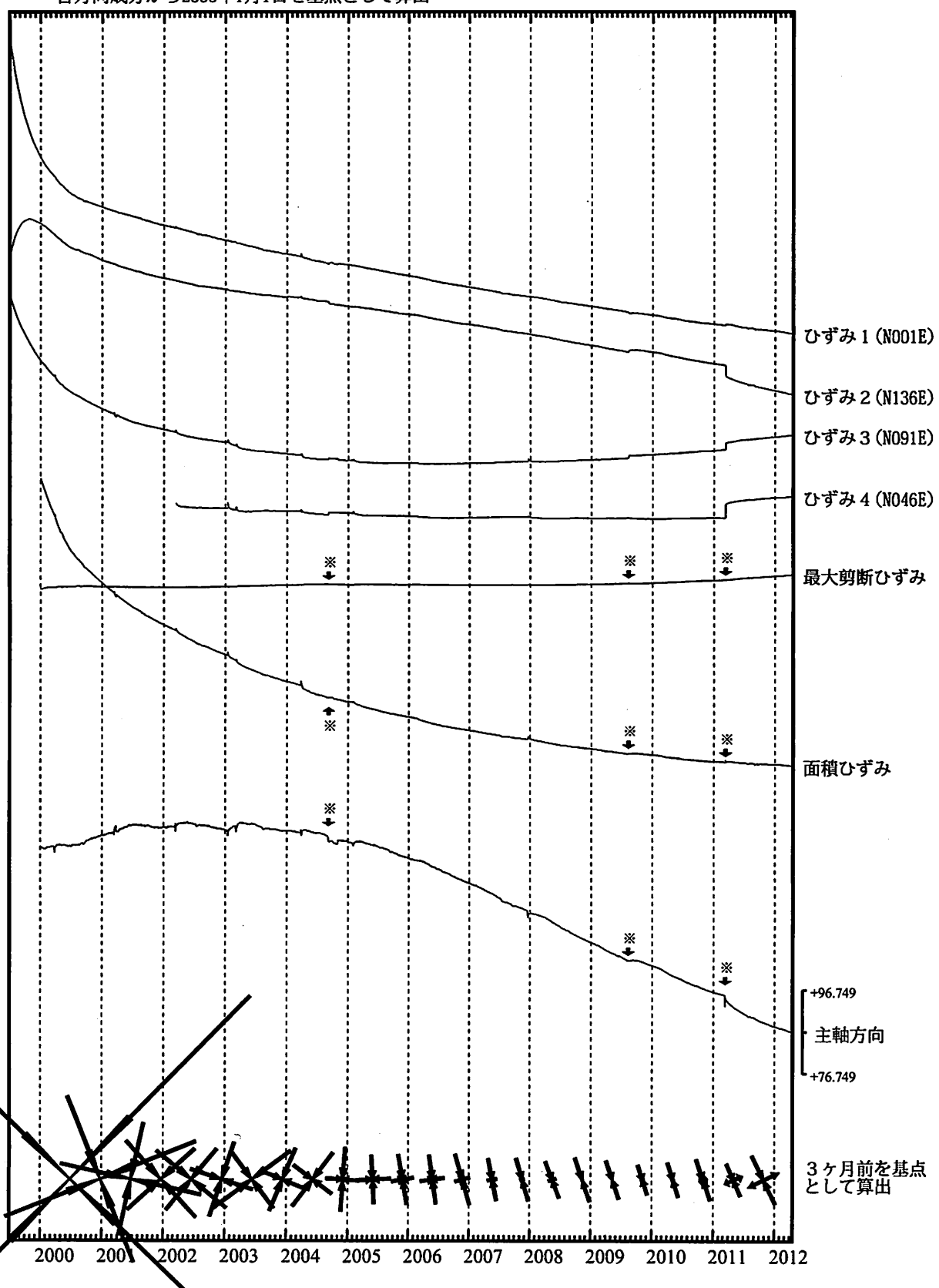
• 特記事項なし。

- C : 地震に伴うコサイスマイクなステップ状の変化
- L : 局所的な変化
- S : 例年見られる変化
- M : 調整
- T : 障害

川根本町東藤川ひずみ変化 日値

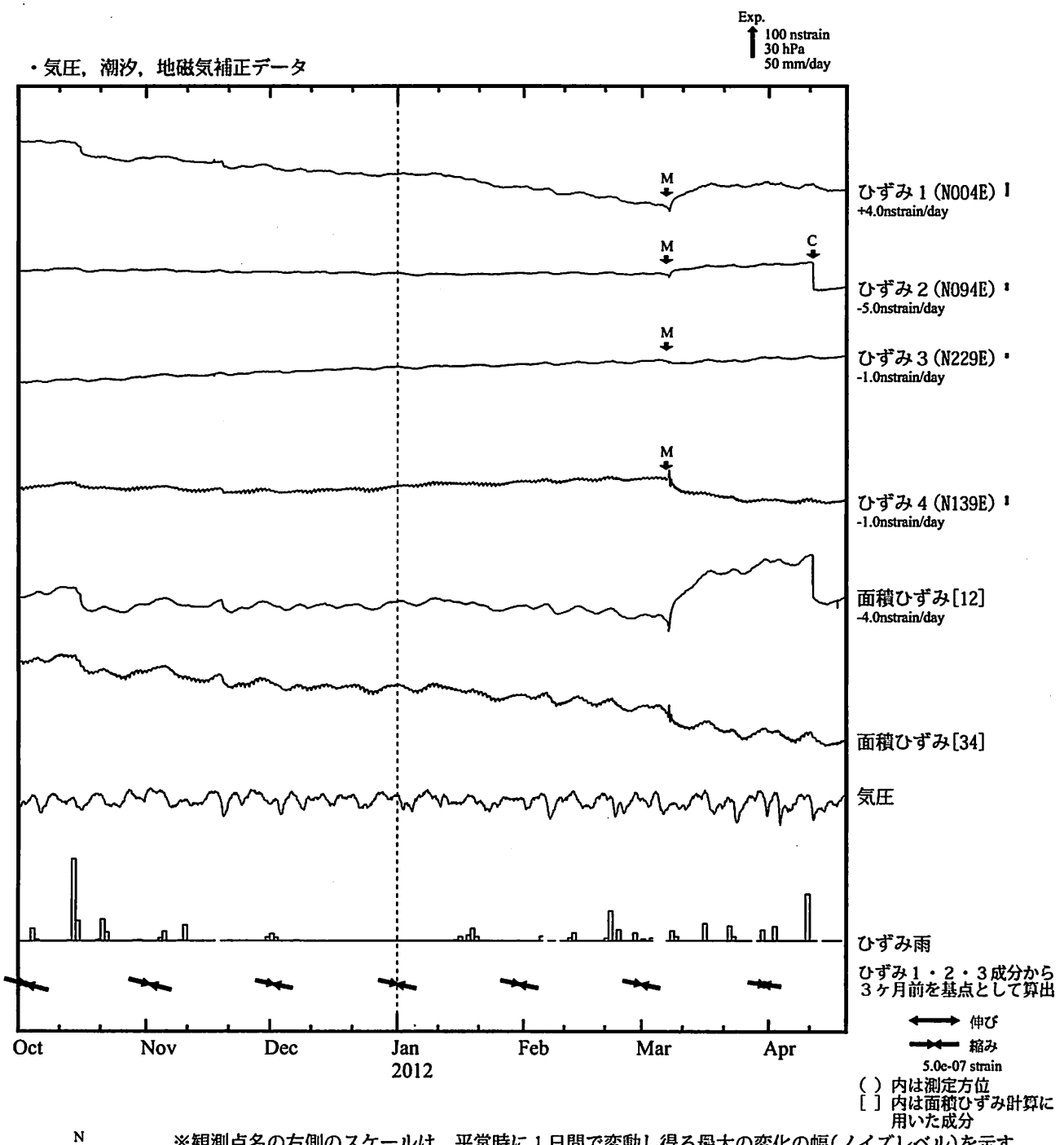
・最大剪断ひずみおよび面積ひずみはひずみ1、2、3の各方向成分から2000年1月1日を基点として算出

Exp.
↑ 2000 nstrain

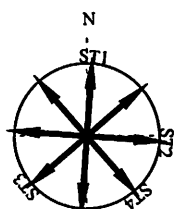


*最大剪断ひずみ、面積ひずみおよび主軸方向は、東海道沖（紀伊半島南東沖）の地震、駿河湾の地震および東北地方太平洋沖地震に伴うコサイスミックなステップを除去して計算している。

浜松宮口（はままつみやぐち）ひずみ変化 時間値



※観測点名の右側のスケールは、平常時に1日間で変動し得る最大の変化の幅(ノイズレベル)を示す。

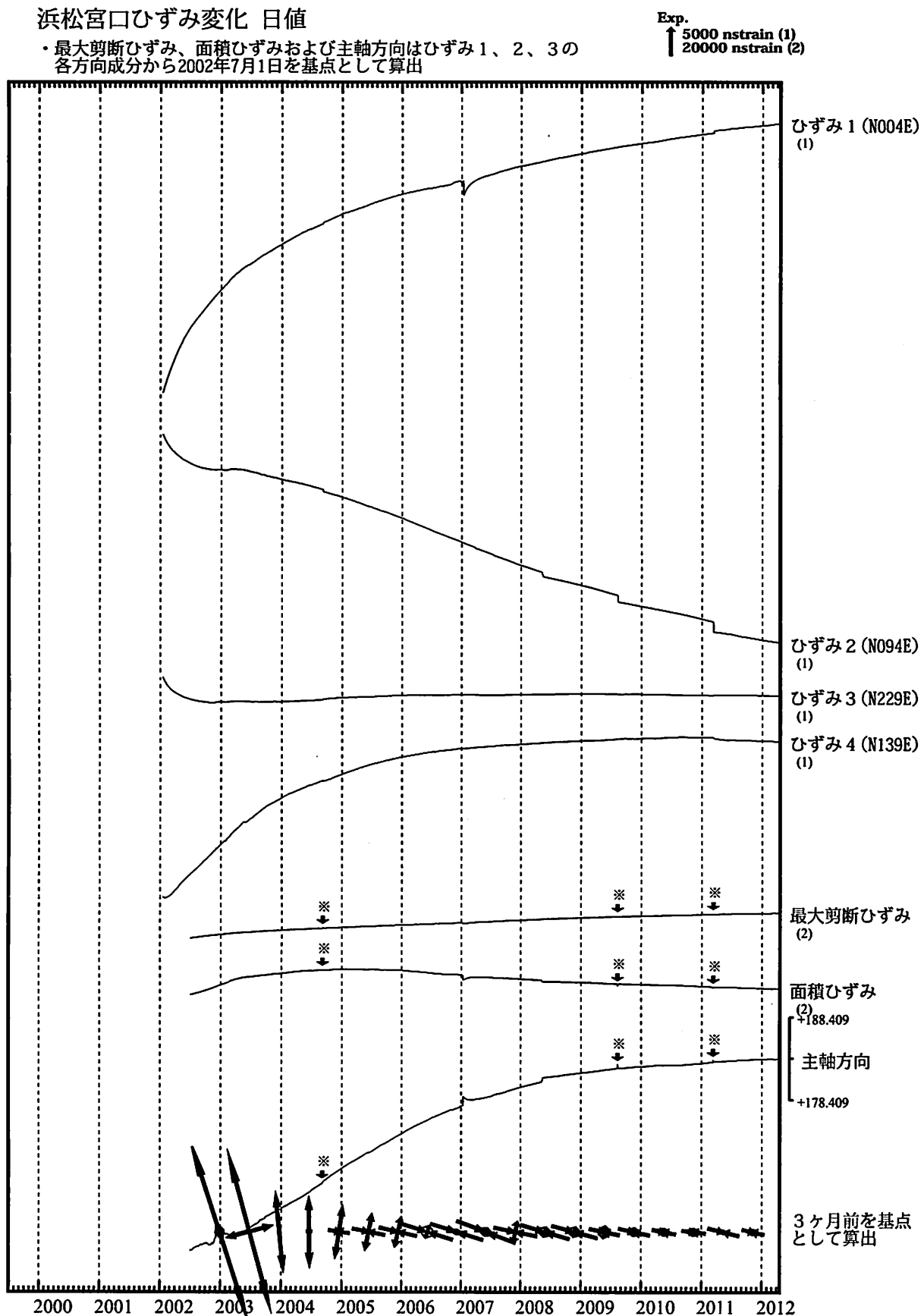


・特記事項なし。

- C : 地震に伴うコサイスマイクなステップ状の変化
- L : 局所的な変化
- S : 例年見られる変化
- M : 調整
- T : 障害

浜松宮口ひずみ変化 日値

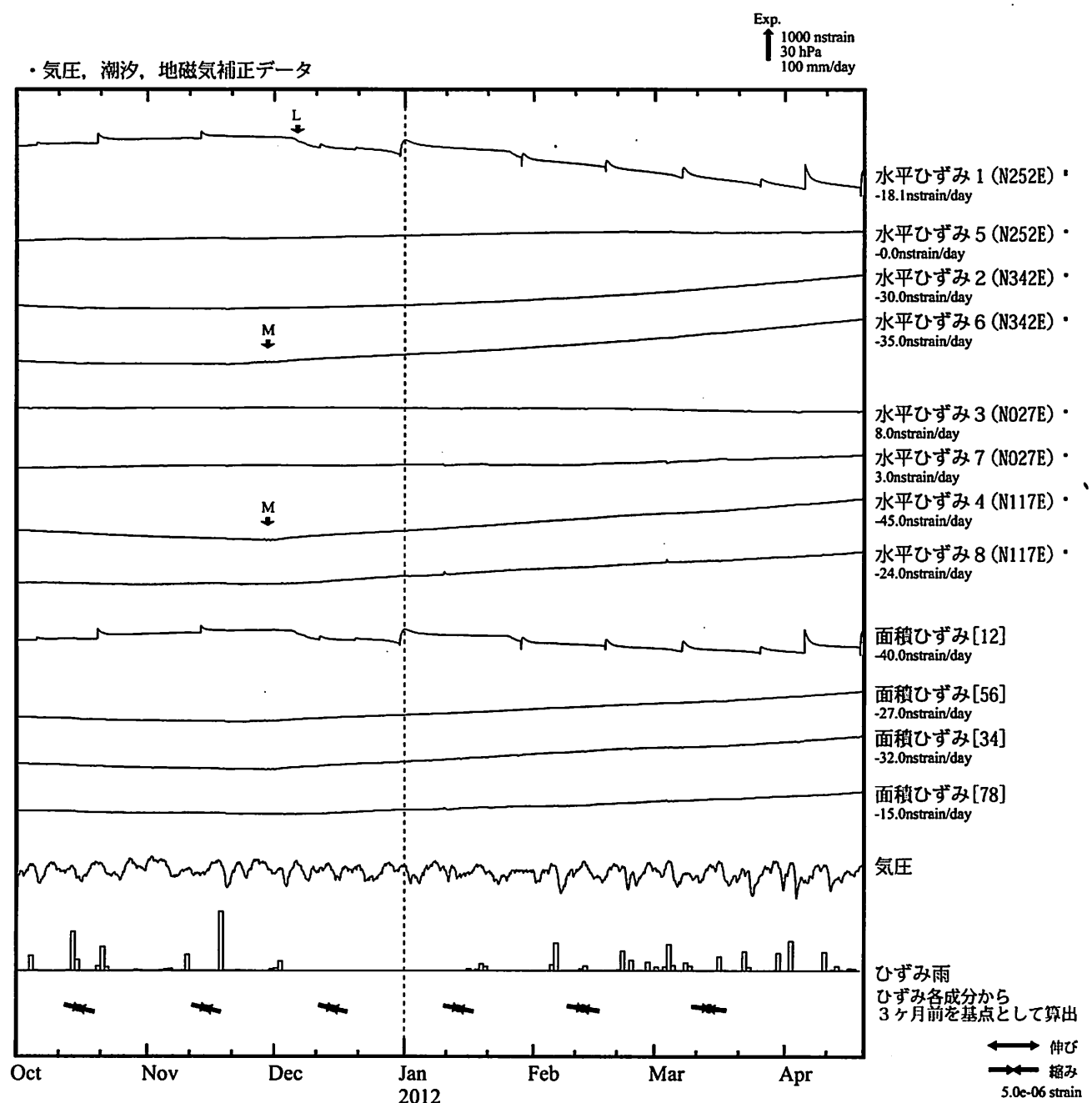
・最大剪断ひずみ、面積ひずみおよび主軸方向はひずみ1、2、3の各方向成分から2002年7月1日を基点として算出



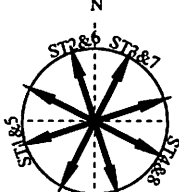
*各成分の括弧付き数字はスケールの番号に対応

*最大剪断ひずみ、面積ひずみおよび主軸方向は、東海道沖（紀伊半島南東沖）の地震、駿河湾の地震および東北地方太平洋沖地震に伴うコサイスマックなステップを除去して計算している。 1.0×10^{-6} strain

静岡落合（しづおかおちあい）ひずみ変化 時間値



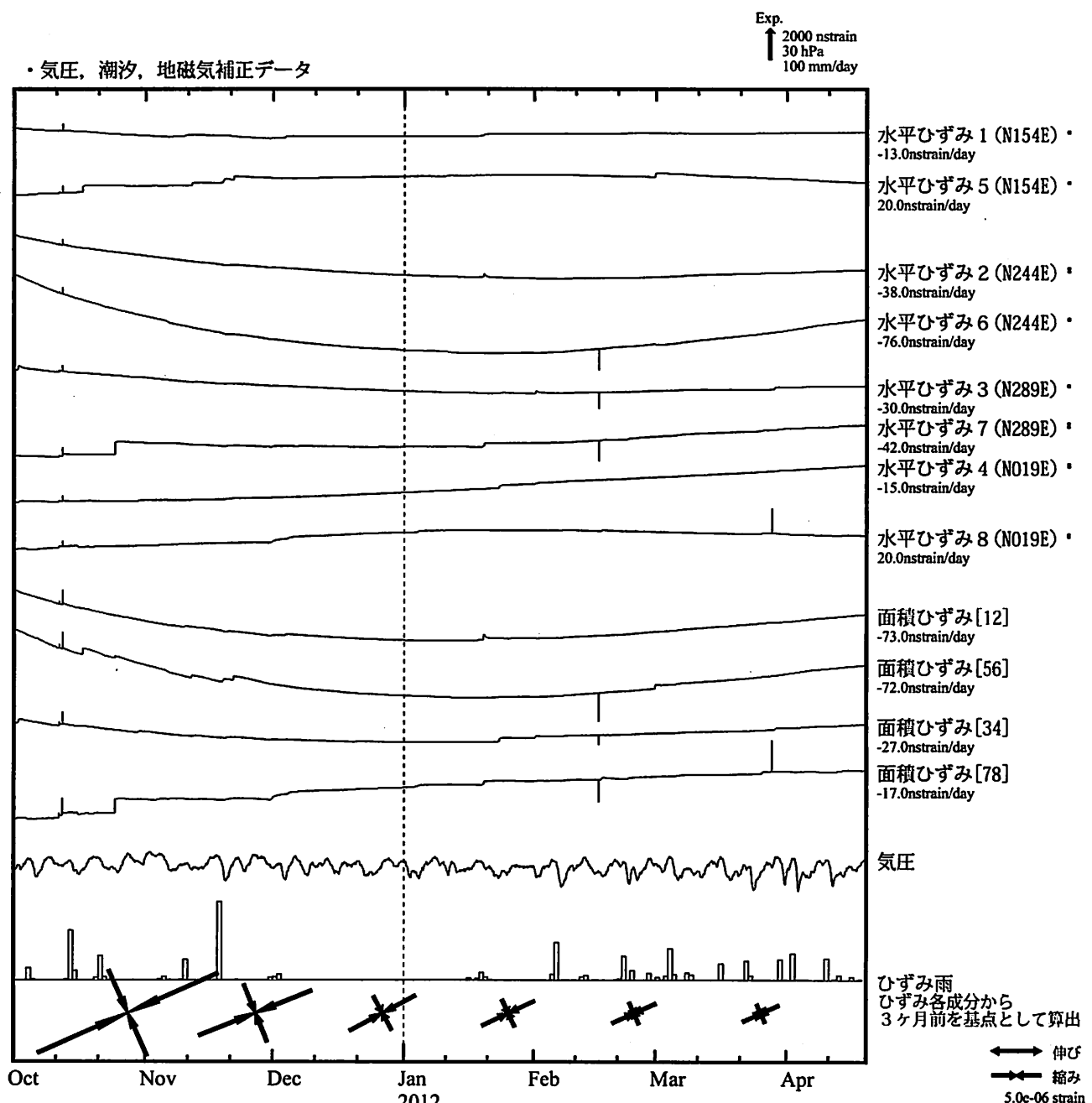
※観測点名の右側のスケールは、平常時に1日間で変動し得る最大の変化の幅(ノイズレベル)を示す。



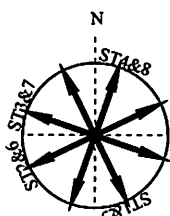
・特記事項なし。

- | | |
|---|-------------------------|
| C | : 地震に伴うコサイスマイクなステップ状の変化 |
| L | : 局所的な変化 |
| S | : 例年見られる変化 |
| M | : 調整 |
| T | : 障害 |

藤枝蔵田（ふじえだくらた）ひずみ変化 時間値



※観測点名の右側のスケールは、平常時に1日間で変動し得る最大の変化の幅(ノイズレベル)を示す。

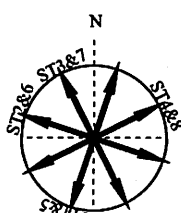
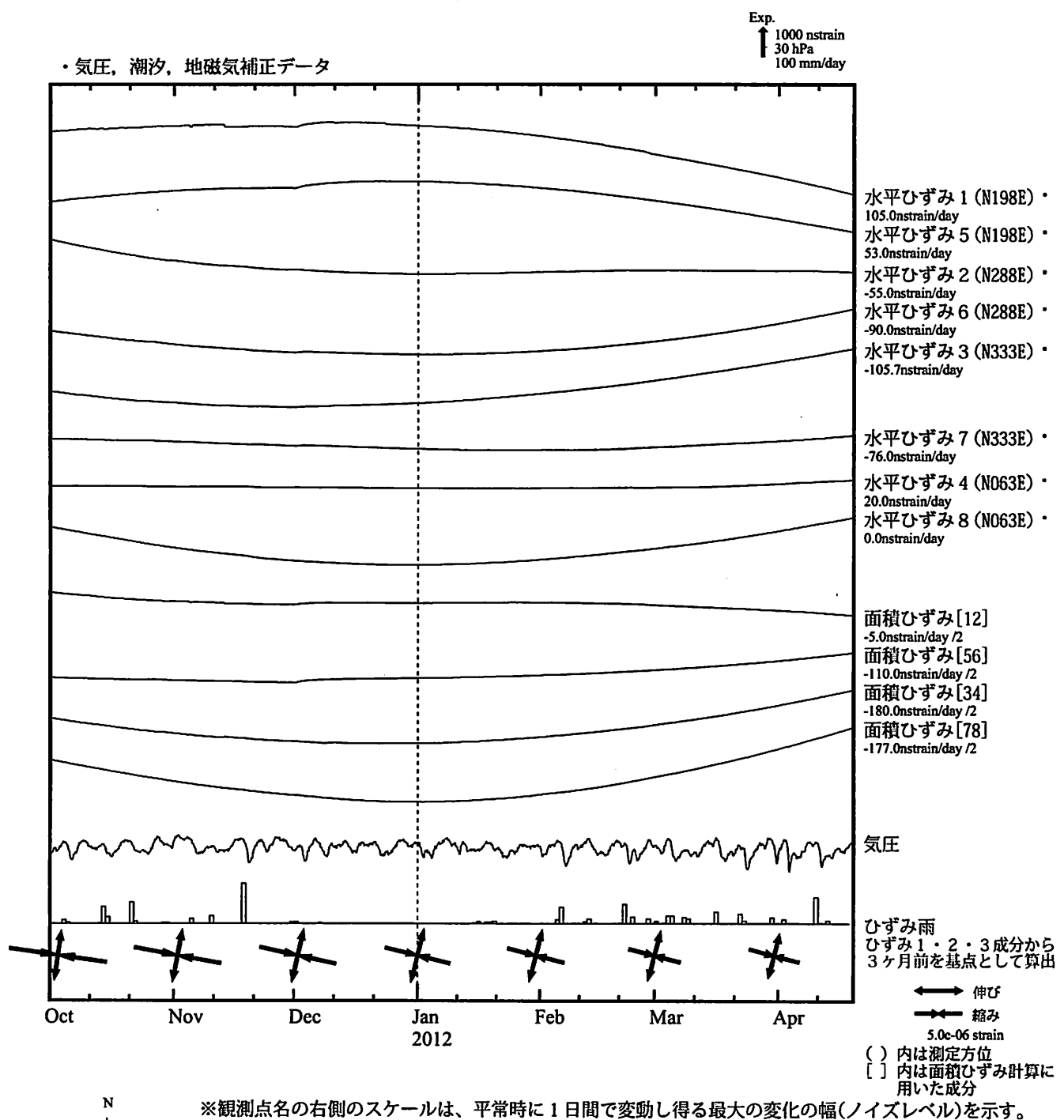


・特記事項なし。

- C : 地震に伴うコサイスマイクなステップ状の変化
- L : 局所的な変化
- S : 例年見られる変化
- M : 調整
- T : 障害

気象庁作成

掛川高天神（かけがわたかてんじん）ひずみ変化 時間値

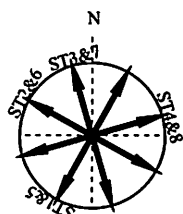
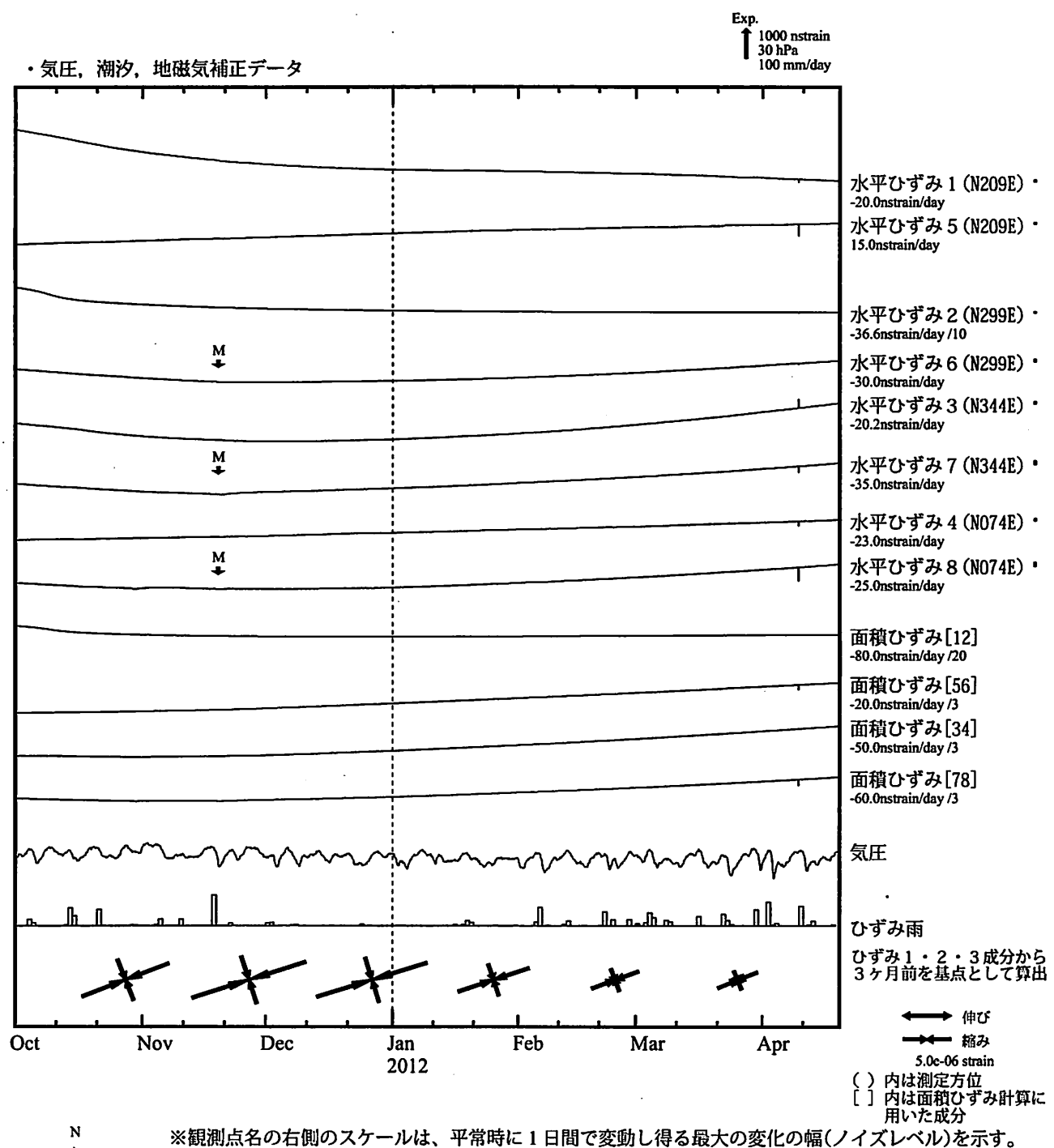


• 特記事項なし。

- | | |
|---|-------------------------|
| C | : 地震に伴うコサイスマイクなステップ状の変化 |
| L | : 局所的な変化 |
| S | : 例年見られる変化 |
| M | : 調整 |
| T | : 障害 |

気象庁作成

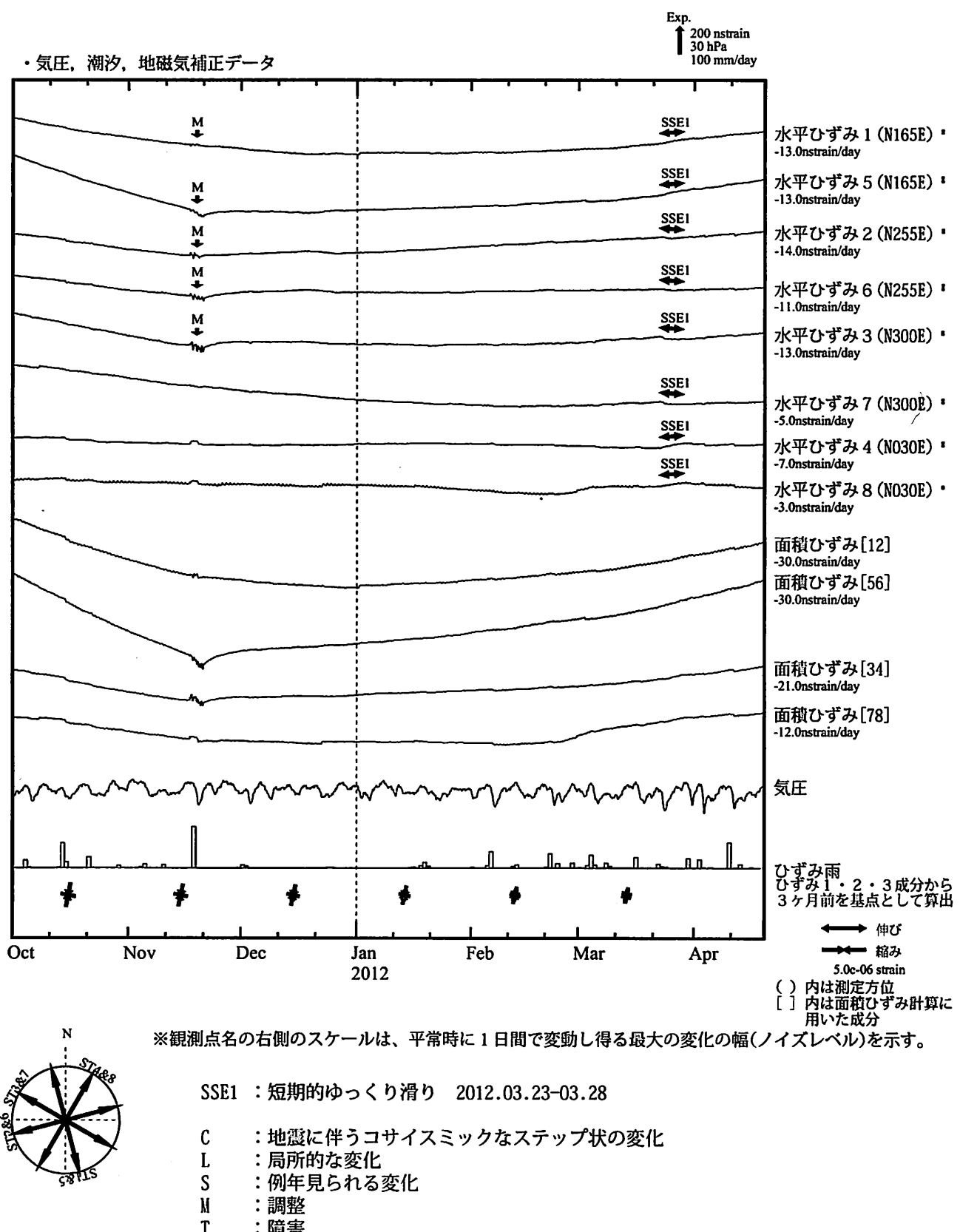
壳木岩倉（うるぎいわくら）ひずみ変化 時間値



• 特記事項なし。

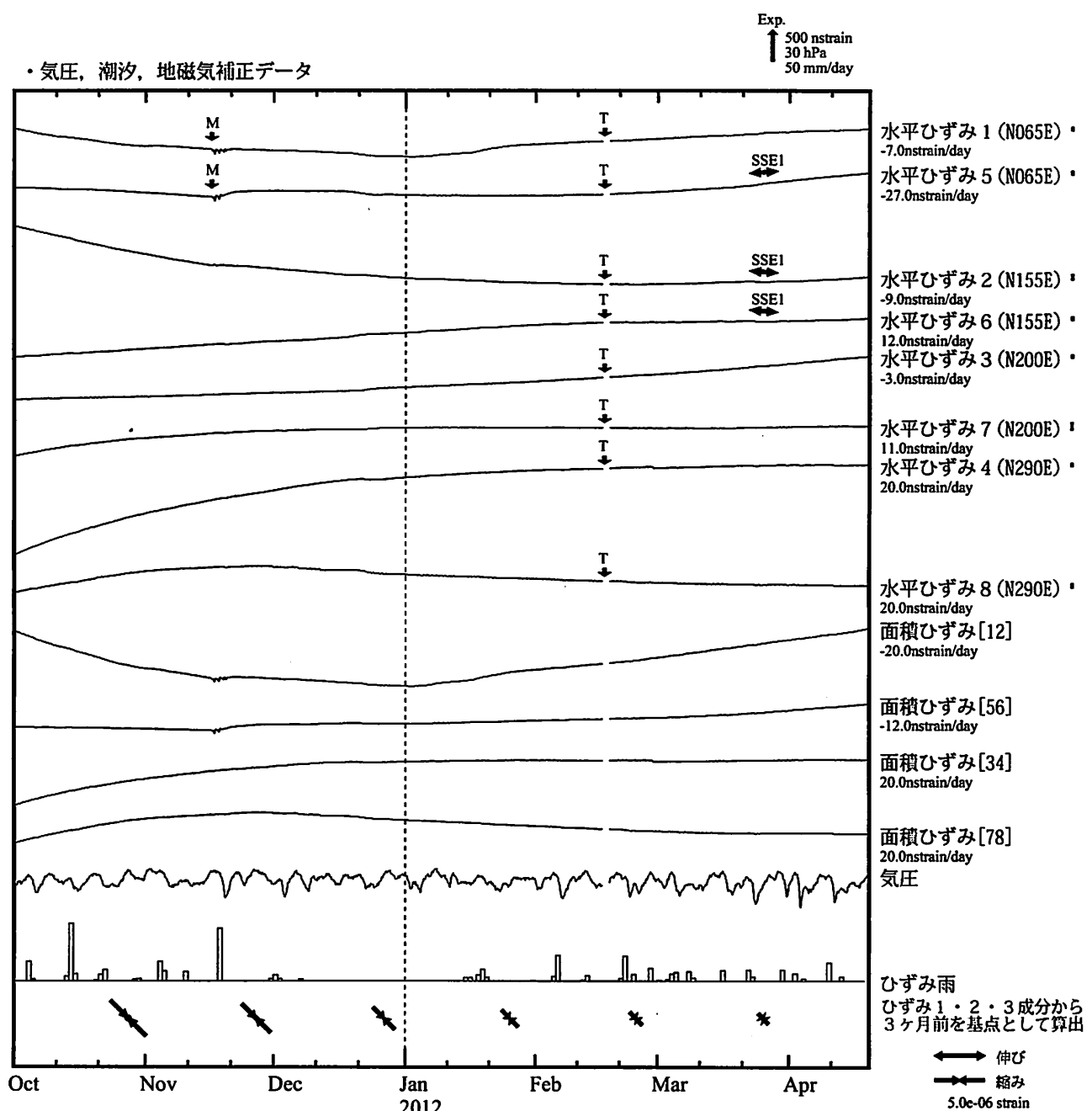
- | | |
|---|-------------------------|
| C | : 地震に伴うコサイスマイクなステップ状の変化 |
| L | : 局所的な変化 |
| S | : 例年見られる変化 |
| M | : 調整 |
| T | : 障害 |

新城浅谷（しんしろあさや）ひずみ変化 時間値

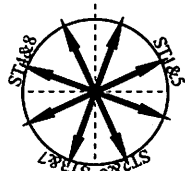


気象庁作成

田原高松（たはらたかまつ）ひずみ変化 時間値



*観測点名の右側のスケールは、平常時に1日間で変動し得る最大の変化の幅(ノイズレベル)を示す。



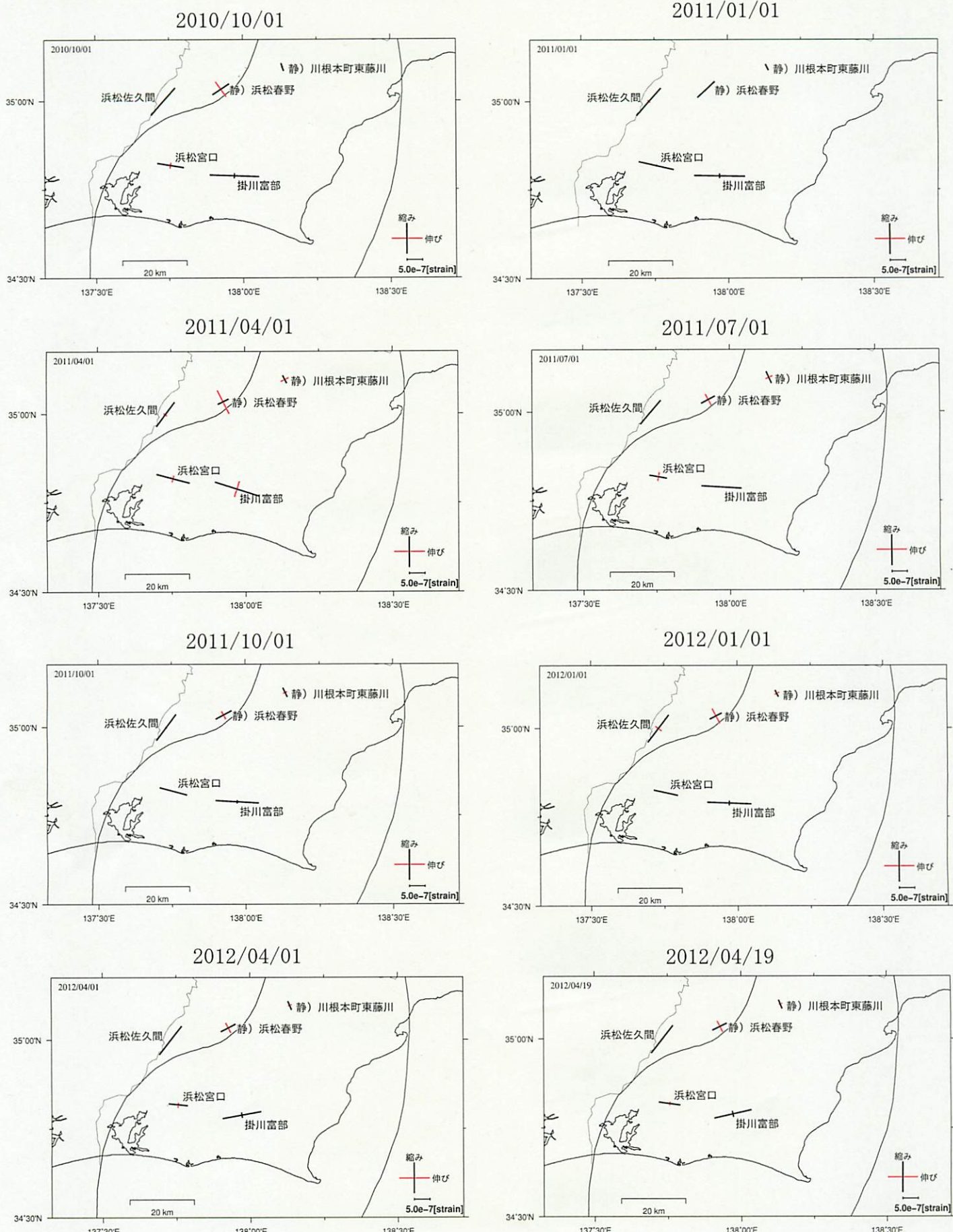
SSE1 : 短期的ゆっくり滑り 2012.03.23-03.28

- C : 地震に伴うコサイスミックなステップ状の変化
- L : 局所的な変化
- S : 例年見られる変化
- M : 調整
- T : 障害

多成分ひずみ計データ

ひずみ1・2・3成分(浜松春野は、2・3・4成分)から90日前を基準として算出

2010.10.01～2012.04.19

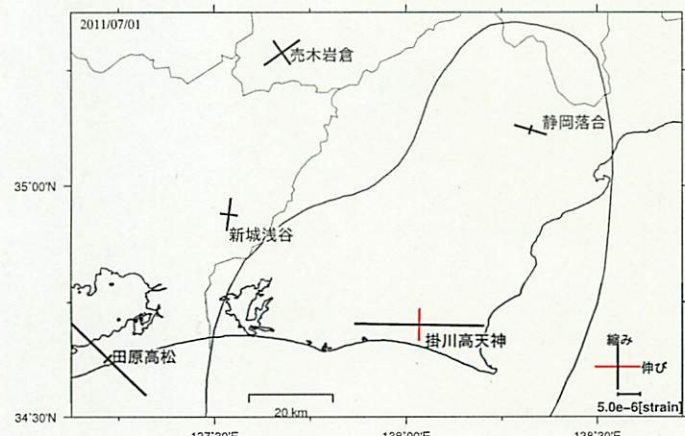


多成分ひずみ計データ 新設点

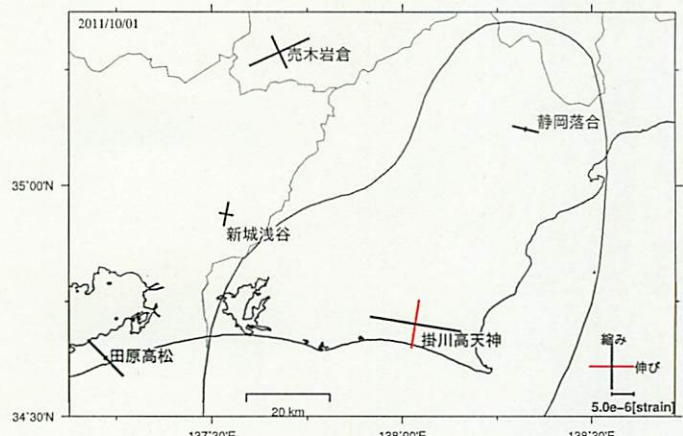
ひずみ1・2・3成分から90日前を基準として算出

2011.07.01～2012.04.19

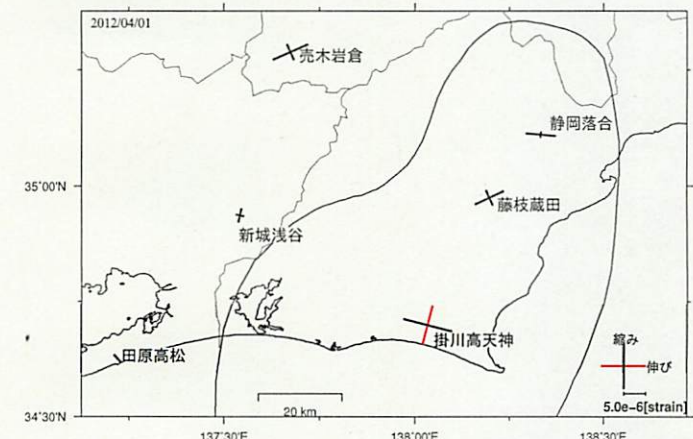
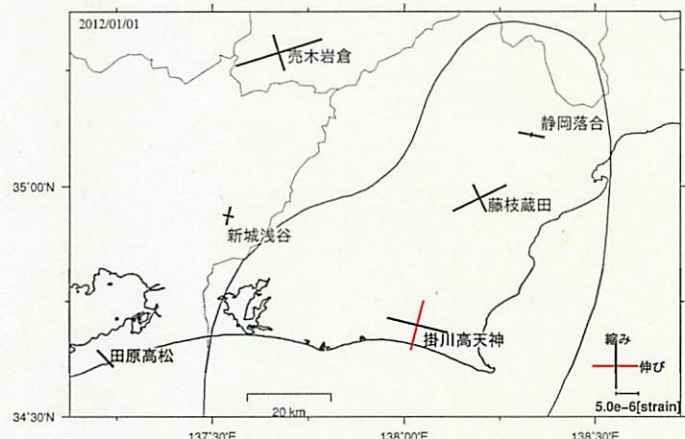
2011/07/01



2011/10/01



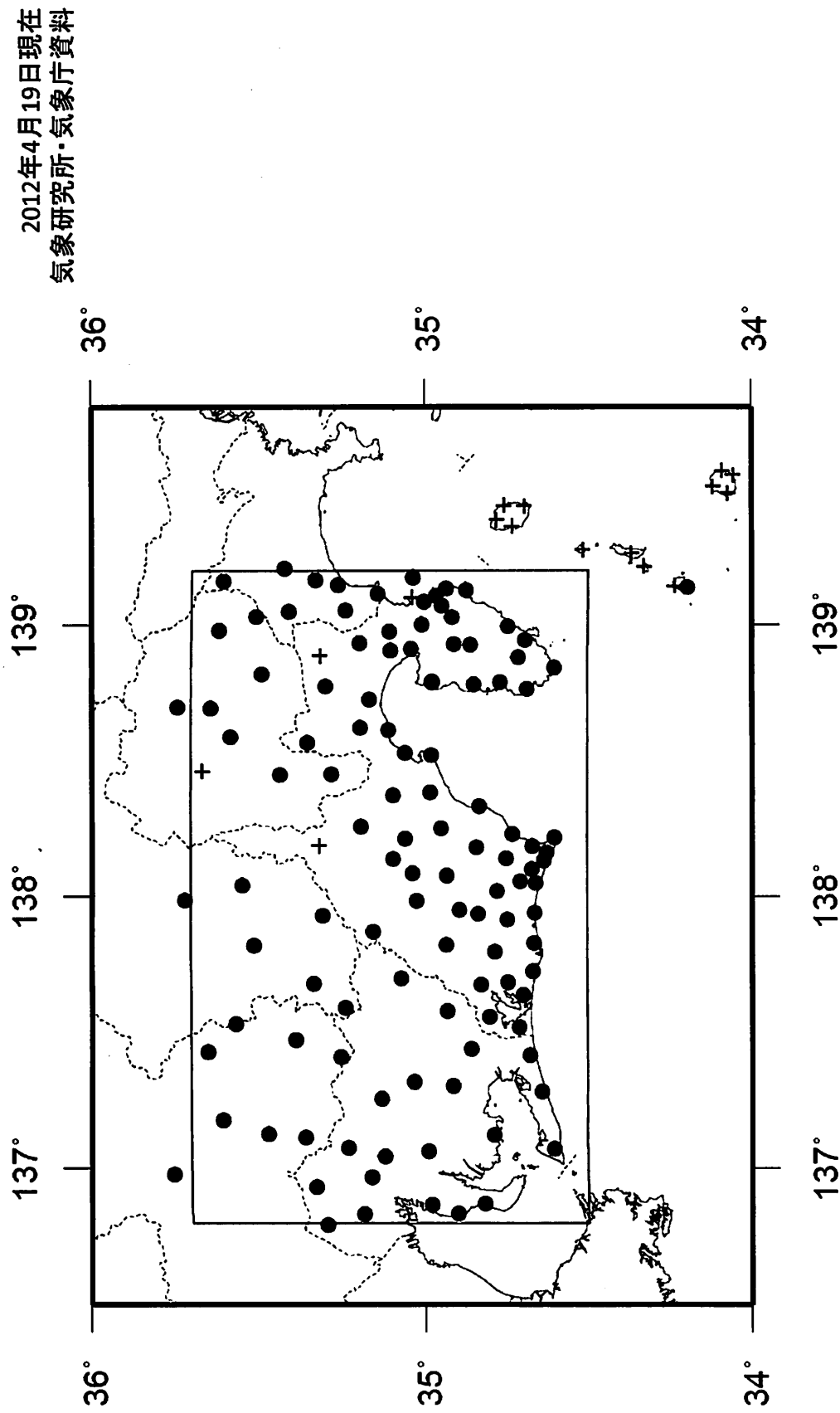
2012/01/01



2012/04/19



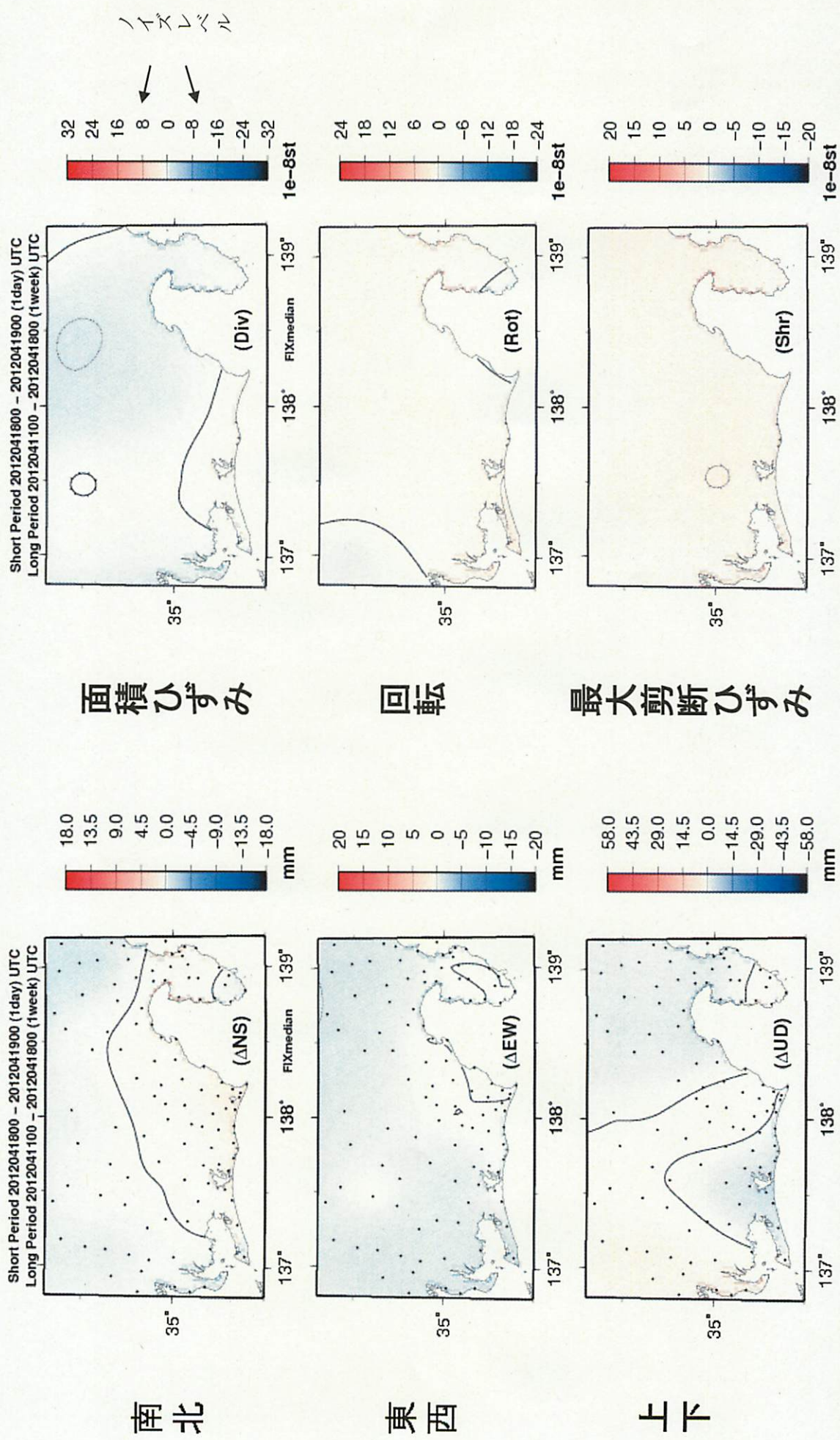
GNSS時間値による面的監視



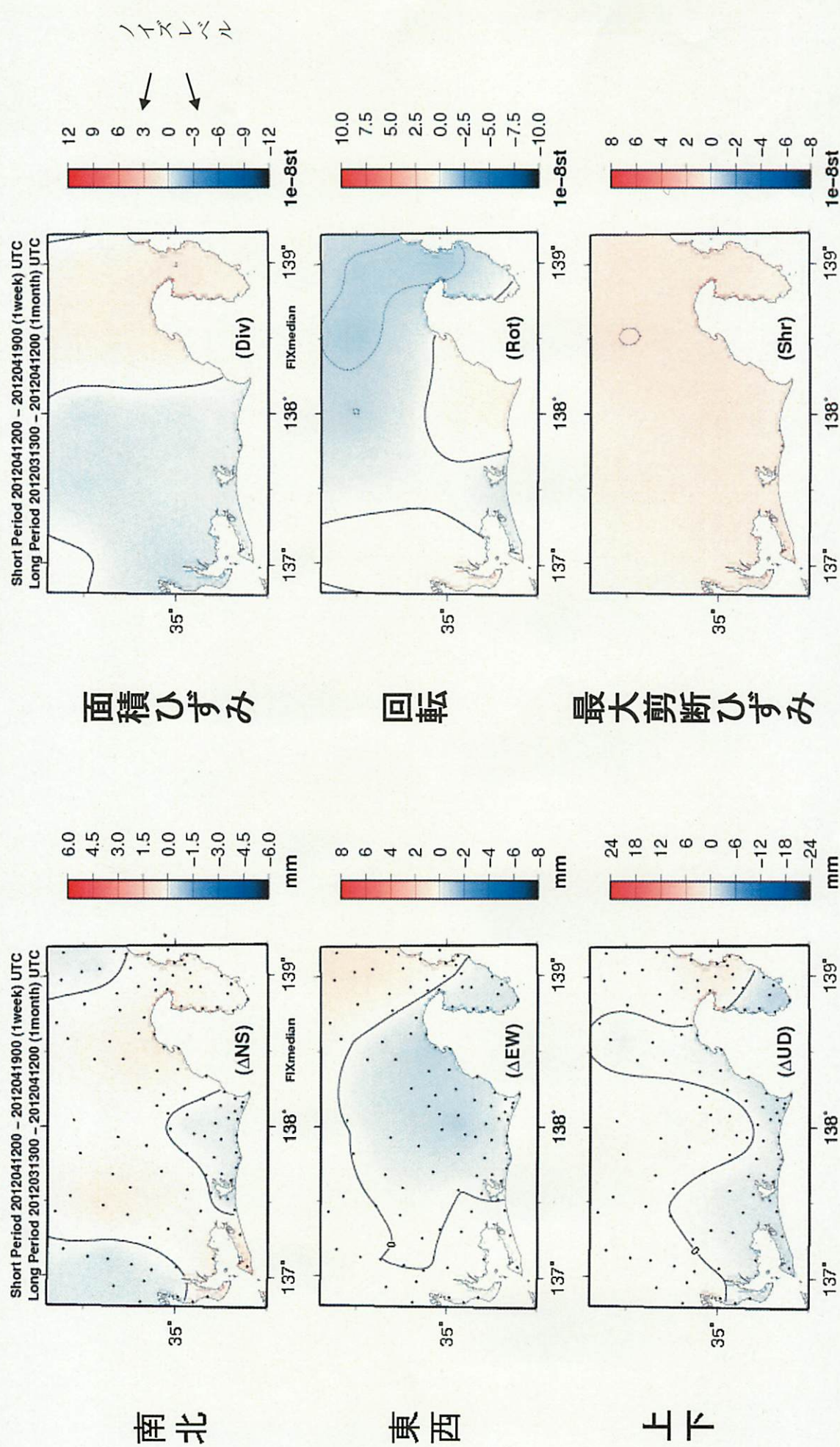
対象範囲(内側の矩形内)と使用観測点(●印)。+印の観測点はデータ不安定などにより今回の解析に使用していない。
東海地域におけるGNSS時間値(国土地理院)を用いて、最近1日間、1週間と過去とを比較した。夏季に解析値のばらつきが見られるほかは特に目立った変位は見られない。

*GNSS (Global Navigation Satellite Systems)とは、GPSをはじめとする衛星測位システム全般をしめす呼称。

最近1日間とその前1週間との比較



最近1週間とその前1ヶ月間との比較

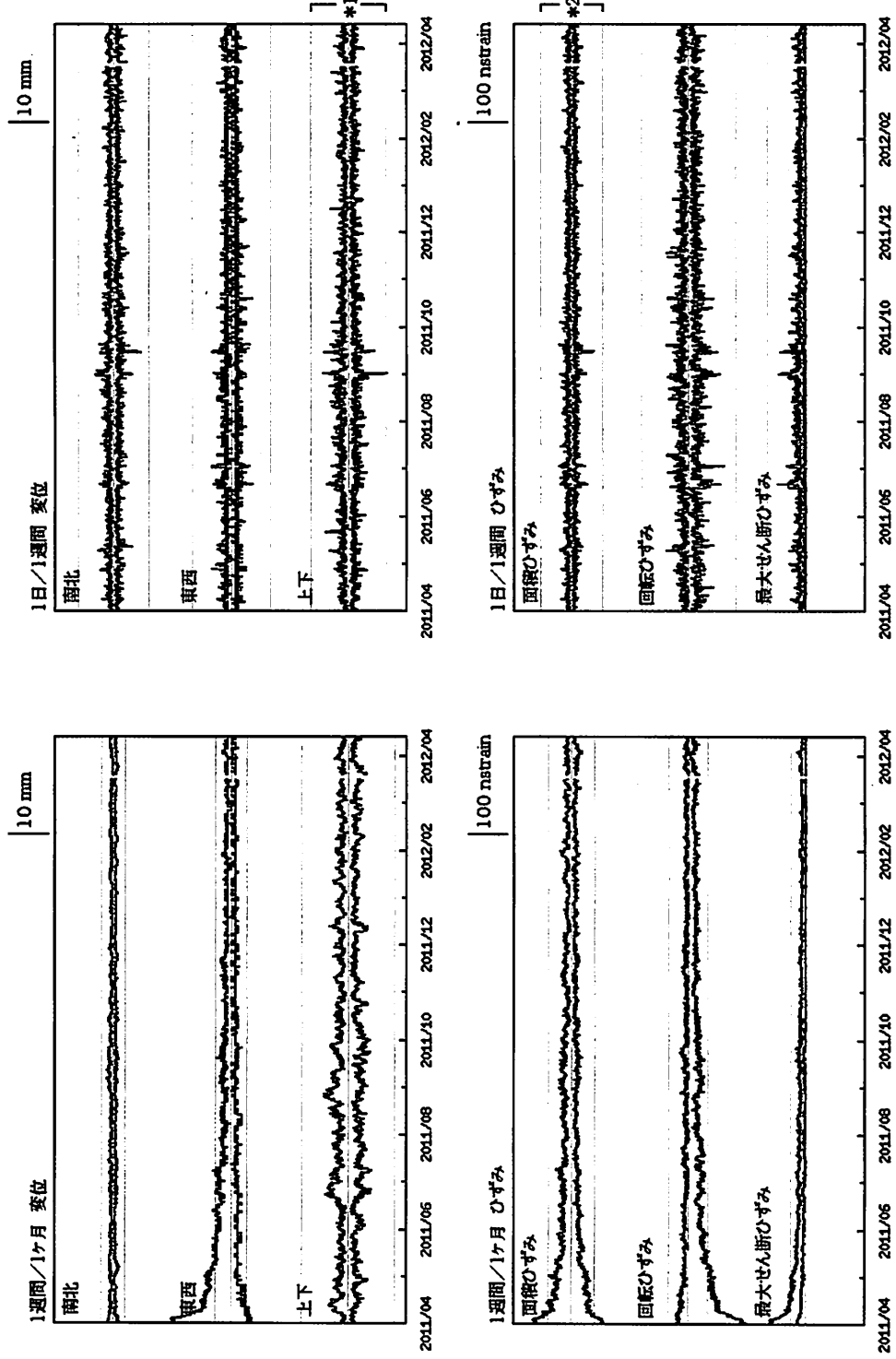


対象期間：2012/04/12 00:00 – 2012/04/19 00:00(1week)

基準期間：2012/03/13 00:00 – 2012/04/12 00:00(1month)

最近1年間(2011年4月1日00:00～2012年4月19日00:00)の 面的監視による対象範囲内の最大値の経過

(前ページまでのカラーマッピングはこれらのグラフの右端の状況。)



夏季に解析値のばらつきが見られる他、平成23年(2011年)東北地方太平洋沖地震の影響が見られる。
点線はノイズレベルであり、異常検知のしきい値。しきい値は、2006年1月～2007年12月の2年間分のデータを元に、1年に1回出
現する最大値・最小値を把握できる値を求め設定。

* 1)の上下成分の1日-1週間は振幅を1/3倍、* 2)の発散ひずみ成分の1日-1週間は振幅を1/2倍にしてある。

平成 24 年 4 月 23 日

判 定 会

気象研究所・気象庁資料

GNSS 日値による面的監視（南海トラフ沿い；余効除去）

南海トラフ沿いの地域について紀伊水道を境に東西二つに分け、GNSS 日値 F3 解（国土地理院）を用いて、①最近 1 ヶ月間とその前の 3 ヶ月間の座標変化（各期間の中央値の差から 2 ヶ月間の変位）、②最近 1 ヶ月間と 1 年前の 1 ヶ月間との座標変化（1 年間の変位）、およびそれぞれ水平成分から計算したひずみを面的監視手法で見た。GNSS 座標値は観測点ごとに定常変位と見なされる期間の直線トレンドを除去しており、年周変化は補正していない。また、主な地震に伴うオフセットと、2011 年 3 月 11 日の東北地方太平洋沖地震に伴う余効変動を差し引いている。

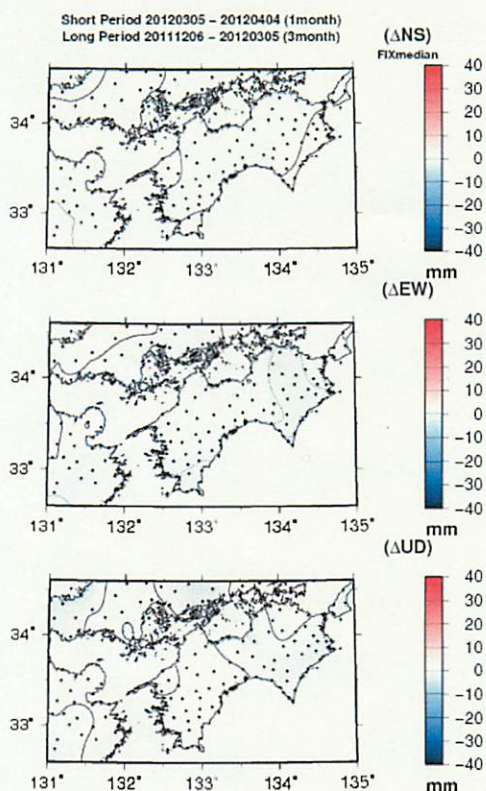
今期間の解析結果には、特に目立った変位は見られない。

※GNSS (Global Navigation Satellite Systems) とは、GPS をはじめとする衛星測位システム全般をしめす呼称。

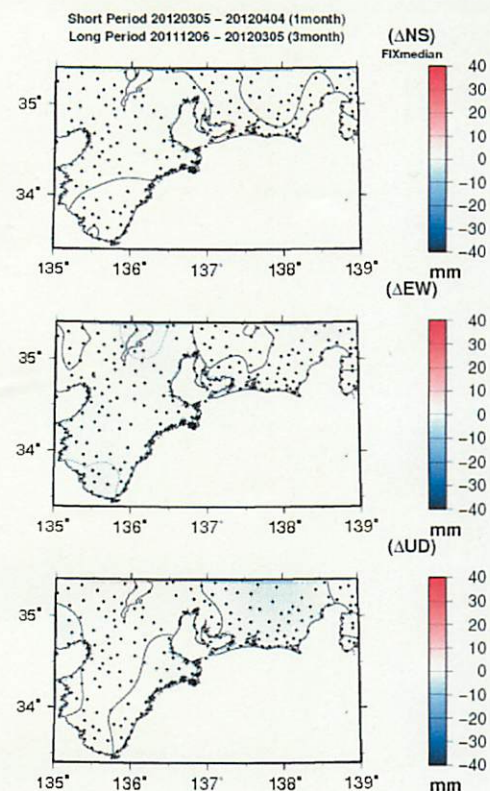
気象庁・気象研究所作成

① 最近 2 ヶ月間の変位とひずみ

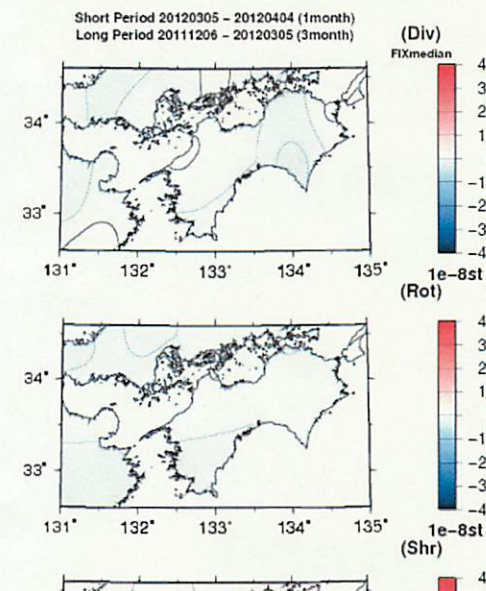
南北



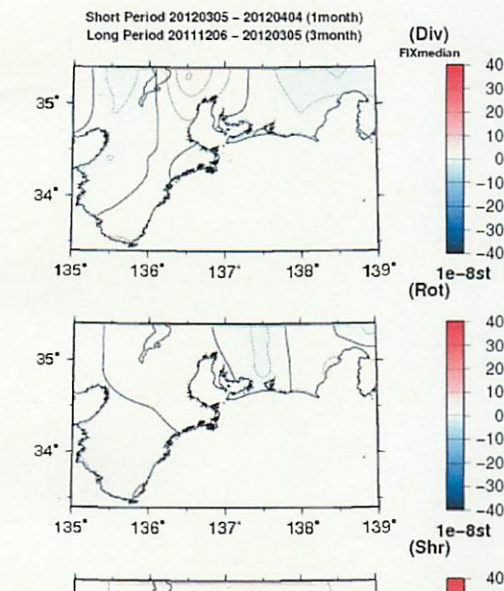
東西



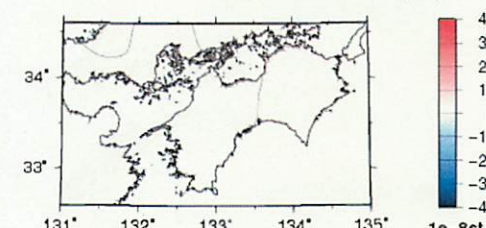
上下



回転



最大せん断



対象期間：2012/03/02-2012/04/01 (1month)

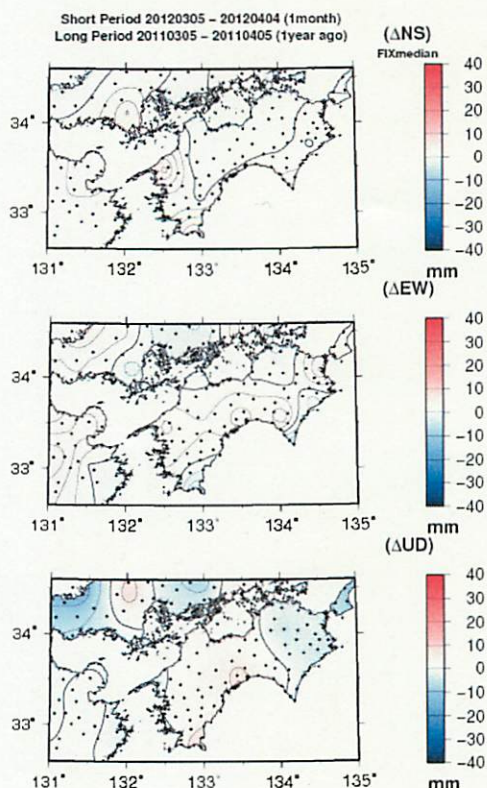
特に目立った変化は見られない。

基準期間：2011/12/03-2012/03/02 (3month)

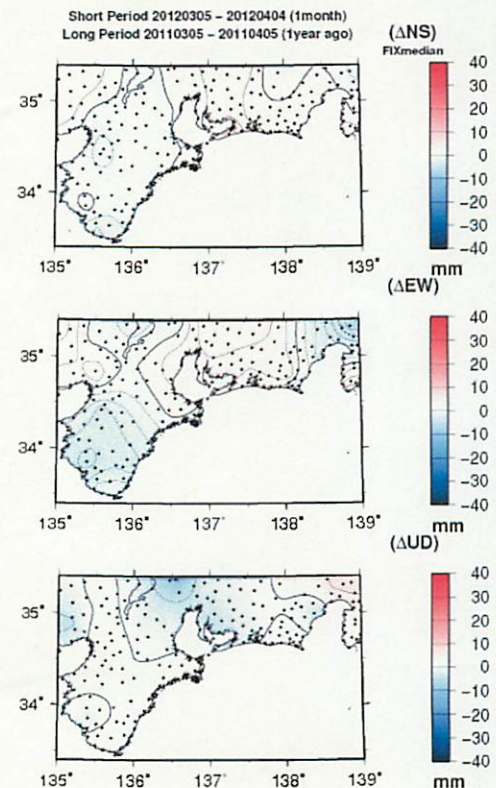
気象庁・気象研究所作成

②最近1年間の変位とひずみ

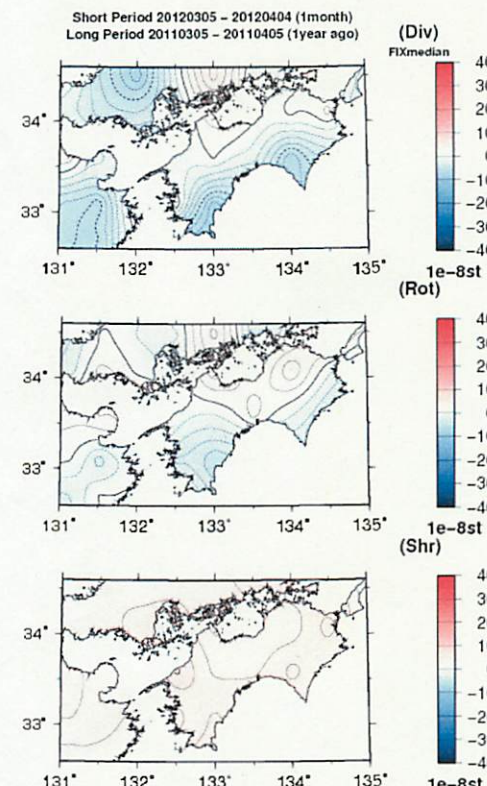
南北



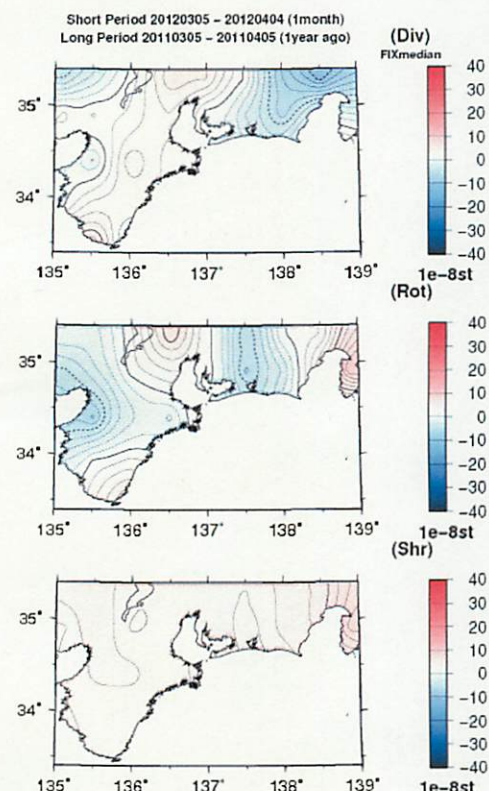
東西



上下



回転



最大せん断

対象期間：2012/03/02–2012/04/01 (1month)
特に目立った変化はみられない。

基準期間：2011/03/02–2011/04/02 (1month)